

ГЛАВНОЕ УПРАВЛЕНИЕ ГИДРОМЕТЕОРОЛОГИЧЕСКОЙ СЛУЖБЫ
ПРИ СОВЕТЕ МИНИСТРОВ СССР

УПРАВЛЕНИЕ ГИДРОМЕТЕОРОЛОГИЧЕСКОЙ СЛУЖБЫ КИРГИЗСКОЙ ССР

РЕСУРСЫ ПОВЕРХНОСТНЫХ ВОД СССР

КАТАЛОГ ЛЕДНИКОВ СССР

ТОМ 14

СРЕДНЯЯ АЗИЯ

ВЫПУСК 2

КИРГИЗИЯ

ЧАСТЬ 1

БАССЕЙНЫ РЕК АССА, ТАЛАС



ГИДРОМЕТЕОИЗДАТ
ЛЕНИНГРАД • 1968

ГЛАВНОЕ УПРАВЛЕНИЕ ГИДРОМЕТЕОРОЛОГИЧЕСКОЙ СЛУЖБЫ
ПРИ СОВЕТЕ МИНИСТРОВ СССР

УПРАВЛЕНИЕ ГИДРОМЕТЕОРОЛОГИЧЕСКОЙ СЛУЖБЫ КИРГИЗСКОЙ ССР

РЕСУРСЫ ПОВЕРХНОСТНЫХ ВОД СССР

КАТАЛОГ ЛЕДНИКОВ СССР

ТОМ 14

СРЕДНЯЯ АЗИЯ

ВЫПУСК 2

КИРГИЗИЯ

ЧАСТЬ I

БАССЕЙНЫ РЕК АССА, ТАЛАС

Н. В. МАКСИМОВ, В. П. ФАТЕЕВ, В. А. ЧЕБАН, Н. Я. ИНЮТИН



ГИДРОМЕТЕОРОЛОГИЧЕСКОЕ ИЗДАТЕЛЬСТВО

ЛЕНИНГРАД • 1968

Каталог ледников бассейнов рек Асса и Талас просмотрен и отредактирован в отделе гляциологии Института географии АН СССР. Каталог рекомендован к печати секцией гляциологии Межведомственного геофизического комитета при Президиуме АН СССР.

Ответственный редактор

О. Н. ВИНОГРАДОВ

Редактор

П. Н. ОГАНОВСКИЙ

В Каталоге дается характеристика географического положения, морфологии и режима ледников, климатических условий их существования. Подчеркиваются те стороны жизнедеятельности ледников, которые влияют на режим рек, величину и распределение стока во времени, что в условиях недостаточно увлажненного района, каким является Киргизия, имеет важное народнохозяйственное значение. Приводятся сведения об экспедиционных и стационарных исследованиях, проведенных на ледниках.

Рассчитан на географов, гляциологов, гидрологов, метеорологов.

ПРЕДИСЛОВИЕ

В данную часть Каталога ледников СССР, помимо характеристики оледенения бассейна р. Талас, включены также сведения по оледенению бассейна р. Асса (ледники № 1—48). Несмотря на то что воды р. Асса не сливаются с водами р. Талас, однородность орографических и климатических особенностей, характер речного стока этих рек, а также небольшая площадь оледенения бассейна р. Асса (44 км^2) позволяют объединить их в одной части Каталога. Это объединение соответствует утвержденной схеме частей Каталога, в которой бассейн р. Асса отдельно не выделяется.

При нумерации ледников в пределах каждого бассейна оледенения авторы придерживались принципа постепенного перехода от одного притока основной реки к следующему, двигаясь сначала вверх по долине по левому берегу основной реки до ее истока, а затем вниз по долине по правому берегу. Оцифровка ледников в бассейнах рек Асса и Талас осуществлялась с запада на восток против часовой стрелки (рис. 13—21).

Порядок нумерации ледников, принятый на схеме расположения ледников, полностью сохраняется как в текстовой части Каталога, так и во всех таблицах.

В Каталоге содержатся сведения о линейных размерах и площади каждого ледника в отдельности, его положении на местности по отношению к бассейнам рек, морфологическом типе, экспозиции, абсолютной высоте низшей и высшей точек ледника и низшей точке его открытой части. В зависимости от наличия данных приводятся также сведения о положении фирновой линии, площадях питания и ablации, площади с моренным покровом и другие (табл. I).

Помимо морфометрических данных, в Каталог включены краткая физико-географическая характеристика районов оледенения бассейнов рек Асса и Талас, некоторые сведения о типах и морфологии ледников, закономерностях их размещения по территории, изменениях размеров и эволюции отдельных ледников.

В разделе «Дополнительные материалы» приводятся данные о средних климатических условиях существования ледников и их изменениях по зонам и во времени, накоплении и перераспределении осадков, о высотах залегания ледников на склонах различной экспозиции, а также характеристики стока рек с ледниками.

Снегомерные маршруты в восточной и юго-

восточной частях бассейна р. Талас и гидрологические посты на большинстве его крупных притоков позволили более детально изучить закономерности формирования, изменения и таяния снежного покрова, а также формирование и режим стока высокогорной части бассейна.

Краткая физико-географическая характеристика составлена на основании литературных источников и материалов экспедиционных исследований СРЕДАЗМЕТА и УГМС КиргССР.

Основой для картометрических измерений и составления большей части Каталога послужили крупномасштабные топографические карты и аэрофотоснимки. Дешифрирование ледников выполнено по аэрофотоснимкам 1957—1961 гг.

Измерение площадей ледников производилось планиметром с соблюдением необходимых правил. Площади ледников в табл. I указаны с точностью до $0,1 \text{ км}^2$, длина — до $0,1 \text{ км}$.

Ледники № 1—5 (р. Аксай), 6—10 (р. Коксай) и 206—209 (р. Каракол) для целей каталогизации были обследованы в 1966 г. (с применением вертолета) снегомерно-гидрографической партией УГМС КиргССР.

В задачи полевых работ при этом обследовании входило выявление всех имеющихся ледников, уточнение их местоположения и конфигурации по крупномасштабным картам, фотографирование и полуинструментальная съемка отдельных характерных ледников. Кроме того, при составлении данного Каталога были использованы полевые материалы наземных экспедиционных обследований в августе—сентябре 1962 г. всего бассейна р. Талас и части бассейна р. Асса, которые были организованы снегомерно-гидрографической партией УГМС КиргССР с целью выявления запасов водных ресурсов бассейнов рек Талас и Асса. Из литературных источников паряду с другими были использованы «Отчет о поездке на ледники рек Пскем, Талас и Сусамыр в 1929 г.» Н. Л. Корженевского и «Каталог ледников Средней Азии» Н. Л. Корженевского.

Контуры ледников и отдешифрованные гляциологические нагрузки переносились с аэрофотоснимков на схемы графическо-глазомерным способом с соблюдением соответствующих требований фотограмметрии. Масштабы определялись по четырем и более общим точкам, опознанным на крупномасштабной карте и аэрофотоснимке для каждого ледника в отдельности. С целью повышения точности и контроля

масштабы определялись не менее двух раз по разным направлениям и за окончательный результат принималось среднее их значение.

Расчетная формула для определения масштаба

$$\frac{1}{m_c} = \frac{l_c}{l_k m_k},$$

где l_c — длина линии на снимке, l_k — длина линии на карте, m_k — знаменатель численного масштаба карты.

Линии, по которым определялся масштаб, по возможности выбирались под прямым углом в средней части снимка. Определяемые конечные точки линий выражены на карте и снимках резко и располагаются на средних высотах данной местности. Погрешность при измерении линейных и площадных размеров ледников не превышала 10%.

Определение длин ледников производилось при помощи циркуля и поперечного масштаба.

Абсолютные высоты характерных точек и высота фирновой линии на ледниках определялись по крупномасштабным картам с точностью до 10 м. Дополнительным материалом при всех измерениях служили отдешифрованные аэрофотоснимки.

В разделе «Основные таблицы» приводятся сведения о ближайших гидрометеорологических станциях и постах (табл. II), суммарных осадков и снегомерных пунктах в районе ледников (табл. III), экспедиционных и стационарных исследованиях ледников (табл. IV), дается библиографический список работ, содержащих сведения о ледниках (табл. V). Отклонений от принятых форм «Основных таблиц» в настоящем Каталоге не имеется.

В разделе «Дополнительные материалы» с целью более детального освещения морфологических и морфометрических характеристик ледников, климатических особенностей и ледникового стока в районах оледенения приводятся соответствующие таблицы (№ 5—13) и схематические планы характерных ледников (рис. 23—33).

Для характеристики климатических условий и режима стока в Каталог включены таблицы распределения осадков в высокогорной зоне по периодам года, средней месячной температуры и

сумм положительных температур воздуха по зонам выше 3000 м, характеристики стока притоков рек Талас и Асса и процентного соотношения стока отдельных притоков по источникам питания.

Средняя суточная температура воздуха летнего периода в зонах выше 3200 м вычислялась методом температурных градиентов по данным гидрометстанций Ак-Таш и Ала-Бель, приведенным к 80-летнему периоду наблюдений. Для этого предварительно строилась зависимость

$$t^o = f(H, \bar{T}),$$

где t^o — средняя месячная температура воздуха на высоте 1220—1420 м, H — абсолютная высота, \bar{T} — средняя месячная многолетняя температура воздуха на гидрометстанциях Талас, Ак-Таш и Ала-Бель.

Таблицы характеристик стока рек Талас и Асса заимствованы из работ В. Л. Шульца и А. Т. Ильясова. Процентное соотношение стока характерных по источникам питания притоков вычислено авторами — составителями Каталога методом расчленения типовых гидрографов.

Физико-географическая характеристика гляциальной зоны бассейнов рек Талас и Асса составлена на основе использования литературных источников и специальных обследований ледников. В характеристике приведены сведения об орографии и гидрографии бассейна, о некоторых морфологических и морфометрических характеристиках ледников — соотношении ледников различных типов, распределении их по склонам различных экспозиций и высоте залегания. Приводятся некоторые данные о древнем оледенении бассейна.

Из-за отсутствия стационарных гляциологических наблюдений характеристика режима ледников не приводится.

Настоящий «Каталог ледников СССР» составлен сотрудниками снегомерно-гидрографической партии УГМС КиргССР Н. В. Максимовым, В. П. Фатеевым, В. А. Чебан, Н. Я. Иютиным.

В полевых работах по обследованию ледников и камеральной обработке материалов приняли активное участие Н. В. Максимов, Н. Я. Иютин, В. А. Чебан, В. Д. Панов, Е. Ф. Вернер, В. И. Сысенко, Н. В. Киселев и др.

ДЕЛЕНИЕ КАТАЛОГА ЛЕДНИКОВ СССР НА ТОМА, ВЫПУСКИ И ЧАСТИ

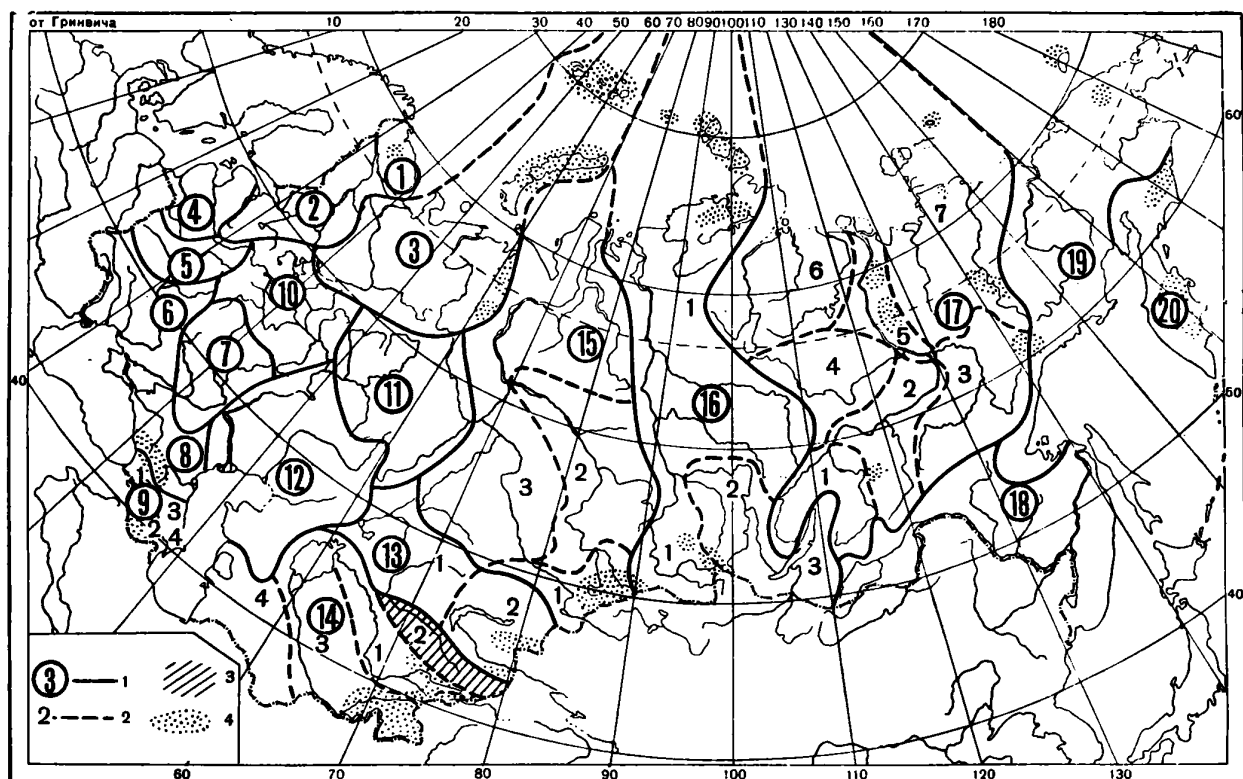


Рис. 1. Схема деления территории СССР на тома и выпуски Каталога ледников.

1 — номера томов и границы отнесенных к ним территорий; 2 — номера выпусков и границы отнесенных к ним территорий; 3 — территория, отнесенная к тому 14, выпуск 2 — «Киргизия» (выделена штриховкой); 4 — районы современного оледенения.

Подразделение Каталога ледников СССР на тома и выпуски полностью соответствует подразделению на тома и выпуски справочного издания «Ресурсы поверхностных вод СССР» (рис. 1), которое состоит из 20 томов, характеризующих всю территорию Советского Союза. В основу разделения справочника на тома положен принцип принадлежности территории к крупным речным бассейнам.

Поскольку области современного оледенения находятся не в каждом из 20 районов — томов издания «Ресурсы поверхностных вод СССР»,

Каталог ледников СССР составляется лишь на районы, охватываемые томами 1, 3, 8, 9, 13—17, 19, 20 этого издания.

В связи с неравномерностью распределения оледенения по территории СССР в пределах выделенных томов и отдельных выпусков предусматривается издание нескольких частей «Каталога ледников СССР». Так, например, данный Каталог — том 14 («Средняя Азия»), выпуск 2 («Киргизия»), разделенный на 9 частей, включает в себя только часть 1 — «Бассейны рек Асса и Талас» (рис. 2).

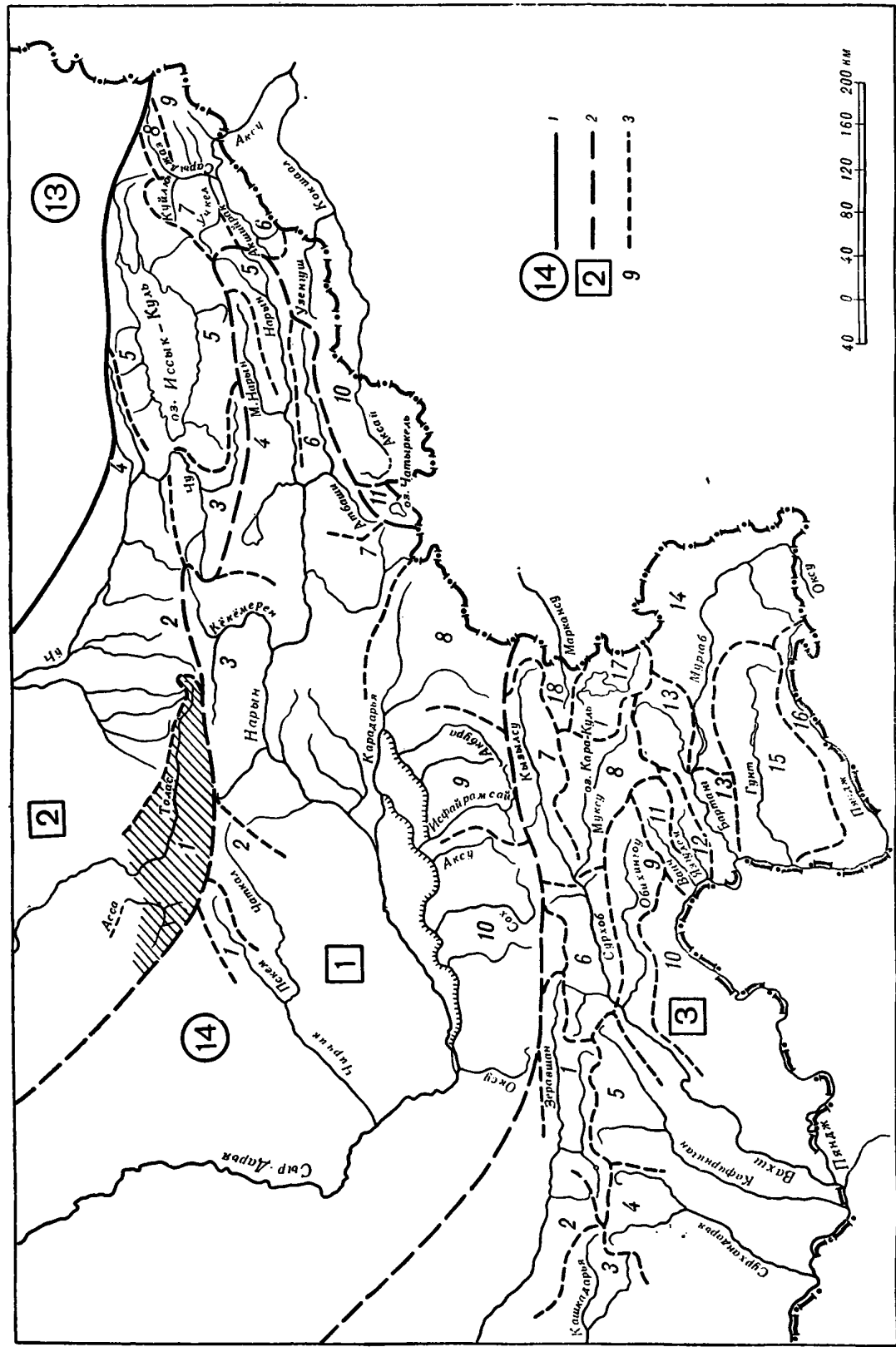


Рис. 2. Схема деления на выпуски и части тома 14 — «Средняя Азия» (Вып. 2 — «Киргизия») Каталога ледников СССР.
1 — номера томов и границы отнесенных к ним территорий; 2 — номера выпусков и границы отнесенных к ним территорий; 3 — номера частей и границы отнесенных к ним территорий (штрихованной выделена часть I вып. 2, тома 14).

СПИСОК ТОМОВ, ВЫПУСКОВ И ЧАСТЕЙ КАТАЛОГА ЛЕДНИКОВ СССР

Том 1. КОЛЬСКИЙ ПОЛУОСТРОВ

Часть 1. Хибинские горы (издано в 1966 г.)

Том 3. СЕВЕРНЫЙ КРАЙ

Часть 1. Земля Франца-Иосифа (издано в 1965 г.)

Часть 2. Новая Земля

Часть 3. Урал (издано в 1966 г.)

Том 8. СЕВЕРНЫЙ КАВКАЗ

Часть 1. Бассейны рек Белой, Лабы, Урула

Часть 2. Бассейны рек Большого
Зеленчука, Малого Зеленчука | издано в 1967 г.

Часть 3. Бассейн р. Теберды
Часть 4. Бассейн верховьев р. Кубани
Часть 5. Бассейны рек Малки, Баксана
Часть 6. Бассейн р. Чегем
Часть 7. Бассейн р. Черек
Часть 8. Бассейн р. Урух
Часть 9. Бассейн р. Ардон
Часть 10. Бассейны рек Фиагдон, Гизельдон
Часть 11. Бассейн верховьев р. Терека
Часть 12. Бассейны правых притоков р. Сунжа

Том 9. ЗАКАВКАЗЬЕ И ДАГЕСТАН

Выпуск 1. Западное Закавказье

Часть 1. Бассейн р. Мzymта
Часть 2. Бассейн р. Бзыбь
Часть 3. Бассейн р. Келасури
Часть 4. Бассейн р. Кодори
Часть 5. Бассейн р. Ингур
Часть 6. Бассейн р. Рioni
Часть 7. Бассейны левых притоков р. Куры

Выпуск 2. Армения

Часть 1. Бассейн р. Аракс

Выпуск 3. Дагестан

Часть 1. Бассейн р. Сулак
Часть 2. Бассейн р. Самур

Том 13. ЦЕНТРАЛЬНЫЙ И ЮЖНЫЙ КАЗАХСТАН

Выпуск 2. Бассейн оз. Балхаш

Часть 1. Бассейны левых притоков р. Или от устья р. Тургень до устья р. Курты (издано в 1967 г.)
Часть 2. Бассейн р. Чилик (издано в 1968 г.)
Часть 3. Бассейны рек Чарын, Текес
Часть 4. Бассейны рек Хоргос, Усек
Часть 5. Бассейн р. Карагатал
Часть 6. Бассейны рек Биен, Аксу, Лепса
Часть 7. Бассейны рек Тентек, Ргайты

Том 14. СРЕДНЯЯ АЗИЯ

Выпуск 1. Сыр-Дарья

Часть 1. Бассейн р. Пскем
Часть 2. Бассейн р. Чаткал
Часть 3. Бассейны правых притоков р. Нарын ниже устья р. Кёкемерен

Часть 4. Бассейны правых притоков р. Нарын от устья р. Кёкемерен до устья р. Малый Нарын

Часть 5. Бассейны правых и левых притоков верховьев р. Нарын

Часть 6. Бассейн р. Атбashi

Часть 7. Бассейны левых притоков р. Нарын от устья р. Атбashi до устья р. Карадарья

Часть 8. Бассейн р. Карадарья

Часть 9. Бассейны левых притоков р. Сыр-Дарья от устья р. Карадарья до устья р. Аксу

Часть 10. Бассейны левых притоков р. Сыр-Дарья от устья р. Аксу и ниже

Выпуск 2. Киргизия

Часть 1. Бассейны рек Асса, Талас

Часть 2. Бассейны левых притоков р. Чу ниже устья р. Ко-морчек

Часть 3. Бассейн верховьев р. Чу

Часть 4. Бассейны правых притоков р. Чу ниже Боамского ущелья

Часть 5. Реки бассейна оз. Иссык-Куль

Часть 6. Бассейн р. Акшийрак

Часть 7. Бассейны правых притоков р. Сарыджаз между устьями рек Акшийрак и Куйлю

Часть 8. Бассейн верховьев р. Сарыджаз от устья р. Куйлю и выше

Часть 9. Бассейны левых притоков р. Сарыджаз (реки Иныльчик, Каниды, Каюкан)

Часть 10. Бассейн р. Кокшаал

Часть 11. Реки бассейна оз. Чатыркель

Выпуск 3. Аму-Дарья

Часть 1. Бассейн верховьев р. Зеравшан от устья р. Фандарья

Часть 2. Бассейн р. Зеравшан ниже устья р. Фандарья

Часть 3. Бассейн р. Каракадарья

Часть 4. Бассейн р. Сурхандарья

Часть 5. Бассейн р. Кафирниган

Часть 6. Бассейны левых и правых притоков р. Сурхоб выше устья р. Обихингоу и ниже устья р. Муксу

Часть 7. Бассейн р. Кызылсу

Часть 8. Бассейн р. Муксу

А — система ледника Федченко

Часть 9. Бассейн р. Обихингоу

Часть 10. Бассейны правых притоков р. Пяндж от устья р. Вахш до устья р. Ванч

Часть 11. Бассейн р. Ванч

Часть 12. Бассейн р. Язгулем

Часть 13. Бассейн р. Бартанг

Часть 14. Бассейн р. Мургаб

Часть 15. Бассейн р. Гунт

Часть 16. Бассейн верховьев р. Пяндж выше устья р. Гунт

Часть 17. Реки бассейна оз. Кара-Куль

Часть 18. Бассейн верховьев р. Маркансу

Том 15. АЛТАЙ И ЗАПАДНАЯ СИБИРЬ

Выпуск 1. Горный Алтай и Верхний Иртыш

Часть 1. Бассейны левых притоков р. Иртыша

Часть 2. Бассейн р. Каба

Часть 3. Бассейны рек Курчум, Бухтарма, Ульба, Уба
Часть 4. Бассейн верховьев р. Катунь
Часть 5. Бассейн р. Аргут
Часть 6. Бассейн р. Чуя
Часть 7. Бассейн р. Бия
Часть 8. Бассейны рек Кобдо, Карги

Том 16. АНГАРО-ЕНИСЕЙСКИЙ РАЙОН

Выпуск 1. Енисей

Часть 1. Северная Земля
Часть 2. Бассейн р. Таймыр
Часть 3. Бассейны рек Казыр, Кан
Часть 4. Бассейн р. Кемчик
Часть 5. Бассейн верховьев р. Енисея выше устья р. Кемчик

Выпуск 2. Ангара

Часть 1. Бассейн верховьев рек Ока, Уда

Том 17. ЛЕНСКО-ИНДИГИРСКИЙ РАЙОН

Выпуск 2. Средняя Лена

Часть 1. Бассейны рек Чара и Витим (хребет Кодар)

Выпуск 3. Алдан

Часть 1. Бассейн р. Юдома

Выпуск 5. Нижняя Лена

Часть 1. Хараулажские горы
Часть 2. Хребет Орган

Выпуск 7. Яна, Индигирка

Часть 1. Острова Де-Лонга
Часть 2. Бассейн Средней Индигирки (хребет Черского)
Часть 3. Бассейны левых притоков р. Индигирки, берущих начало на склонах хребта Сунтар-Хаята

Том 19. СЕВЕРО-ВОСТОК

Часть 1. Остров Врангеля
Часть 2. Бассейн р. Анадыря (хребет Пекульней)
Часть 3. Бассейн р. Дельку (хребет Сунтар-Хаята)

Том 20. КАМЧАТКА

Часть 1. Корякский хребет
Часть 2. Бассейны рек западного побережья Камчатки
Часть 3. Бассейн р. Камчатки
Часть 4. Бассейны рек восточного побережья Камчатки

издано в 1968 г.

СПИСОК ПРИНЯТЫХ СОКРАЩЕНИЙ

Учреждения и организации

АН — Академия наук
ИТОРГО — Известия Туркестанского отделения Русского географического общества
ИРГО — Известия Русского географического общества
СГП — снегомерно-гидрографическая партия
СРЕДАЗМЕТ — Среднеазиатский метеорологический институт
ТашГУ — Ташкентский государственный университет
УГМС — Управление гидрометеорологической службы
ФГМО — Фрунзенская гидрометеорологическая обсерватория

Пункты наблюдений

гмст — гидрометеорологическая станция
гп — гидрологический пост
мп — метеорологический пост
ос — суммарный осадкомер
сп — снегомерный пункт

Морфологические типы ледников

дол. — долинный
вис. — висячий
вис.-дол. — висячий долинный
вис.-кар. — висячий каровый
кар. — каровый
кар.-дол. — карово-долинный
кар.-вис. — карово-висячий
котл. — котловинный
кул. — кулуаров
присклон.-кар. — присклоновый каровый

Способ определения фирмовой линии

АФС — аэрофотосъемка
наз.-виз. — наземный визуальный

Прочие

Бол. — Большой; Мал. — Малый; р. — река; бас. — бассейн;
оз. — озеро; руч. — ручей; г. — гора; пр. р. — приток реки;
с. — село; лев. — левый; прав. — правый; табл. — таблица;
гориз. — горизонтальная; центр. — центральный (ледник)

ХАРАКТЕРИСТИКА ГЕОГРАФИЧЕСКОГО ПОЛОЖЕНИЯ МОРФОЛОГИИ, КЛИМАТИЧЕСКИХ УСЛОВИЙ И РЕЖИМ ЛЕДНИКОВ

Бассейны рек Асса и Талас расположены на северо-западе Киргизии. С севера они ограничены Киргизским хребтом, на юге — Таласским Алатау. На востоке хребты сходятся под острым углом, образуя Таласско-Киргизский горный узел, замыкающий бассейн реки Талас с востока. Площадь водосбора р. Талас до замыкающего створа гидропоста Кировское 7940 км², а р. Асса около железнодорожной станции Маймак — 2710 км².

Территориально Таласский Алатау является крупнейшим водоразделом между бассейнами рек Кёкемерен, Нарын, Чаткал и Талас, его средняя высота 3700—3800 м. Отдельные вершины хребта превышают 4000 м, наивысшая точка — г. Манас — имеет высоту 4488 м.

Гребневая зона хребта имеет типичный альпийский облик. Рельеф ее скалистый, вершины зазубрены, узки и изредка покрыты льдом и фирмом. Горы Колба, Бабакан, Кумыштаг (отроги Таласского хребта) имеют более мягкие формы. На их склонах развита кора выветривания, поверхность которой задернована, склоны гор расчленены густой сетью коротких неглубоких, но крутых оврагов.

В Талассском Алатау поверхности выравнивания распространены в пределах высот 2500—2800 м. В настоящее время они расчленены молодыми тектоническими движениями и глубинной эрозией. Возраст их дотретичный — мезозойский.

Для Таласского Алатау, как и для других хребтов Тянь-Шаня, свойственна отчетливая зональность рельефа. Поперечный профиль северного склона хребта имеет ступенчато-асимметричный характер. Местами склоны достигают значительной крутизны (в пригребевой зоне 60—70°), причем в нижней своей части они переходят в предгорья, имеющие вид «лестниц». Из центральной части осевой зоны на север и северо-запад отходит ряд крутых гряд со среднегорным рельефом: хребты Колбатау с высшей точкой 4161 м, Карагайлы — 3839 м, горы Бостон-Булак — 4133 м, Карга-Айрык — 4097 м, Кызыл-Бель — 3207 м и др. Меридиональное простирание имеют также отроги Кумыштаг с высотами, достигающими 4220 м.

От крайней северо-западной части хребта Таласский Алатау отходят отроги — горы Арчалы с высотами до 3377 м, Уч-Булак — 3469 м, Бакаир-Чоку — 4457 м и др.

В области развития окологорных третичных предгорий располагаются (с востока на запад)

отроги Сасык-Булак — 1869 м, Джон-Арча — 2192 м, Урмарал — 1869 м. В целом Таласский Алатау характеризуется наличием рельефно выраженного предгорья, которое отсутствует в Киргизском хребте.

Киргизский хребет в пределах района имеет широтное направление. Средняя высота его около 3500 м. Он расчленен притоками р. Талас. Западная часть хребта сухая, изрезана множеством ложбин и саев. Южные склоны Киргизского хребта отделяются от подгорной впадины передовыми хребтами: Орто-Тау, Кара-Джилга, Эчкили-Тау, Ак-Тау, Кызыл-Адыр и Карака-Тау, которые образуют кулисообразно построенную низкогорную цепь шириной до 8—10 км, вытянутую в широтном направлении, и характеризуются моноклинально-асимметричным строением.

Восточная часть Киргизского хребта высокая, сильно изрезанная. Отдельные вершины достигают высот более 4000 м. Западная его часть имеет меньшие абсолютные отметки и характеризуется менее интенсивным расчленением внедедниковых склонов. Верхняя часть хребта часто представляет сравнительно мягкогористую поверхность. Склоны гор пересечены множеством сухих долин, оврагов и ложбин, слабо задернованы, а местами, особенно западные участки, совсем оголены.

Рельеф. Высокогорная часть Таласского Алатау характеризуется мощными выходами коренных пород, образующих обширные каменные осыпи. В верховьях рек на высотах выше 3000 м располагаются каровые ниши, приуроченные к трем гипсометрическим уровням.

Нижние кары, расположенные на высотах 3000 м, имеют значительные размеры. Наибольшие из них достигают в поперечнике 0,9—1,0 км. Днища каров имеют всхолмленную, задернованную поверхность. В них обычно располагаются ледниковые озера подпруживания размерами 200—400 м в поперечнике. Стенки каров часто разрушены, местами покрыты осыпями.

На высотах 3200 м располагается вторая цепь каров, местами заложенная в стенках нижних каров. Возвышаются они над днищами последних на 100—200 м и отличаются хорошей сохранностью. Стенки их невысокие, крутые, часто отвесные; днища заполнены грубообломочным материалом древней морены. В этих карах изредка располагаются ледниковые озера и небольшие леднички.

Следующая категория каров — каровые впадины — расположена на высотах немногим более 3500 м. Стенки этих впадин сравнительно пологие, днища пологовогнутые и заполнены грубообломочным материалом. К ним и приурочено основное современное оледенение бассейна.

В гляциальных формах рельефа характерно широкое развитие троговых долин, где залегают древние моренные отложения. Повсеместно днища долин осложнены ригелями, относительные высоты которых с крутой стороны достигают 20—30 м.

Хорошо сохранившиеся гляциальные формы придают высокогорной зоне Таласского Алатау резкие очертания. Осевая часть хребта и его отрогов имеют крутые, часто обрывистые склоны и узкие зазубренные гребни. Образование резко расчлененных форм рельефа способствуют климатические условия. Континентальный климат создает условия для интенсивного физического выветривания, под действием которого происходит разрушение гребней, склонов и приуроченных к ним гляциальных форм рельефа.

Гидрография. Основной речной артерией рассматриваемого района является река Талас (рис. 22), образуемая слиянием двух рек — Учкошой и Каракол. Все наиболее значительные притоки река Учкошой принимает с левой стороны. В верховьях рек Учкошой и Каракол имеются многочисленные выходы подземных вод, которые часто даже на значительных высотах образуют топкие болота.

Ниже слияния рек Учкошой и Каракол р. Талас на протяжении примерно 100 км протекает по межгорной долине, ширина которой достигает 15 км. На этом участке в реку с левой стороны впадают ее наиболее крупные притоки (Колба, Бешташ, Урмарал, Кумыштаг, Карабура), питающиеся главным образом за счет таяния снега и ледников. Помимо перечисленных притоков, со склонов долины по направлению к руслу р. Талас текут мелкие родниковые притоки (карасы). За исключением р. Урмарал, все притоки, как правило, разбираются на орошение и до русла р. Талас доносят свои воды лишь эпизодически.

Река Асса по водоносности значительно уступает р. Талас. Она принимает только три притока — Куркуреусу, Коксай и Аксай, в верховьях бассейнов которых имеются ледники.

Гляциологическая характеристика бассейнов рек. Основное оледенение приурочено к Таласскому Алатау. На Киргизском хребте небольшие по площади ледники имеются только в наиболее высокой части, в истоках р. Каракол (рис. 21).

На всем протяжении Таласский Алатау имеет несколько понижений до 3000—3400 м: в верховьях р. Карабура, в средней части бассейна р. Карагайн и к востоку от бассейна р. Тушашу. В связи с такими разрывами гляциальной зоны в бассейне р. Талас можно выделить четыре района оледенения.

Первый район включает в себя ледники бассейнов рек Аксай, Коксай, Куркуреусу, Сулубакаир и Карабура (рис. 14, 15). Ледники в этом районе занимают 79,5 км², что составляет более

48% общей площади оледенения в бассейнах рек Асса и Талас.

Вторым районом оледенения является участок северного склона Таласского Алатау, с которого собирают воды реки Кумыштаг и Урмарал (рис. 16, 17). Здесь ледники занимают площадь 39,2 км², или 24% всей площади оледенения.

Третий район расположен в бассейнах рек Бешташ, Колба, Чирканак, Бала-Чичкан и Тушашу (рис. 18, 19), где площадь ледников достигает 35,8 км², или 21,8% общей площади оледенения.

И, наконец, четвертым районом, в котором ледники занимают всего 10,2 км², или 6,2% площади ледников бассейна, являются верховья рек Каракол и Учкошой (рис. 20, 21).

Современное оледенение в бассейнах обеих рек представлено в основном небольшими ледниками. Сравнительно крупных ледников очень мало. Из 281 ледника только восемь имеют длину более 3 км (табл. 1). На ледники, имеющие длину до 2,0 км, приходится 91,9% от их общего количества.

Таблица 1
Соотношение ледников различной длины

| | Длина ледников, км | | | |
|-----------------------------|--------------------|---------|---------|-----------|
| | до 1,0 | 1,1—2,0 | 2,1—3,0 | более 3,0 |
| Количество ледников . . . | 164 | 94 | 15 | 8 |
| % к общему количеству . . . | 58,4 | 33,5 | 5,3 | 2,8 |

По морфологической классификации, в описываемом районе преобладают каровые, висячие и переходные между ними типы ледников (рис. 3, 4, 5, 6, а также «Дополнительные материалы» — рис. 27 и 31), составляющие около 72% общего количества ледников. На различные типы долинных и котловинных ледников приходится немногим более 28% (табл. 2).

Таблица 2
Морфологические типы ледников¹

| Тип ледника | Число | | Площадь ледников | |
|----------------------------|----------|--------------------|------------------|----------------------|
| | ледников | в % к общему числу | км ² | в % от общей площади |
| Котловинный . . . | 6 | 2,9 | 27,4 | 17,2 |
| Простой долинный . . . | 12 | 5,8 | 9,8 | 6,1 |
| Висячий долинный . . . | 7 | 3,3 | 6,2 | 3,9 |
| Карово-долинный . . . | 36 | 17,1 | 44,1 | 27,7 |
| Каровый . . . | 56 | 26,6 | 37,9 | 23,8 |
| Висячий каровый . . . | 9 | 4,3 | 3,1 | 1,9 |
| Присклоновый каровый . . . | 6 | 2,9 | 4,7 | 3,0 |
| Карово-висячий . . . | 40 | 19,0 | 15,3 | 9,6 |
| Висячий . . . | 36 | 17,1 | 10,3 | 6,5 |
| Кулуаров . . . | 2 | 1,0 | 0,5 | 0,3 |
| Всего . . . | 210 | 100,0 | 159,3 | 100,0 |

¹ В таблицу включены ледники площадью более 0,1 км².

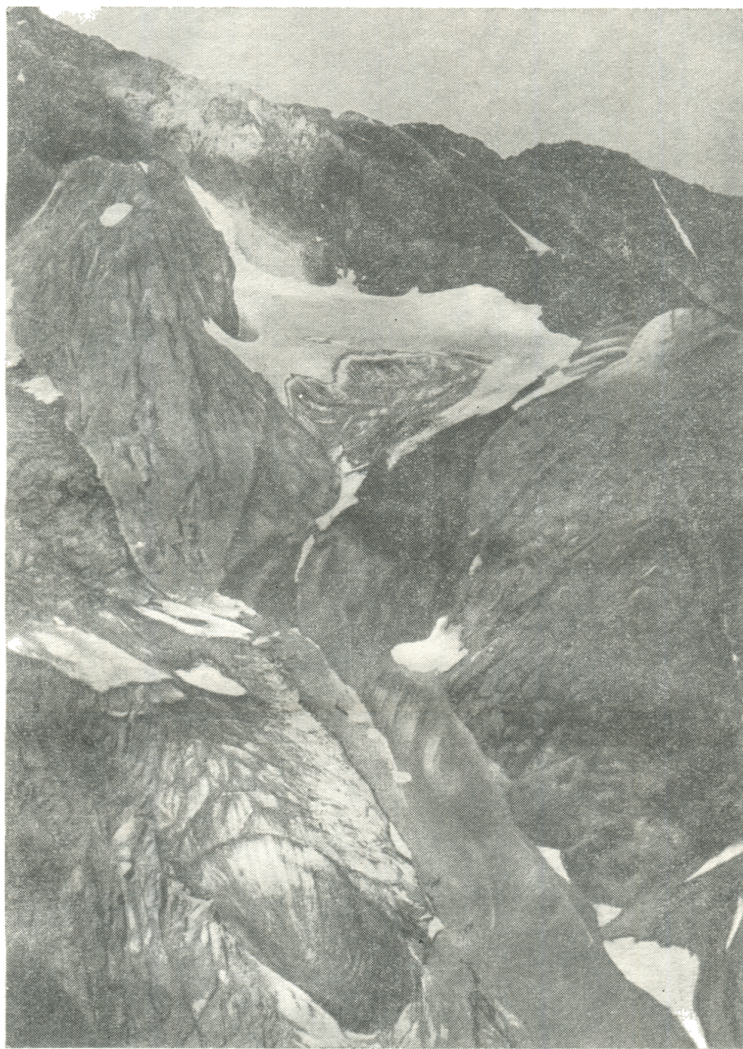


Рис. 3. Каровый ледник № 2, бассейн р. Аксай. Фото А. Полякова.



Рис. 4. Каровый ледник № 206, бассейн р. Каракол. Фото А. Полякова.



Рис. 5. Каровый ледник № 207, бассейн р. Каракол. Фото А. Полякова.



Рис. 6. Каровый ледник № 209, бассейн р. Каракол. Фото А. Полякова.



Рис. 7. Котловинный ледник СГП (№ 122), бассейн р. Урмарал. Фото А. Полякова.

Несмотря на то что количество котловинных и долинных ледников незначительно, их суммарная площадь составляет более половины всей площади оледенения. Однако следует заметить, что только котловинные и некоторые карово-долинные ледники имеют размеры более 3 км². Долинные ледники и ледники висячих долин не превышают по площади 1,0 км².

Распределение оледенения по бассейнам притоков рек Асса и Талас отличается крайней неравномерностью. Относительно большая площадь занята ледниками в бассейнах рек Куркуреусу (39,4 км²), Урмарал (35,8 км²) и Карабура

дится 89,8% их общего количества и 95,2% площади оледенения бассейнов обеих рек (табл. 3).

Концы ледников не опускаются ниже 3000 м. Как видно из табл. 4, наиболее низко ледники заливают в бассейнах рек Кумыштаг и Урмарал, где средняя высота погребенных под мореной концов ледников составляет соответственно 3408 и 3374 м. К западу высоты нижней границы ледников повышаются до 3520—3530 м. В бассейне р. Асса (расположенном еще западнее) она опять опускается до 3455 м. К востоку от бассейна р. Урмарал абсолютные отметки концов ледников увеличиваются. В бассейне р. Колба средняя

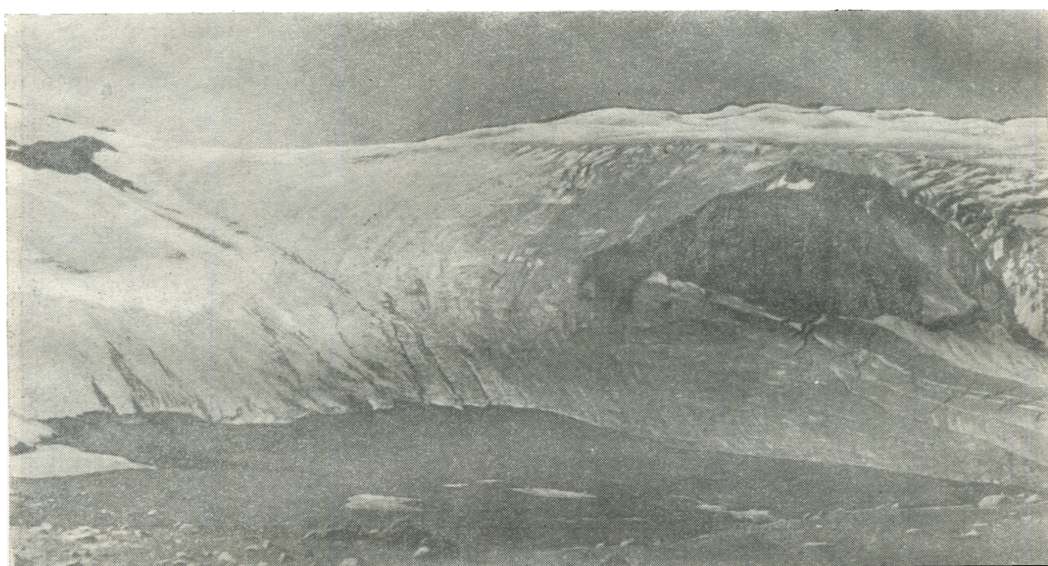


Рис. 8. Правая сторона котловинного ледника Куручколь (№ 23), бассейн р. Куручколь. Фото В. Чебан.

(25,2 км²). В бассейне р. Урмарал находятся самые крупные ледники бассейна р. Талас — СГП (площадь 6,4 км², рис. 7) и Вокруг Света (площадь 6,8 км², рис. 29). Наибольший по площади ледник в бассейне р. Асса (на р. Куркуреусу) — Куручколь (3,8 км², рис. 8, 9). В бассейнах остальных притоков рек Талас и Асса ледники занимают значительно меньшую площадь. Так, в бассейне р. Сулубакаир площадь ледников составляет 10,3 км², р. Чон-Чичкан — 9,7 км², Каракол — 8,9 км², Бешташ — 7,2 км², Бала-Чичкан — 6,3 км². Ряд притоков имеют площади оледенения, не превышающие 5 км².

Как уже отмечалось, Таласский Алатау имеет почти широтное простижение, и северные склоны его в пределах бассейнов рек Талас и Асса несут на себе основную долю оледенения. Естественно, что значительное количество ледников имеет северную ориентацию (39,4%). Многочисленны также ледники северо-западной и северо-восточной экспозиций. На ледники северо-западной, северной и северо-восточной экспозиций прихо-

Таблица 3
Распределение оледенения по экспозициям¹

| Экспозиция | Число | | Площадь ледников | |
|--------------|----------|--------------------|------------------|-----------------------|
| | ледников | в % к общему числу | км ² | в % от общей пло-щади |
| С | 83 | 39,5 | 73,9 | 46,4 |
| СВ | 57 | 27,2 | 41,5 | 26,1 |
| В | 13 | 6,2 | 5,0 | 3,1 |
| ЮВ | 3 | 1,4 | 0,8 | 0,5 |
| Ю | — | — | — | — |
| ЮЗ | 3 | 1,4 | 1,6 | 1,0 |
| З | 1 | 0,5 | 0,2 | 0,1 |
| СЗ | 50 | 23,8 | 36,3 | 22,8 |
| Всего . . | 210 | 100,0 | 159,3 | 100,0 |

¹ В таблицу включены ледники площадью более 0,1 км².

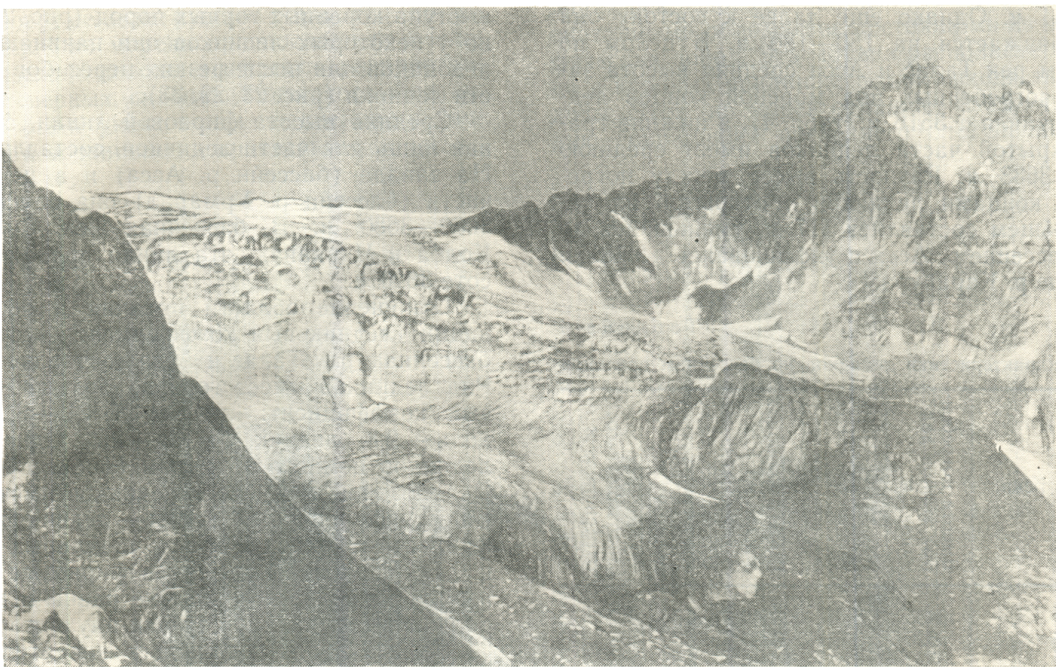


Рис. 9. Конец языка ледника Куручколь (№ 23), бассейн р. Куручколь. Фото В. Чебан.



Рис. 10. Долинный ледник № 1, бассейн р. Аксаи. Ниже фирновой линии поверхность ледника разбита системой поперечных трещин. Фото А. Полякова.

высота залегания концов ледников уже составляет 3694 м. Однако еще далее к востоку она вновь понижается на 150—180 м. В целом по бассейнам рек Талас и Асса средняя высота залегания погребенных под мореной концов ледников составляет 3516 м (табл. 4), а нижняя граница открытой части ледников имеет среднюю отметку 3633 м. Разность высот между погребенными концами ледников и открытой их частью в общем составляет 117 м, уменьшаясь до 54 м в бассейне р. Асса и увеличиваясь до 181 м в бассейне р. Карабура.

Таблица 4
Высотные характеристики ледников по бассейнам притоков

| Бассейн реки | Высота погребенных концов ледников, м | Высота открытых концов ледников, м | Высота фирновой линии, м | Высота высшей точки фирнового поля, м | Диапазон высот оледенения, м |
|------------------|---------------------------------------|------------------------------------|--------------------------|---------------------------------------|------------------------------|
| Асса | 3455 | 3509 | 3660 | 3755 | 246 |
| Сулубакаир . . . | 3526 | 3680 | 3823 | 4070 | 390 |
| Карабура . . . | 3522 | 3703 | — | 3995 | 292 |
| Кумыштаг . . . | 3408 | 3549 | — | 3855 | 306 |
| Урмарал . . . | 3374 | 3466 | 3682 | 3855 | 389 |
| Бешташ . . . | 3594 | 3711 | 3793 | 3855 | 144 |
| Колба . . . | 3694 | 3776 | 3825 | 3940 | 164 |
| Чирканак . . . | 3542 | 3678 | 3820 | 3920 | 242 |
| Учкошой . . . | 3510 | 3623 | 3790 | 3837 | 214 |
| Каракол . . . | 3543 | 3638 | 3693 | 4034 | 396 |
| Средние . . . | 3516 | 3633 | | 3912 | 279 |

Площадь поверхностных морен ледников Таласского Алатау составляет в среднем по бассейну 29,9% всей площади оледенения, что несколько больше, чем площадь подобных же морен на ледниках Киргизского хребта, равная 24,4% (табл. V, № 16). Наибольшие площади моренных покрытий наблюдаются в бассейнах рек Карабура (44,8%), Колба (42,2%), Сулубакаир (38,6%), Чирканак (36,6%), наименьшие — на ледниках бассейнов рек Урмарал (14,0%) и Каракол (8,0%) (без ледников Киргизского хребта).

Современные ледники в бассейнах рек Талас и Асса транспортируют вниз огромное количество моренного материала, образованного в результате переноса лавинами горных пород, а также падения обломков этих пород (иногда достигающих 10—12 м в поперечнике) со склонов, окружающих ледник. Боковые морены, тянущиеся узкой полосой вдоль краевых частей ледника, у конца, а иногда еще в средней части ледника сливаются с конечной мореной, образуя зачастую сплошной моренный чехол, покрывающий язык ледника (рис. 23). Иногда боковые морены образуют террасовидные поверхности. Линейные характеристики различных видов морен приведены в табл. 5 («Дополнительные материалы»).

Срединные морены на ледниках прослежи-

ваются обычно от фирмовой линии или скального выступа коренных горных пород (рис. 23, 24, 32), но у некоторых ледников они начинаются ниже ледопадов или после резких перегибов поверхности ледника (рис. 28, 29, 33).

Средняя высота фирмовой линии, определенная лишь для части ледников, составляет 3760 м. На западе (бассейн р. Асса) и в центральной части (бассейн р. Урмарал) она опускается до 3660—3680 м. В бассейнах рек Сулубакаир, Колба и Чирканак эта линия проходит на высоте 3820 м.

Отношение области питания к области абляции (ледниковый коэффициент) в среднем по бассейнам рек Талас и Асса составляет 0,9—1,0. Ряд ледников имеет гораздо больший ледниковый коэффициент: ледник № 21 — 3,0. Куручколь — 2,8, ледник № 43 — 2,7. Однако таких ледников немного (в целом по бассейну 5,8%). Около одной трети всех ледников имеют сильно гипертрофированные языки — ледниковый коэффициент их равен 0,5, а у некоторых даже 0,2 и 0,1. У половины ледников фирмовые бассейны и области абляции примерно равны и имеют небольшие отклонения в ту или иную сторону.

Рельеф ложа ледников в значительной степени определяет характер их поверхности, выражющийся прежде всего в наличии ступеней, чередовании пологих участков с углами наклона 10—15° и крутых уступов или ледопадов с углами наклона более 30—40° (рис. 10, 11, табл. 6). Нередко при изменении направления течения ледников их поверхность на участках поворота бывает расчленена многочисленными поперечными трещинами (рис. 25).

Большая часть ледников бассейна носит явные признаки отступания. Об этом свидетельствуют свежие моренные отложения, многочисленные участки мертвого льда и прочее. Из сопоставления нескольких проведенных в разное время съемок ледника Чонг-Тур левый (№ 192) видно, что за последние 35 лет ледник непрерывно отступает. Н. Л. Корженевский, в 1929 г. повторивший съемку конца ледника, проведенную в 1928 г. Новиковым, установил, что в правой своей части он отступил на 15 м, в левой на 25 м, а в средней на 37 м. С 1930 по 1966 г. ледник уменьшился в длину на 235 м. Причем скорость этого процесса за период 1930—1956 гг. составляла всего 1,3 м/год, а за период 1956—1966 гг. она равнялась 18,3 м/год, т. е. в последнее десятилетие ледник отступал в 14 раз быстрее, чем раньше. Кроме того, такое отступление ледника привело к расчленению его на две части.

Следы древнего оледенения в бассейнах рек Асса и Талас встречаются только на высотах выше 2500 м. Одним из основных образований, оставленных древними ледниками, являются морены, приуроченные к высотным уровням 2500, 3000 и 3500 м.

Морена (нижняя), располагающаяся на высоте 2500 м, сохранилась лишь в среднем течении р. Карагайлы (бассейн р. Урмарал). Ее всхолмленная поверхность оканчивается сравнительно

пологим уступом высотой около 150 м, который прорезан современным руслом реки. Это, по-видимому, конечная морена предпоследнего оледенения, имевшего довольно широкое распространение на северных склонах Таласского Алатау. Его следы были уничтожены позднейшими гляциальными и эрозионными процессами.

высотой 10—30 м, хорошо сохранившимся в долинах рек. Сложена она неокатанными или слабо окатанными обломками, состоящими из метаморфических пород. Эта морена располагается обычно в каровых впадинах, редко выходя за их пределы. Этот тип морен отражает следующую стадию сокращения последнего оледенения. Выше



Рис. 11. Долинный ледник № 3, бассейн р. Аксай. Фото А. Полякова.

Морена, располагающаяся на средней высоте 3000 м, образована, очевидно, при максимальной стадии развития последнего оледенения. Эта морена заложена в троговых долинах рек Талдыбулак, Постунбулак, Чимташ, Туюктор и Джултор. Поверхность ее слегка всхолмлена и отделена от нижней морены уступом высотой 100—150 м. Более высокое гипсометрическое положение этой морены говорит о сокращении площади оледенения в среднечетвертичное время в пределах северного склона Таласского Алатау.

Самая верхняя древняя морена налагается на среднюю и отделяется от последней уступом

этой верхней морены располагаются современные морены, приуроченные к днищам каров, в которых залегают современные ледники.

Климатические условия. Климат бассейна р. Талас характеризуется континентальностью и высотной зональностью и определяется как общегеографическим внутриконтинентальным положением Тянь-Шаня, так и его горным рельефом с резкими изменениями высот на относительно небольших горизонтальных расстояниях.

Продолжительность теплого и холодного периодов в различных высотных зонах бассейна различна. В связи с этим изменяется во времени и распределение твердых и жидких осадков.

В высокогорной зоне (свыше 3000 м) осадки выпадают преимущественно в твердом виде, в предгорной числах дней с твердыми осадками уменьшается, а в нижней части долины р. Талас они выпадают только зимой.

По данным гидрометстанции Талас, на высотах ниже 1500 м до января наблюдается тенденция к постепенному понижению средней месячной температуры с 0,6° в ноябре до —6,6° в январе. Минимальные температуры воздуха приходятся на январь (до —40°), максимум при этом достигает 16°. Амплитуды колебаний суточных температур воздуха по долинным районам до января имеют общую тенденцию к уменьшению и составляют 15,2° в октябре и 11,9° в январе. Продолжительность зимнего периода на высотах более 3000 м составляет около 200 дней. Переход средней суточной температуры воздуха через 0° в сторону отрицательных значений наблюдается обычно в конце первой декады октября, в сторону положительных — в начале мая. Отмечается постепенное увеличение недостатка

Сравнительно небольшое количество осадков в холодный период года как на территории Киргизии в целом, так и в бассейне р. Талас объясняется вторжением холодных арктических и континентальных воздушных масс умеренных широт и орографической обособленностью района. Закрытость бассейна с севера и юго-запада ухудшает условия увлажнения его низинных частей. К тому же уровень конденсации, как известно, в это время очень низок, в силу чего формирование местных осадков происходит очень слабо. Так, сумма осадков за период октябрь—май, по данным гидрометстанции Талас, составляет 219 мм, по данным гидрометстанции Ала-Бель — около 260 мм. Относительная влажность колеблется в пределах 60—70%, абсолютная — 3,1—9,3 мб. Средний многолетний недостаток насыщения, по данным гидрометстанции Талас, в первой половине зимнего периода уменьшается с 5,7 мб в октябре до 1,6 мб в январе. С января отмечается постепенное увеличение недостатка насыщения с 1,8 мб в феврале до 7,8 мб в мае. Абсолютный минимум недостатка насыщения наблюдался в 1951 г. (0,8 мб).

Сумма осадков в верховьях р. Каракол (высота 3450 м), по данным суммарного осадкометра, за период октябрь—май составляет 481 мм, или 50% годовой суммы (табл. 7). В верховьях р. Уччат (высота 3640 м) осадки за холодный период составляют около 351 мм, а в бассейне р. Киндикташ (высота 3400 м) всего лишь 277 мм. В бассейне р. Бешташ на высоте 3380 м сумма осадков за тот же период изменяется от 494 до 575 мм.

Наибольшее количество осадков в зимний период отмечается в бассейне р. Туюктор — 883 мм, или 73% годовой суммы. Распределение снежного покрова в бассейнах рек Каракол и Учкат неравномерное, а мощность его в течение зимы в высотной зоне 2700—3200 м колеблется в пределах 20—130 см. Образование устойчивого снежного покрова в бассейне р. Каракол наблюдается в третьей декаде октября, в бассейне

р. Учкат — в конце первой декады ноября. В высотной зоне 3100—3500 м в верховьях р. Карабура устойчивый снежный покров отмечается в конце сентября — начале октября.

В период с декабря по февраль высота снежного покрова составляет обычно 30—40 см. В отдельные годы она увеличивается до 60—80 см, а в малоснежные зимы падает до 11—30 см. В понижениях рельефа отмечаются наносы до 1,5—2,0 м. К марта средняя высота снега увеличивается до 50—60 см. Максимальная высота снежного покрова в бассейне р. Учкат достигает 129 см (1962 г.), в бассейне р. Каракол — 120 см (1963 г.). В верховьях р. Карабура (перевал Карабура) максимальный слой снега наблюдался в зиму 1964—65 г. (210 см). Плотность снега с февраля по всем высотным зонам бассейнов сравнительно стабильна и составляет около 0,28 г/см³. Ветры способствуют сносу снега с выпуклых участков склонов гор. Так, например, в бассейне р. Учкат высота снежного покрова на таких участках рельефа в апреле не превышает 5—15 см, а на склонах южной экспозиции появляются проталины. К марта — апрелю среднее положение снеговой линии в бассейне р. Каракол около 2850 м, в бассейне р. Учкат 2500—2600 м. В многоснежные годы снеговая линия опускается в бассейне р. Каракол до 2550 м, в бассейне р. Учкат до 2400 м, а в малоснежные поднимается соответственно до 2950 и 3100 м. Окончательный сход снежного покрова в бассейнах рек Учкат и Каракол в зоне 2700—3200 м наблюдается обычно в первой—третьей декадах апреля, в верховьях р. Карабура (3100—3500 м) — в третьей декаде мая.

В течение зимы преобладают главным образом ветры восточного направления, реже — западного. Средние их скорости не превышают 2,4 м/сек в долине р. Талас и 3,6 м/сек в районе гидрометстанции Ала-Бель. Безветрие наблюдается примерно в 22—25 случаях в течение месяца. В зоне выше 3000 м общая облачность достигает 4—7 баллов, облака главным образом верхнего яруса; нижняя облачность колеблется от 2 до 4 баллов. Продолжительность солнечного сияния, по данным гидрометстанции Талас, уменьшается от 224 час. в октябре до 136 час. в декабре. С января продолжительность солнечного сияния постепенно увеличивается, достигая 273 час. в мае.

Как уже отмечалось, в начале мая на высотах, превышающих 3000 м, наблюдается переход средней суточной температуры воздуха через 0° в сторону положительных значений. Общая продолжительность теплого периода в высокогорной зоне составляет около 160 дней, в долине р. Талас — около 270 дней. Температура воздуха с высотой закономерно падает. В пределах долины средняя температура мая составляет 14,1°, на высоте 3200 м (гидрометстанция Ала-Бель) 1°. В высотной зоне 3800—4000 м переход средней суточной температуры воздуха через 0° в сторону положительных значений наблюдается в конце июня — начале июля, а продолжительность теплого периода уменьшается до 60—

90 дней¹. Максимальная средняя месячная температура воздуха в низинных районах бассейна отмечается в июле (20°), на высоте 4000 м — в августе ($4,3^{\circ}$). Средняя месячная температура воздуха в августе на высоте 4000 м не превышает $3,4^{\circ}$ (табл. 8). Сумма положительных температур воздуха за теплый период на высоте 3000 м составляет около 923° , на высоте 3800 м — 225° , а на высоте 4000 м — 150° (табл. 9). Абсолютные минимальные температуры в районе гидрометстанции Ала-Бель (3200 м) в августе нередко имеют отрицательные значения, в долине р. Талас они не ниже $2-3^{\circ}$. По данным гидрометстанции Талас, абсолютный максимум температуры воздуха за многолетний период составляет $39,6^{\circ}$ (1944 г.). Наибольшие средние месячные значения суточных амплитуд температуры в низинных районах бассейна отмечаются в августе—сентябре и не превышают $17,1-7,2^{\circ}$.

Выпадение осадков в течение теплого периода года определяется местными факторами и холодными вторжениями, приносящими влагу. В этот период, особенно в апреле—июне, повсеместно заметно увеличение осадков во всех высотных зонах. В низинных районах (гидрометстанция Талас) месячная сумма осадков в период марта—июня составляет 33—48 мм, а на высоте 3200 м (гидрометстанция Ала-Бель) достигает 70—80 мм. Выпадение значительного количества осадков в теплый период в верховьях р. Каракол связано с орографическими условиями района. Долина р. Каракол представляет узкий коридор, вытянутый в широтном направлении и замыкаемый на востоке горным узлом, где сходятся Киргизский хребет и Таласский Алатау. Здесь и создаются благоприятные условия для конвективных процессов. Воздушные массы, поднимаясь вдоль долины, отдают свою влагу в виде осадков в течение теплого периода года. По данным В. Л. Шульца (табл. V, № 24), осадки зимнего и летнего периодов в долине почти одинаковы и составляют 15—20% годовой суммы; максимум осадков выпадает весной. В горной части периферийных хребтов летние осадки превышают в 3—4 раза зимние, которые составляют около 10% годовой суммы. Сумма осадков в верховьях р. Каракол (высота 3450 м), по данным суммарных осадкометров, за летний период (июнь—сентябрь) составляет 480 мм, или 50% годовой суммы, а в отдельные годы 908 мм (табл. 7). По данным гидрометстанции Ак-Таш, осадки теплого периода составляют 537 мм, или около 62% годовой суммы. В отдельные годы в верховьях р. Каракол летние осадки превышают зимние в 2—3 раза. Некоторое преобладание летних осадков над зимними наблюдается также в истоках р. Учкошой, левой составляющей р. Талас. Здесь на гребне Таласского Алатау отношение зимних осадков к летним составляет 0,78 (табл. V, № 5). Иной характер распределения осадков в течение года наблюдается

в бассейне р. Бешташ, на северном склоне Таласского Алатау. Здесь заметно значительное преобладание зимних осадков над летними. По данным осадкометров, на высоте 3380 м сумма осадков за период июнь—сентябрь составляет 176 мм, что в 3,1 раза меньше зимних (табл. 7). Ниже количество летних осадков резко увеличивается. Уже на высоте 2440 м сумма их составляет около 480 мм, а в предгорной зоне (высота 1650 м) — 240 мм.

По мнению В. А. Бугаева и М. А. Петросянца (табл. V, № 4), как в бассейне р. Бешташ, так и на всем северном склоне Таласского Алатау осадки приносятся главным образом юго-западными ветрами в весенне-летние месяцы и выпадают преимущественно на южных склонах благодаря экранирующей роли Таласского хребта, преграждающего доступ в долину воздушным течениям и способствующего образованию нисходящих токов, при которых ухудшаются условия выпадения осадков на северных склонах.

В бассейне р. Карагайлы (2440 м) сумма осадков за летний период составляет 328 мм, в верховьях р. Карабура (3140 м) — 372 мм. Отношение летних осадков к зимним порядка 1,1—1,4.

Вследствие общих природных условий (высотного простирания и положения относительно направления влагоносных воздушных потоков) наиболее увлажненной частью бассейна являются склоны Таласского Алатау. По имеющимся данным, годовая сумма осадков в низинных районах бассейна (высотная зона 900—1300 м) составляет около 300 мм. С увеличением высоты местности увеличивается и количество осадков. Так, на высоте 2250 м суммы осадков достигают 870 мм, а на высоте 3450 м (в верховьях р. Каракол) в отдельные годы даже 1250 мм. Максимум осадков отмечен в бассейне р. Туюктор (1507 мм). На северных склонах Таласского Алатау в зоне 3300—3500 м годовая сумма осадков составляет в среднем 570—740 мм, достигая в отдельные годы почти 1150 мм. Надо сказать, что распределение годовых сумм осадков по отдельным подрайонам представляет пеструю картину, что впрочем естественно при сложной орографии бассейна.

Относительная влажность в течение летнего периода изменяется от 50 до 60% в долине р. Талас и до 70% на высоте 3200 м (гидрометстанция Ала-Бель). Средняя годовая относительная влажность 65%.

Средняя общая облачность в течение теплого периода года на уровне выше 3000 м около 7,5 балла, нижняя — 3—4 балла.

До высоты 3300 м преобладают ветры восточного направления, реже — западного. Средняя месячная скорость ветра в летний период по сравнению с зимним несколько возрастает; в низинных районах бассейна она увеличивается до 2,5 м/сек, а на высоте 3200 м — до 3 м/сек.

Месячная продолжительность солнечного сияния в долине р. Талас в течение лета колеблется в пределах 270—336 час. Наибольшая продол-

¹ Здесь и далее температура воздуха на уровне выше 3000 м приводится расчетная, по данным гидрометстанций Талас, Ак-Таш, Ала-Бель.

жительность отмечается в июле и августе — соответственно 333 и 336 час.

Гидрологический режим. Климатические, орографические и гидрографические особенности бассейнов определяют условия питания, характер режима и объем стока рек Асса и Талас в целом.

Наиболее значительными по длине, площади бассейнов и объему стока являются левобережные притоки р. Талас — Колба, Бешташ, Урмарал, Карабура — и ее составляющие — реки Каракол и Учкошой, приток р. Асса Куркуреусу. Горные бассейны этих рек располагаются на северных склонах Таласского Алатау и на стыке Таласского Алатау и Киргизского хребта, которые характерны своей увлажненностью. Это обстоятельство определяет главным образом величину стока перечисленных выше рек. Как уже отмечалось, в пригребневой зоне бассейнов на высотах 3000—4200 м расположены ледники. Обилие осадков в этой зоне, интенсивный сход лавин в зимний и весенний периоды, таяние льда в периоды аблации в значительной мере определяют условия питания и характер режима всех левобережных притоков р. Талас.

Правобережные притоки представлены реками Кенкол и Нельды, стекающими со склонов Киргизского хребта. Бассейны этих рек приурочены к сравнительно низкому гипсометрическому уровню. Для рельефа этих бассейнов характерны пологие склоны главным образом южной, юго-восточной и юго-западной экспозиций.

Реки Кенкол и Нельды имеют незначительный по сравнению с левобережными притоками объем стока и относятся к классу рек со снеговым питанием.

Площадь водосбора составляющих р. Талас (реки Каракол, Учкошой) 2450 км² (табл. 10). Из притоков р. Талас наибольшую площадь бассейна имеет р. Урмарал (1120 км²), наименьшую — р. Колба (218 км²). Площадь водосборов с высотой, превышающей 3000 м, изменяется от 115 км² (р. Колба) до 530 км² (р. Учкошой). Из правобережных притоков р. Кенкол является наибольшей как по площади водосбора, так и по водности.

Площадь бассейна р. Талас по замыкающему створу (гидропост Кировское) 7940 км², длина реки 662 км.

Площадь бассейнов правобережных притоков с абсолютными отметками выше 3000 м, на которой и формируется основной летний сток, составляет около 1870 км².

Наиболее многоводным притоком р. Асса является р. Куркуреусу. Общая площадь ее водосбора до замыкающего гидропоста (урочище Чон-Курчан) 454 км², расстояние от истоков до устья 56 км.

Наибольшая площадь оледенения по отношению к общей площади водосбора отмечается в бассейнах рек Куркуреусу — 8,7%, Урмарал — 3,2%, Каракол и Учкошой, вместе взятых, — 1,2%.

Наибольшие средние годовые расходы воды наблюдаются на р. Учкошой (9,19 м³/сек) (табл. 11). Средние годовые расходы воды на

притоках р. Талас (Урмарал, Каракол, Колба, Бешташ, Кумыштаг) изменяются от 8,70 до 2,71 м³/сек.

В период экспедиционных обследований УГМС КиргССР расход воды в истоках р. Сулубакаир в конце августа — начале сентября 1962 г. составлял 2,5—3,0 м³/сек, в истоках рек Тушашу, Чон-Чичкан и Бала-Чичкан он колебался в пределах 0,1—0,5 м³/сек.

Средние годовые расходы правобережных притоков значительно меньше: 2,39 м³/сек (р. Кенкол) и 0,70 м³/сек (р. Нельды).

Наибольшие средние месячные расходы воды на р. Талас (у гидропоста Кировское) наблюдаются в июле и составляют 130 м³/сек, наибольшие из максимальных расходов достигают 233 м³/сек, наименьшие из минимальных — 7 м³/сек (табл. 10, 11). Около 58% годового стока приходится на период май — сентябрь. Средние годовые расходы воды вегетационного периода (май — сентябрь) в верховьях р. Талас около 13—16 м³/сек, в нижней части бассейна (гидропост Кировское) — 45,5 м³/сек. Расходы вегетационного периода левобережных притоков р. Талас изменяются от 2,64 м³/сек (р. Колба) до 15,7 м³/сек (р. Урмарал).

Средний расход воды р. Куркуреусу за вышеуказанный период 10,3 м³/сек.

На левобережных притоках р. Талас наибольшие из максимальных расходов наблюдаются в июне—июле и составляют 16,8—75,8 м³/сек, наименьшие из минимальных в отдельные годы вследствие забора воды на орошение уменьшаются вплоть до нуля. На период май—сентябрь приходится от 63,1 до 79,3% годового стока. В верховьях р. Талас, на реках Колба, Урмарал и Карабура наиболее многоводным является июль, на реках Бешташ, Кумыштаг и Учкошой — июнь. Наибольший месячный сток на правобережных притоках наблюдается в мае.

Средний годовой расход р. Куркуреусу составляет 5,98 м³/сек, средние месячные расходы изменяются от 2,23 м³/сек в марте до 9,75 м³/сек в июне. Наибольших значений из минимальных расходы достигают в середине июля и составляют 40,2 м³/сек, а наименьшие из минимальных расходы наблюдаются в середине марта, когда они падают до 0,84 м³/сек.

На долю зимней межени в верховьях р. Талас приходится около 20,2—22,2%, в нижней части бассейна (гидропост Кировское) — 31,9% общего годового стока. На левобережных притоках сток зимней межени изменяется от 15,7% (р. Бешташ) до 28,5% (р. Колба). Наименьший сток в зимнюю межень отмечается на правобережных притоках Кенкол и Нельды (14,5 и 15,6%) (табл. 11).

Средний годовой модуль стока в верховьях р. Талас (на реках Каракол и Учкошой) составляет соответственно 6,59 и 7,60 л/сек км², а в нижней части бассейна (гидропост Кировское) уменьшается до 4,12 л/сек км² (табл. 10). Наибольшие средние годовые модули стока отмечаются в бассейнах рек Каракол (ущелье Ак-

Таш, 13,7 л/сек км²), Куркуреусу (13,2 л/сек км²) и Бешташ (12,4 л/сек км²). В левобережной части бассейна р. Талас (реки Колба, Урмарал, Кумыштаг) средние годовые модули стока изменяются от 6,89 до 7,98 л/сек км². В бассейнах рек Карабура, Нельды и Кенкол модули стока составляют соответственно 4,59, 4,57 и 5,88 л/сек км².

Коэффициенты вариации стока на всем протяжении р. Талас сравнительно устойчивы и составляют 0,22—0,23. Наибольшие коэффициенты вариации наблюдаются на правобережных притоках р. Талас (на р. Кенкол 0,35, на р. Нельды 0,39).

В левобережной части бассейна р. Талас коэффициенты вариации изменяются от 0,11 до 0,22. В бассейне р. Асса (р. Куркуреусу) коэффициент вариации стока составляет 0,16.

Характер рельефа (высокогорье, сильное расчленение) в бассейнах рек Талас и особенно Асса (р. Куркуреусу), наличие легко размываемых сланцев, конгломератов и песчано-галечниковых отложений в сочетании с маломощными почвами создают благоприятные условия для эрозионной деятельности водотоков и увеличения мутности рек.

Увеличение мутности р. Талас в направлении вниз по течению связано в основном с интенсивной глубинной эрозией, истиранием движущихся донных наносов.

В среднем мутность р. Талас относительно невелика. Ее притоки имеют мутность в пределах 50—100 г/м³.

Наибольших значений мутность р. Талас достигает в 2,6 км ниже устья р. Учкошой, где она составляет 1500 г/м³, и у гидропоста Кировское — 5200 г/м³. Река Куркуреусу имеет мутность 11 000 г/м³.

Средний годовой расход взвешенных наносов р. Талас в 2,6 км ниже устья р. Учкошой составляет 0,46 кг/сек. Средние месячные расходы взвешенных наносов изменяются от 0,32 кг/сек в январе до 1,85 кг/сек в июне. Около 90% общего годового стока взвешенных наносов приходится на май—август (табл. 12). В нижней части р. Талас (гидропост Кировское) средний годовой расход взвешенных наносов увеличивается до 4,1 кг/сек. Средние месячные расходы взвешенных наносов в октябре достигают минимальных значений (0,30 кг/сек), в июне — максимальных (21 кг/сек).

На период май—август приходится около 92% общего годового стока взвешенных наносов.

Наибольшими расходами взвешенных наносов характеризуется р. Куркуреусу. Около 60% их годового стока приходится на июль, а на июнь и август соответственно 22 и 13%.

Средние годовые расходы взвешенных наносов р. Куркуреусу сравнительно незначительны (1,6 кг/сек). Наибольших значений средние суточные расходы взвешенных наносов достигают в нижней части р. Талас — 640 кг/сек (гидропост Кировское), наименьших — 16 кг/сек.

В верховьях р. Талас максимальные расходы взвешенных наносов не превышают 91 кг/сек,

минимальные — 0,49 кг/сек. Годовой сток взвешенных наносов в верховьях р. Талас, в 2,6 км ниже устья р. Учкошой, составляет 14 000 т, у гидропоста Кировское — 130 000 т.

Смык с поверхности водосбора р. Куркуреусу составляет 115 т/км², в верховьях р. Талас — 6 т/км², в нижней части бассейна (гидропост Кировское) — 16 т/км².

Из приведенных выше данных видно, что основной сток в бассейне р. Талас осуществляется главным образом двумя ее составляющими — реками Каракол и Учкошой, правым притоком — р. Кенкол и всеми сравнительно многоводными левобережными притоками.

По условиям питания и режиму стока, согласно А. Т. Ильясову и нашим предварительным расчетам, р. Талас на всем своем протяжении относится к классу рек с ледниково-снеговым питанием. На долю ледникового и высокогорного (выше 3000 м) снегового питания приходится в восточной и южной частях бассейна около 38%, в юго-западной — 30% общего годового стока (табл. 13). В многоводные годы доля ледниково-снегового питания увеличивается соответственно до 40—45 и 35% общего стока. Снеговое и дождевое питание всех высотных зон левобережной части бассейна р. Талас составляет 24—31%, восточной — около 14% общего стока. В средние по водности годы на долю снегового питания левобережной и восточной частей бассейна на высотах ниже 3000 м приходится около 2—3%, в многоводные — 8—15% общего стока р. Талас.

Существенное значение в питании многих ледников и в общем регулировании стока восточной, северной и северо-западной частей бассейна имеет довольно развитая лавинная деятельность (табл. V, № 16).

По данным аэровизуальных обследований снегомерно-гидрографической партии УГМС КиргССР, в августе 1966 г. около одной трети ледников бассейна р. Каракол имело преимущественно лавинное питание, остальные ледники — незначительное лавинное питание. Конусы выноса многих лавин сохраняются до конца августа. В бассейне р. Асса (реки Консай, Аксай) четвертая часть ледников имеет преимущественно лавинное питание (рис. 12). Мощные конусы выноса лавин в годы с исключительной лавинной активностью (например, 1966 г.) не успевают стаять за летний период, оказывая таким образом большое влияние и на сток в последующие годы.

На долю грунтового питания в восточной части бассейна приходится около 48% общего годового стока, в северной и северо-западной частях — около 31—46%.

Следует иметь в виду, что все вышеприведенные данные о процентном соотношении стока относятся лишь к бассейнам притоков р. Талас. Естественно, что процентное соотношение составляющих стока для всего бассейна р. Талас иное.

Долина р. Талас, как и другие межгорные долины Тянь-Шаня, очень слабо участвует в про-

цессе стокообразования и скорее является областью рассеивания стока. Многолетний средний годовой модуль стока с горной части Таласского бассейна 7 л/сек км^2 , в долинной части — 2 л/сек км^2 .

На долю боковых притоков, питающих р. Талас, приходится 54 % всех водных ресурсов бассейна. На втором месте находится сток, приносимый самой рекой Талас в начале долины и

нию к стоку выделяются два периода времени и два участка долины: паводковый и беспаводковый, горный и прирусловый.

В горной зоне вследствие фильтрации в грунт происходит задержание третьей части стока притоков. Фильтрация протекает пропорционально размерам стока, вследствие чего этот процесс и приурочен главным образом к паводковому периоду.

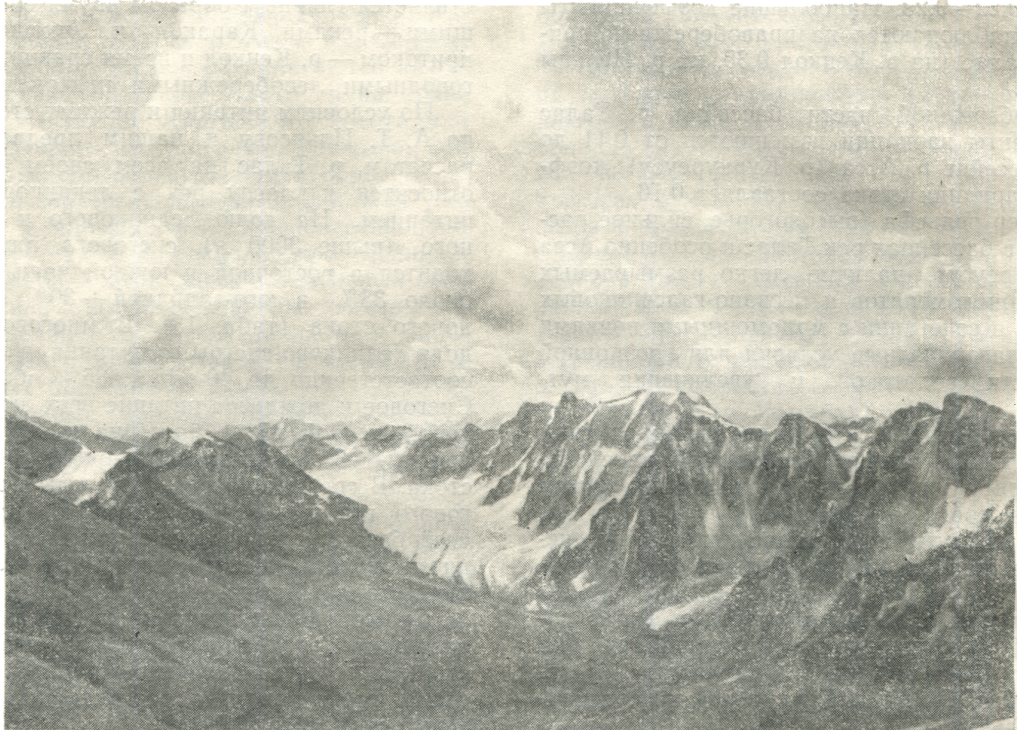


Рис. 12. Долинный ледник № 8, бассейн р. Коксай, с лавинным питанием со склонов восточной экспозиции. Фото А. Полякова.

составляющий 37% общих водных ресурсов долины. Сток, образуемый в контурах долины, доля которого составляет 9% общих ресурсов, больше всех остальных источников связан с современным состоянием его ирригационного использования в долине.

Сток по русской сети, помимо обычных изменений, вызванных впадением мелких притоков, отводом каналов или закономерностями общего режима стока, испытывает изменения во времени и по территории, обусловленные гидрологическими свойствами самой долины. По отноше-

Прирусовая зона представляет полосу сбора и возврата в русло р. Талас русловых и задержанных вод притоков и образовавшегося в долине стока. Этот возврат совершается значительно более равномерно во времени, чем процесс задержания стока в пригорной зоне.

В общем балансе руслового стока долины эти два процесса и два участка суммируются, результатом чего является эффект значительной сглаженности колебаний стока: заниженности паводкового стока и завышенности стока беспаводкового периода.

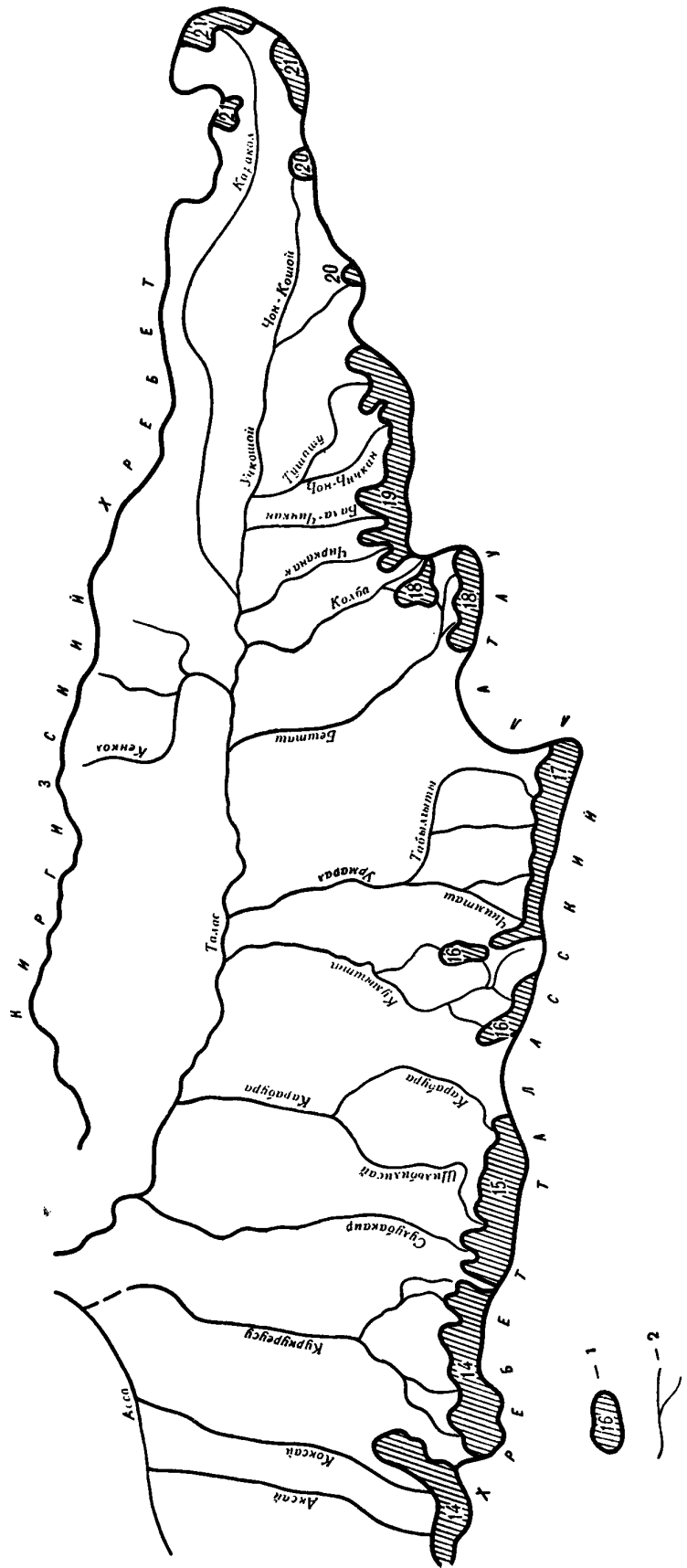


Рис. 13. Схема расположения ледниковых районов в бассейнах рек Асса и Талас. *J* — номер рисунка, содержащего схему расположения ледников в данном районе озеленения, 2 — реки.

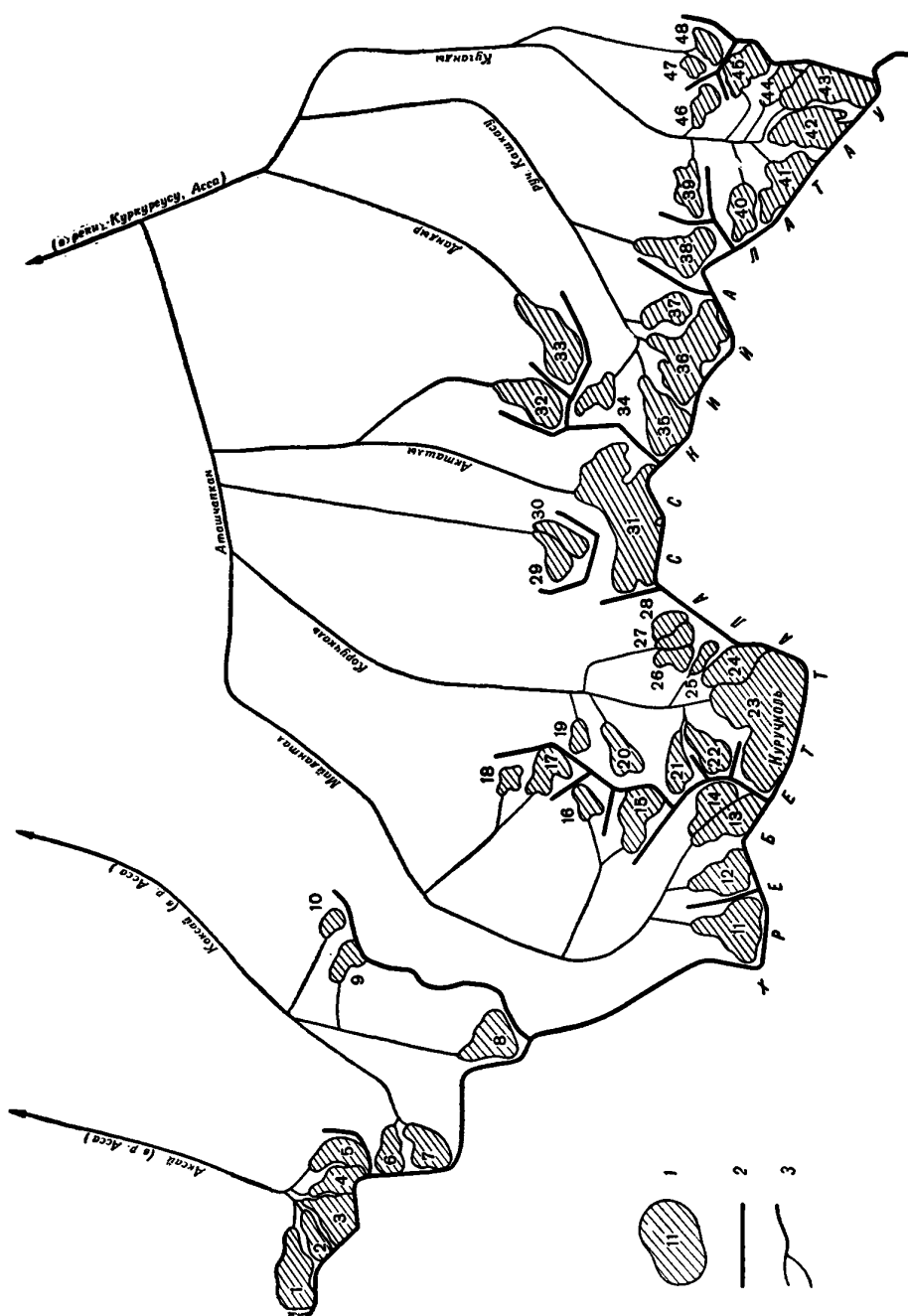


Рис. 14. Схема расположения ледников в бассейне р. Асса.
 1 — ледник, стоя границы и номер; 2 — водоразделы; 3 — реки.

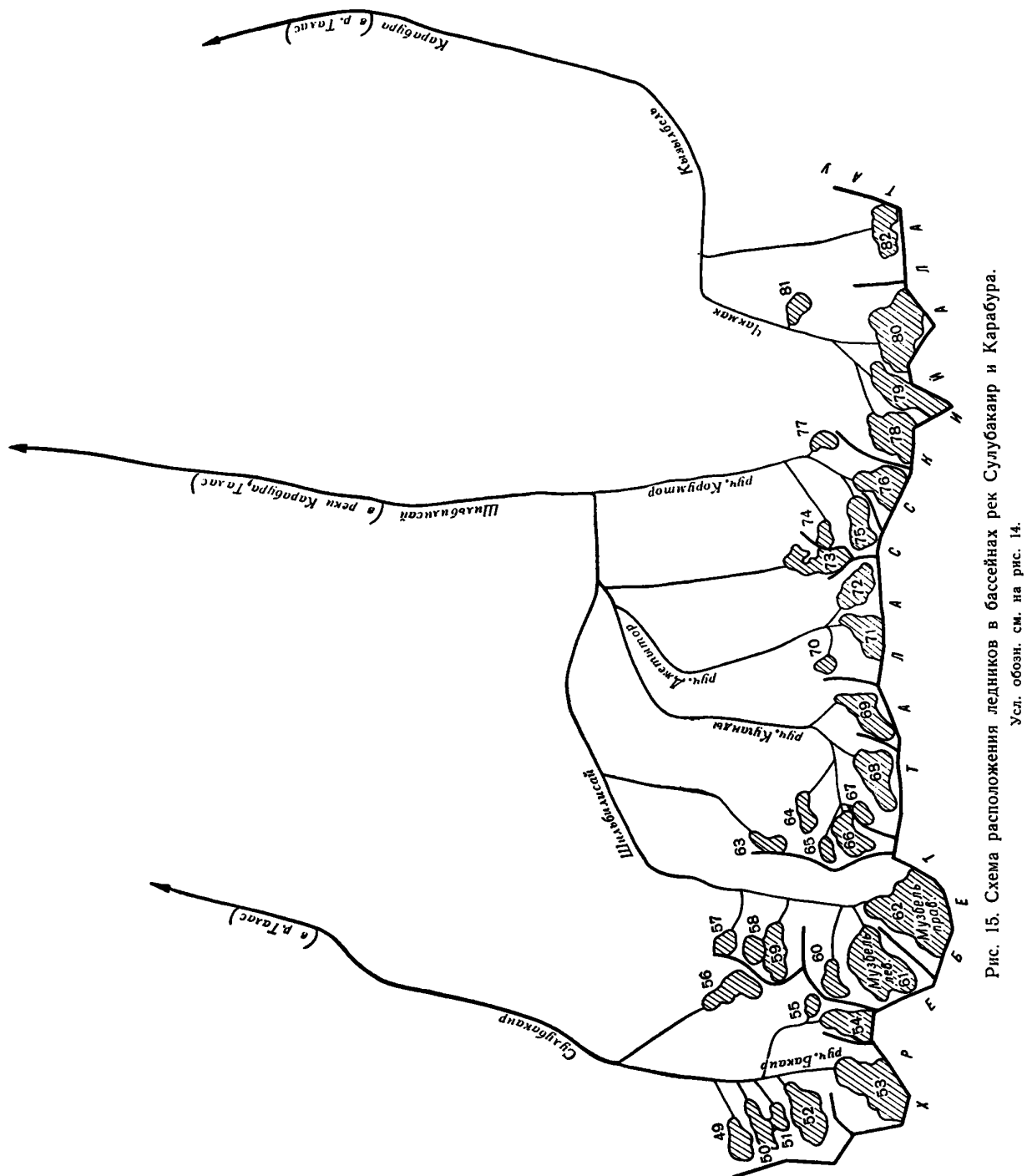


Рис. 15. Схема расположения ледников в бассейнах рек Сулубакир и Карабура.
Усл. обозн. см. на рис. 14.

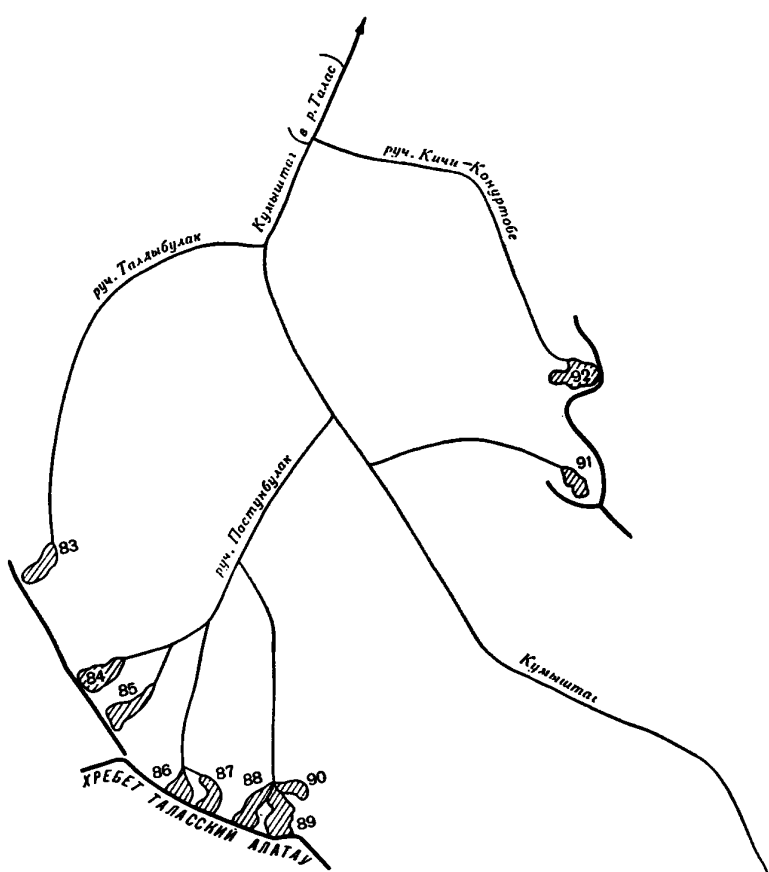


Рис. 16. Схема расположения ледников в бассейне р. Кумыштаг.
Усл. обозн. см. на рис. 14.

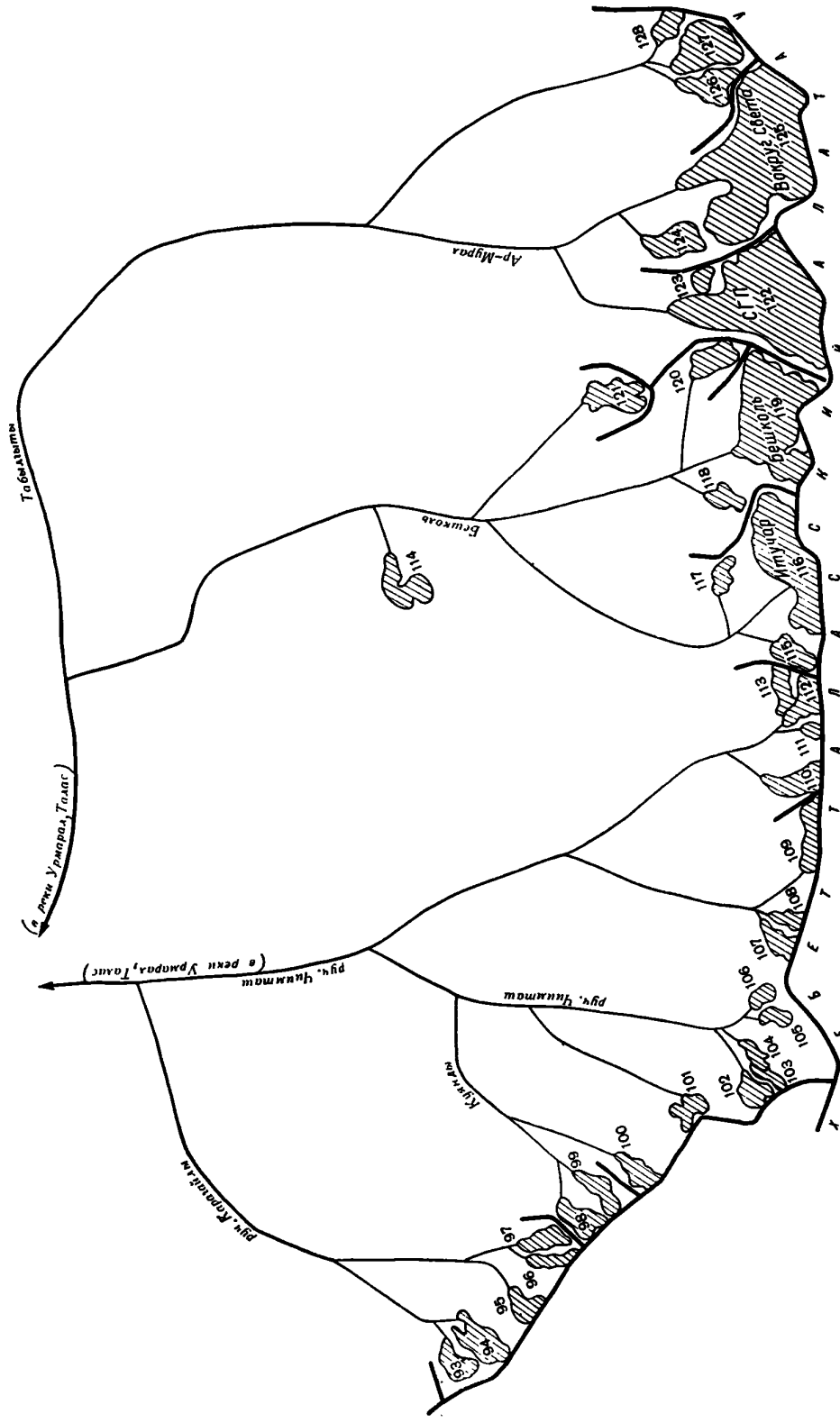


Рис. 17. Схема расположения ледников в бассейне р. Урмарал.
Усл. обозн. см. на рис. 14.

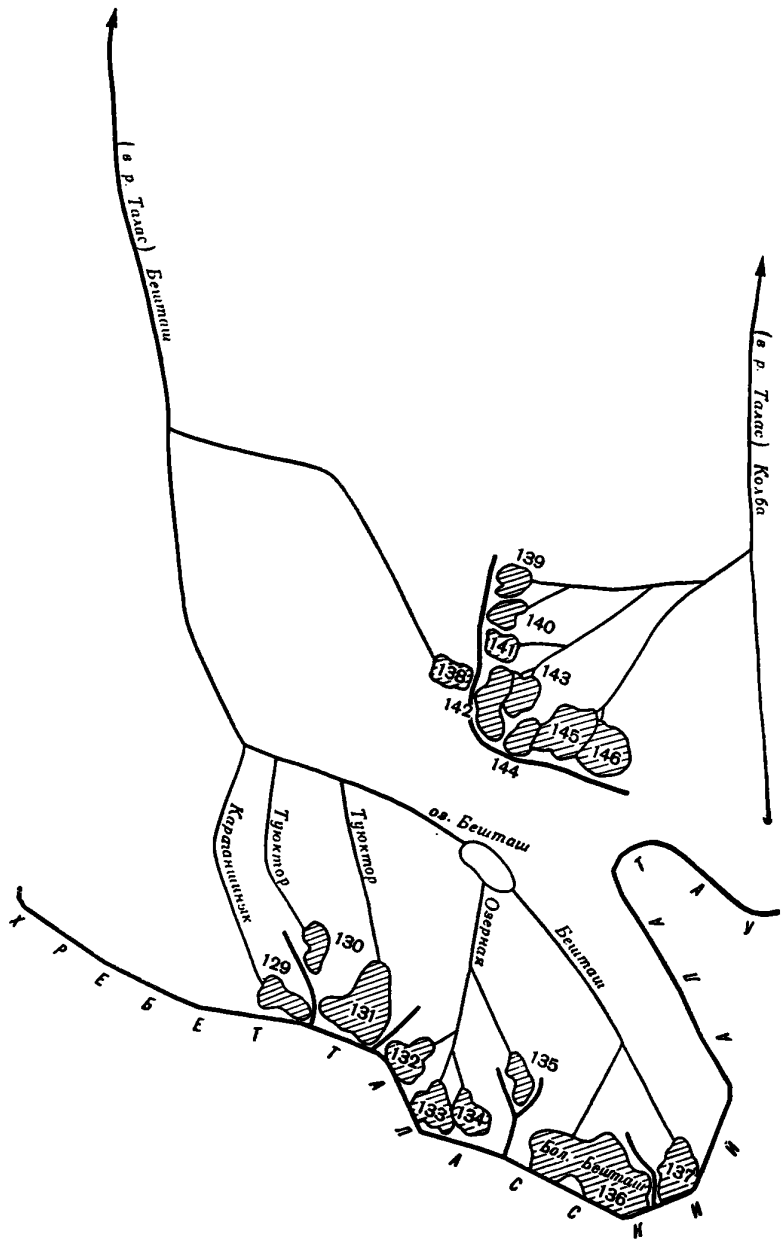


Рис. 18. Схема расположения ледников в бассейнах рек Бешташ и Колба.
Усл. обозн. см. на рис. 14.

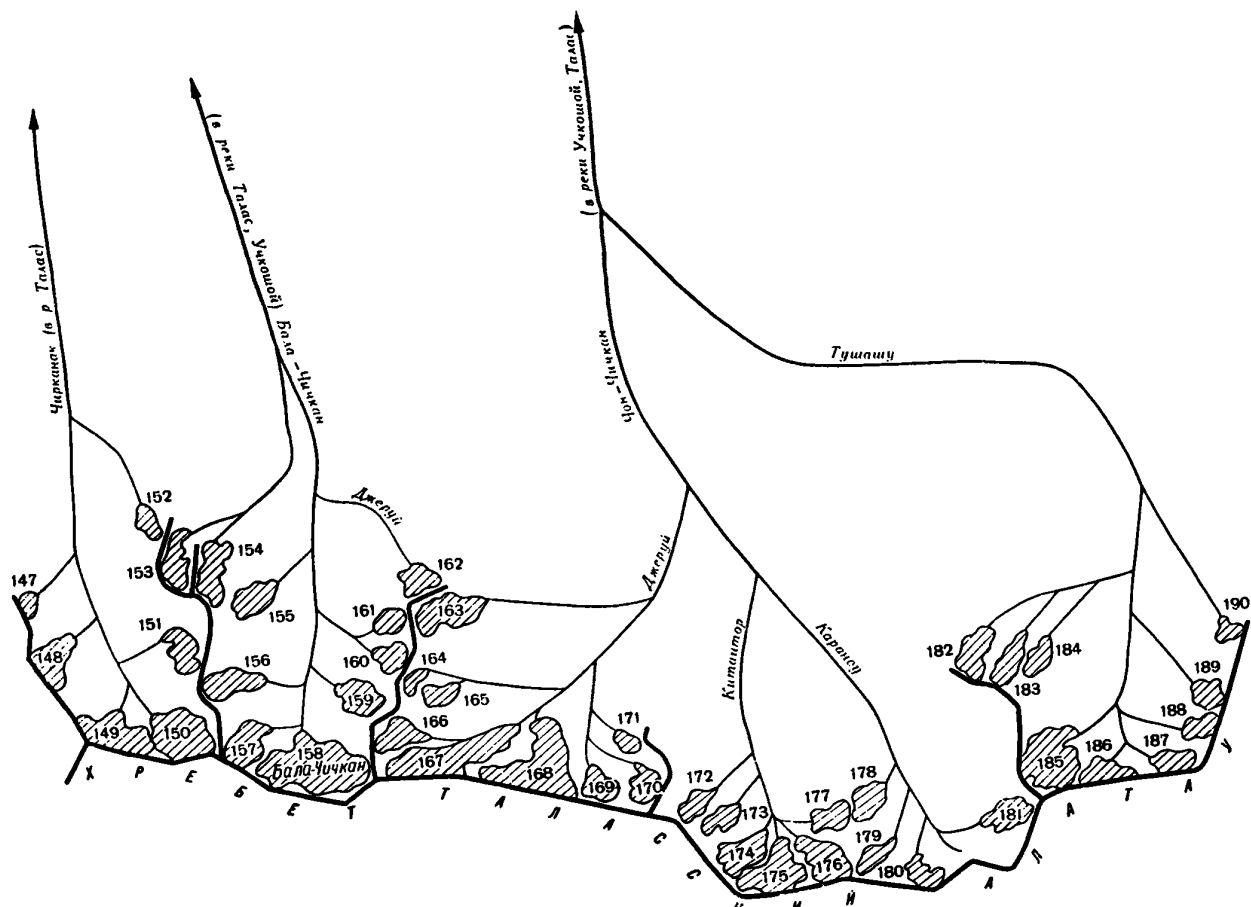


Рис. 19. Схема расположения ледников в бассейнах рек Чирканак, Бала-Чичкан и Тушашу.
Усл. обозн. см. на рис. 14.



Рис. 20. Схема расположения ледников в бассейне р. Учкошой.
Усл. обозн. см. на рис. 14.

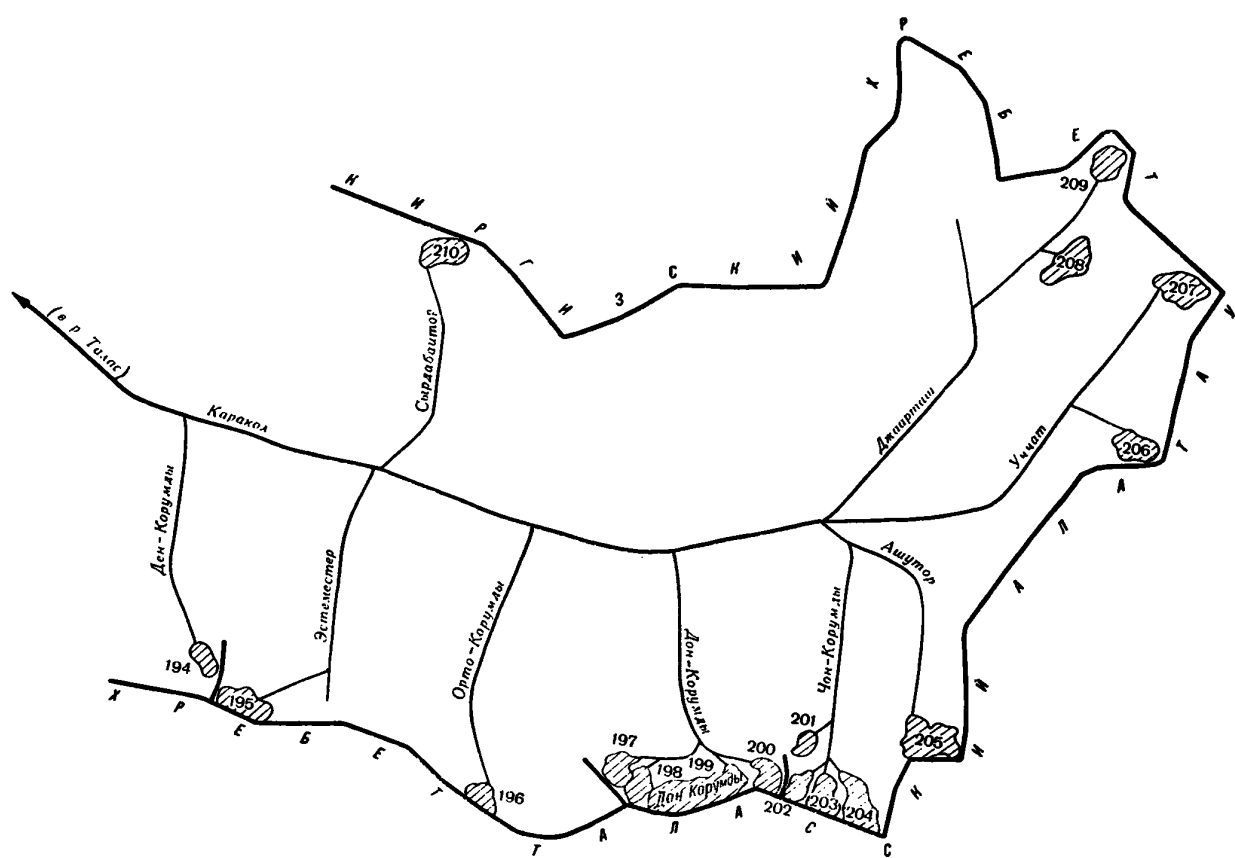


Рис. 21. Схема расположения ледников в бассейне р. Каракол.

Усл. обозн. см. на рис. 14.

ОСНОВНЫЕ ТАБЛИЦЫ КАТАЛОГА ЛЕДНИКОВ

ОСНОВНЫЕ СВЕДЕНИЯ

| № по схеме | Название | Название реки, вытекающей из ледника | Морфологический тип | Общая экспозиция | Наибольшая длина, км | | Площадь, км ² | |
|------------|----------|--------------------------------------|---------------------|------------------|----------------------|----------------------------|--------------------------|----------------------------|
| | | | | | всего ледника | в том числе открытой части | всего ледника | в том числе открытой части |
| 1 | 2 | 3 | 4 | 5 | 6 | 7 | 8 | 9 |

Бассейн

Бассейн р. Ак

Северный склон хребта

| | | | | | | | | |
|------------|-----|--------------|------|----|-----|---|-----|---|
| 1 | № 1 | пр. р. Аксай | дол. | СВ | 1,3 | ? | 1,0 | ? |
| 2 | № 2 | пр. р. Аксай | кар. | СВ | 0,5 | ? | 0,3 | ? |
| 3 | № 3 | пр. р. Аксай | дол. | СЗ | 1,0 | ? | 0,7 | ? |
| 4 | № 4 | пр. р. Аксай | дол. | С | 0,7 | ? | 0,2 | ? |
| 5 | № 5 | Аксай | кар. | С | 0,7 | ? | 0,2 | ? |
| 5 ледников | | | | | | | 2,4 | |

Кроме того, в бассейне р. Аксай имеется 3 ледника размерами менее 0,1 км² каждый, общей площадью 0,2 км²

Итого 8 ледников

Бассейн р. Кок

Северный склон хребта

| | | | | | | | | |
|------------|------|---------------|------|----|-----|---|-----|---|
| 6 | № 6 | пр. р. Коксай | кар. | СВ | 0,4 | ? | 0,2 | ? |
| 7 | № 7 | пр. р. Коксай | кар. | СВ | 0,7 | ? | 0,2 | ? |
| 8* | № 8 | Коксай | дол. | СВ | 0,7 | ? | 0,6 | ? |
| 9 | № 9 | пр. р. Коксай | кар. | СЗ | 0,4 | ? | 0,2 | ? |
| 10 | № 10 | пр. р. Коксай | кар. | СВ | 0,1 | ? | 0,3 | ? |
| 5 ледников | | | | | | | 1,5 | |

Кроме того, в бассейне р. Коксай имеется 7 ледников размерами менее 0,1 км² каждый, общей площадью 0,5 км²

Итого 12 ледников

Бассейн р. Аташчапкан

Северный склон хребта

| | | | | | | | | |
|------------|-----------|-------------------|-----------|----|-----|-----|------|------|
| 11 | № 11 | пр. р. Майдантал | дол. | С | 2,0 | 1,3 | 1,7 | 1,3 |
| 12 | № 12 | пр. р. Майдантал | дол. | С | 1,8 | 0,8 | 1,0 | 0,4 |
| 13* | № 13 | Майдантал | кар.-дол. | СЗ | 2,0 | 1,6 | 1,0 | 0,8 |
| 14* | № 14 | Майдантал | кар.-дол. | С3 | 1,8 | 1,3 | 0,8 | 0,6 |
| 15 | № 15 | пр. р. Майдантал | дол. | С3 | 1,7 | 1,6 | 0,9 | 0,6 |
| 16* | № 16 | пр. р. Майдантал | кар.-вис. | С3 | 0,8 | 0,6 | 0,2 | 0,2 |
| 17 | № 17 | пр. р. Майдантал | дол. | С3 | 1,6 | 1,0 | 0,6 | 0,3 |
| 18 | № 18 | пр. р. Майдантал | кар.-вис. | С | 0,5 | 0,5 | 0,2 | 0,2 |
| 19 | № 19 | пр. р. Куручколь | вис.-дол. | В | 0,9 | 0,9 | 0,2 | 0,2 |
| 20 | № 20 | пр. р. Куручколь | вис.-дол. | СВ | 1,5 | 1,2 | 0,5 | 0,4 |
| 21 | № 21 | пр. р. Куручколь | кар. | В | 1,0 | 1,0 | 0,4 | 0,4 |
| 22 | № 22 | пр. р. Куручколь | кар.-дол. | СВ | 1,6 | 1,4 | 0,7 | 0,6 |
| 23 | Куручколь | Куручколь | котл. | С | 3,2 | 3,2 | 3,8 | 3,8 |
| 24 | | пр. р. Куручколь | кар.-дол. | С3 | 1,8 | 1,0 | 0,9 | 0,4 |
| 25* | № 25 | пр. р. Куручколь | кул. | С3 | 1,1 | 0,8 | 0,2 | 0,2 |
| 26 | № 26 | пр. р. Куручколь | кар.-вис. | С3 | 0,9 | 0,4 | 0,4 | 0,2 |
| 27 | № 27 | пр. р. Куручколь | кар.-вис. | С3 | 1,1 | 0,9 | 0,4 | 0,3 |
| 28 | № 28 | пр. р. Куручколь | кар.-вис. | С3 | 1,0 | 0,8 | 0,4 | 0,3 |
| 29 | № 29 | пр. р. Аташчапкан | кар.-дол. | СВ | 1,2 | 0,7 | 0,4 | 0,3 |
| 30 | № 30 | пр. р. Аташчапкан | кар.-дол. | С | 1,1 | 0,8 | 0,4 | 0,2 |
| 31 | № 31 | руч. Акташлы | котл. | С | 3,3 | 1,8 | 3,6 | 3,1 |
| 32 | № 32 | пр. р. Акташлы | кар.-дол. | С | 2,0 | 1,6 | 1,8 | 1,3 |
| 22 ледника | | | | | | | 20,5 | 16,1 |

Кроме того, в бассейне р. Аташчапкан имеется 19 ледников размерами менее 0,1 км² каждый, общей площадью 1,1 км²

Итого 41 ледник

НИЯ О ЛЕДНИКАХ

ТАБЛИЦА I

| Высота, м | | | Фирновая линия | | Площадь области аблации, км ² | | Ссылки на последующие таблицы (иллюстрации) | |
|----------------------------|-------------------------------------|----------------------|----------------|---------------------------|--|----------------------------|---|---|
| нижней точки конца ледника | нижней точки открытой части ледника | высшей точки ледника | высота, м | способ определения и дата | общая | в том числе открытой части | | № таблиц и иллюстраций порядковые № сведений в таблицах |
| 10 | 11 | 12 | 13 | 14 | 15 | 16 | 17 | 18 |

р. Acca

сай (р. Acca) *

Таласский Алатау

| | | | | | | | | |
|------|---|------|--|--|--|--|--|---------------|
| 3420 | ? | 3840 | | | | | | IV/9; рис. 10 |
| 3600 | ? | 3760 | | | | | | IV/9; рис. 3 |
| 3420 | ? | 3550 | | | | | | IV/9; рис. 11 |
| 3460 | ? | 3600 | | | | | | IV/9 |
| 3440 | ? | 3600 | | | | | | IV/9 |

сай (р. Acca) *

Таласский Алатау

| | | | | | | | | |
|------|---|------|--|--|--|--|--|---------------|
| 3400 | ? | 3600 | | | | | | IV/9 |
| 3320 | ? | 3540 | | | | | | IV/9 |
| 3320 | ? | 3540 | | | | | | IV/9; рис. 12 |
| 3630 | ? | 3920 | | | | | | IV/9 |
| 3440 | ? | 3820 | | | | | | IV/9 |

(р. Куркуреусу, р. Acca)

Таласский Алатау

| | | | | | | | | |
|------|------|------|------|-------------------|-----|-----|--|--|
| 3340 | 3530 | 3900 | 3650 | АФС 11/VIII-57 г. | 1,0 | 0,4 | | IV/1, 2, 7, 9; V/11, 12, 15, 21; рис. 28 |
| 3320 | 3500 | 3700 | 3540 | АФС 11/VIII-57 г. | 0,7 | 0,2 | | IV/1, 2, 7, 9; V/11, 12, 15, 22 |
| 3370 | 3440 | 4160 | 3670 | АФС 11/VIII-57 г. | 0,4 | 0,3 | | IV/1, 2, 7; V/11, 12, 15, 22; рис. 24 |
| 3380 | 3520 | 4000 | 3740 | АФС 11/VIII-57 г. | 0,4 | 0,3 | | IV/8; рис. 24 |
| 3500 | 3520 | 3800 | 3670 | АФС 11/VIII-57 г. | 0,5 | 0,3 | | IV/8 |
| 3550 | 3600 | 3700 | 3640 | АФС 11/VIII-57 г. | 0,1 | 0,1 | | IV/9 |
| 3440 | 3560 | 3760 | 3650 | АФС 11/VIII-57 г. | 0,4 | 0,1 | | IV/9 |
| 3550 | 3550 | 3720 | 3620 | АФС 11/VIII-57 г. | 0,1 | 0,1 | | IV/9 |
| 3380 | 3380 | 3600 | 3490 | АФС 11/VIII-57 г. | 0,1 | 0,1 | | IV/9 |
| 3280 | 3320 | 3500 | 3420 | АФС 11/VIII-57 г. | 0,2 | 0,1 | | IV/9 |
| 3450 | 3450 | 3660 | 3520 | АФС 11/VIII-57 г. | 0,1 | 0,1 | | IV/9 |
| 3320 | 3370 | 3900 | 3540 | АФС 11/VIII-57 г. | 0,1 | 0,1 | | IV/9; рис. 25 |
| 3280 | 3280 | 4160 | 3480 | АФС 11/VIII-57 г. | 1,0 | 1,0 | | IV/8; рис. 8, 9, 26 |
| 3300 | 3540 | 3700 | 3620 | АФС 30/IX-57 г. | 0,7 | 0,2 | | |
| 3500 | 3650 | 4040 | 3850 | АФС 30/IX-57 г. | 0,1 | 0,1 | | IV/1, 2; V/12, 15, 22 |
| 3560 | 3640 | 3800 | | | | | | IV/1, 2; V/12, 15, 22 |
| 3580 | 3620 | 3950 | | | | | | IV/1, 2; V/12, 15, 22 |
| 3600 | 3640 | 4000 | | | | | | IV/1, 2; V/12, 15, 22 |
| 3680 | 3800 | 4200 | | | | | | IV/1, 2; V/12, 15, 22 |
| 3680 | 3750 | 4000 | | | | | | |
| 3570 | 3680 | 4250 | 3800 | АФС 30/IX-57 г. | 2,1 | 1,8 | | IV/9 |
| 3480 | 3500 | 4350 | 3640 | АФС 30/IX-57 г. | 0,8 | 0,3 | | IV/9 |

| № по схеме | Название | Название реки, вытекающей из ледника | Морфологический тип | Общая экспозиция | Наибольшая длина, км | | Площадь, км² | |
|------------|----------|--------------------------------------|---------------------|------------------|----------------------|----------------------------|---------------|----------------------------|
| | | | | | всего ледника | в том числе открытой части | всего ледника | в том числе открытой части |
| 1 | 2 | 3 | 4 | 5 | 6 | 7 | 8 | 9 |

**Бассейн руч. Кашкасу (р. Куганды,
Северный склон хребта**

| | | | | | | | | |
|-------------------|------|----------------|-----------|----|-----|-----|-------------|------------|
| 33 | № 33 | р. Дандыр | кар.-дол. | СВ | 2,4 | 1,4 | 2,5 | 1,5 |
| 34 | № 34 | пр. р. Кашкасу | кул. | ЮВ | 1,3 | 0,6 | 0,3 | 0,2 |
| 35 | № 35 | пр. р. Кашкасу | кар.-дол. | СВ | 2,1 | 1,1 | 2,1 | 1,2 |
| 36 | № 36 | руч. Кашкасу | кар.-дол. | С | 2,9 | 1,1 | 3,8 | 1,9 |
| 37 | № 37 | пр. р. Кашкасу | кар.-вис. | С | 1,9 | 0,8 | 0,6 | 0,2 |
| 38 | № 38 | пр. р. Кашкасу | кар.-дол. | С | 2,1 | 1,2 | 0,9 | 0,5 |
| 6 ледников | | | | | | | 10,2 | 5,5 |

**Бассейн р. Куганды
Северный склон хребта**

| | | | | | | | | |
|--------------------|------|----------------|----------------|----|-----|-----|------------|------------|
| 39 | № 39 | пр. р. Куганды | присклон.-кар. | В | 1,1 | 1,0 | 0,3 | 0,2 |
| 40 | № 40 | пр. р. Куганды | кар. | СВ | 1,3 | 0,9 | 0,7 | 0,5 |
| 41 | № 41 | пр. р. Куганды | кар.-вис. | СВ | 1,1 | 0,7 | 0,9 | 0,6 |
| 42* | № 42 | Куганды | кар.-дол. | С | 2,0 | 1,1 | 1,5 | 0,6 |
| 43* | № 43 | Куганды | кар.-дол. | С | 3,0 | 2,6 | 2,2 | 1,8 |
| 44 | № 44 | пр. р. Куганды | вис. | С | 1,3 | 1,1 | 0,4 | 0,3 |
| 45 | № 45 | пр. р. Куганды | кар. | СЗ | 1,6 | 1,4 | 0,8 | 0,7 |
| 46 | № 46 | пр. р. Куганды | кар.-вис. | СЗ | 0,9 | 0,5 | 0,3 | 0,1 |
| 47* | № 47 | пр. р. Куганды | вис. | С | 0,6 | 0,2 | 0,1 | 0,1 |
| 48 | № 48 | пр. р. Куганды | кар. | СЗ | 0,4 | 0,3 | 0,2 | 0,1 |
| 10 ледников | | | | | | | 7,4 | 5,0 |

Кроме того, в бассейне р. Куганды имеется 2 ледника размерами менее 0,1 км² каждый, общей площадью 0,2 км²
Итого 12 ледников

Всего по бассейну р. Асса 79 ледников сбщей площадью 44 км² (из них 11,5 км² покрыто моренами): в том числе: 48

БАССЕЙН

**Бассейн р. Сулу
Северный склон хребта**

| | | | | | | | | |
|-------------------|------|---------------|----------------|----|-----|-----|-------------|------------|
| 49 | № 49 | пр. р. Бакаир | кар. | СВ | 1,8 | 0,8 | 0,8 | 0,3 |
| 50 | № 50 | пр. р. Бакаир | присклон.-кар. | СВ | 1,9 | 1,2 | 0,6 | 0,3 |
| 51 | № 51 | пр. р. Бакаир | кар. | СВ | 0,5 | 0,5 | 0,3 | 0,3 |
| 52 | № 52 | пр. р. Бакаир | кар. | СВ | 2,0 | 1,5 | 1,7 | 1,0 |
| 53 | № 53 | руч. Бакаир | кар.-дол. | С | 2,8 | 2,1 | 3,2 | 2,3 |
| 54 | № 54 | пр. р. Бакаир | кар.-дол. | С3 | 3,2 | 1,8 | 2,2 | 1,3 |
| 55* | № 55 | пр. р. Бакаир | вис. | С | 0,5 | 0,3 | 0,2 | 0,2 |
| 56 | № 56 | пр. р. Бакаир | кар.-дол. | С3 | 2,2 | 1,0 | 1,1 | 0,5 |
| 8 ледников | | | | | | | 10,1 | 6,2 |

Кроме того, в бассейне р. Сулубакаир имеется 2 ледника размерами менее 0,1 км² каждый общей площадью 0,2 км²
Итого 10 ледников

**Бассейн р. Шильбилисай
Северный склон хребта**

| | | | | | | | | |
|----|---------------|--------------------|-----------|----|-----|-----|-----|-----|
| 57 | № 57 | пр. р. Шильбилисай | вис. | В | 0,6 | 0,6 | 0,3 | 0,3 |
| 58 | № 58 | пр. р. Шильбилисай | кар.-вис. | ЮВ | 1,0 | 0,8 | 0,4 | 0,2 |
| 59 | № 59 | пр. р. Шильбилисай | кар. | СВ | 1,1 | 0,4 | 1,0 | 0,7 |
| 60 | № 60 | пр. р. Шильбилисай | кар.-вис. | В | 1,4 | 1,0 | 0,5 | 0,3 |
| 61 | Музбель лев. | Шильбилисай | вис.-дол. | СВ | 2,5 | 1,7 | 3,1 | 2,4 |
| 62 | Музбель прав. | Шильбилисай | кар. | С | 3,2 | 2,1 | 3,6 | 2,3 |
| 63 | № 63 | пр. р. Шильбилисай | вис.-дол. | С | 1,3 | 1,1 | 0,4 | 0,3 |
| 64 | № 64 | пр. р. Куганды | кар. | В | 1,3 | 0,6 | 0,4 | 0,1 |

| Высота, м | | | Фирновая линия | | Площадь области аблации, км ² | | Ссылки на последующие таблицы (иллюстрации) № таблиц и иллюстраций порядковые № сведений в таблицах | Объем льда, км ³ | 18 |
|----------------------------|-------------------------------------|----------------------|----------------|---------------------------|--|----------------------------|--|-----------------------------|----|
| нижней точки конца ледника | нижней точки открытой части ледника | высшей точки ледника | высота, м | способ определения и дата | общая | в том числе открытой части | | | |
| 10 | 11 | 12 | 13 | 14 | 15 | 16 | 17 | | 18 |

р. Куркуреусу, р. Асса)

Таласский Алатау

| | | | | | | | | | |
|------|------|------|------|-----------------|-----|-----|--|--|------|
| 3380 | 3600 | 3950 | 3720 | АФС 30/IX-57 г. | 1,4 | 0,5 | | | |
| 3600 | 3760 | 4000 | 3880 | АФС 30/IX-57 г. | 0,2 | 0,1 | | | |
| 3460 | 3600 | 3700 | 3640 | АФС 30/IX-57 г. | 1,7 | 0,7 | | | |
| 3320 | 3560 | 4000 | 3680 | АФС 30/IX-57 г. | 2,9 | 1,1 | | | |
| 3260 | 3460 | 3900 | | | | | | | |
| 3320 | 3480 | 3800 | 3640 | АФС 30/IX-57 г. | 0,6 | 0,2 | | | IV/8 |

(р. Куркуреусу, р. Асса)

Таласский Алатау

| | | | | | | | | | |
|------|------|------|------|-----------------|-----|-----|--|--|------|
| 3380 | 3460 | 3750 | 3640 | АФС 30/IX-57 г. | 0,5 | 0,3 | | | |
| 3500 | 3580 | 3800 | 3640 | АФС 30/IX-57 г. | 0,7 | 0,3 | | | |
| 3380 | 3600 | 3700 | 3640 | АФС 30/IX-57 г. | 1,2 | 0,3 | | | IV/8 |
| 3360 | 3520 | 3840 | 3600 | АФС 30/IX-57 г. | 0,6 | 0,2 | | | IV/8 |
| 3440 | 3600 | 4160 | 3720 | АФС 30/IX-57 г. | 0,2 | 0,2 | | | IV/9 |
| 3520 | 3600 | 3920 | 3700 | АФС 30/IX-57 г. | 0,3 | 0,2 | | | IV/9 |
| 3720 | 3760 | 4060 | 3780 | АФС 30/IX-57 г. | 0,2 | 0,1 | | | IV/9 |
| 3360 | 3580 | 3960 | 3800 | АФС 30/IX-57 г. | 0,1 | 0,1 | | | |
| 3560 | 3760 | 3800 | | | | | | | |
| 3640 | 3680 | 3800 | 3720 | АФС 30/IX-57 г. | | | | | |

ледников размерами более 0,1 км², общей площадью 42,0 км² и 31 ледник размерами менее 0,1 км², общей площадью 2,0 км²

р. ТАЛАС

бакайр (р. Талас)

Таласский Алатау

| | | | | | | | | | |
|------|------|------|------|-----------------|-----|-----|--|--|------|
| 3360 | 3640 | 3940 | 3720 | АФС 30/IX-57 г. | 0,3 | 0,2 | | | |
| 3500 | 3620 | 3960 | | | | | | | |
| 3760 | 3760 | 3960 | | | | | | | |
| 3520 | 3600 | 3960 | | | | | | | |
| 3600 | 3700 | 4120 | | | | | | | |
| 3500 | 3640 | 4140 | | | | | | | |
| 3800 | 3880 | 4160 | 3950 | АФС 30/IX-57 г. | 0,1 | 0,1 | | | IV/8 |
| 3400 | 3600 | 4320 | 3800 | АФС 30/IX-57 г. | 0,9 | 0,3 | | | IV/8 |

Рис. 27

(р. Карабура, р. Талас)

Таласский Алатау

| | | | | | | | | | |
|------|------|------|--|--|--|--|--|--|--|
| 4000 | 4000 | 4100 | | | | | | | |
| 3840 | 4040 | 4160 | | | | | | | |
| 3800 | 3920 | 4200 | | | | | | | |
| 3800 | 3960 | 4200 | | | | | | | |
| 3640 | 3940 | 4350 | | | | | | | |
| 3450 | 3650 | 4400 | | | | | | | |
| 3760 | 3840 | 4300 | | | | | | | |
| 3550 | 3720 | 3960 | | | | | | | |

IV/8

IV/8

| № по схеме | Название | Название реки, вытекающей из ледника | Морфологический тип | Общая экспозиция | Наибольшая длина, км | | Площадь, км ² | |
|--|----------------|--------------------------------------|---------------------|------------------|----------------------|----------------------------|--------------------------|----------------------------|
| | | | | | всего ледника | в том числе открытой части | всего ледника | в том числе открытой части |
| 1 | 2 | 3 | 4 | 5 | 6 | 7 | 8 | 9 |
| 65 | № 65 | пр. р. Куганды | вис. | В | 0,9 | 0,7 | 0,2 | 0,1 |
| 66 | Куганды лев. | пр. р. Куганды | кар.-дол. | СВ | 1,7 | 1,1 | 0,8 | 0,4 |
| 67 | № 67 | пр. р. Куганды | вис. | СВ | 1,1 | 0,4 | 0,3 | 0,1 |
| 68* | Куганды центр. | руч. Куганды | кар.-дол. | СВ | 2,0 | 1,0 | 1,3 | 0,5 |
| 69 | Куганды прав. | пр. р. Куганды | кар.-дол. | С | 1,7 | 0,8 | 1,1 | 0,5 |
| 70* | № 70 | пр. р. Джетытор | кар.-вис. | ЮВ | 0,5 | 0,3 | 0,1 | 0,1 |
| 71 | № 71 | руч. Джетытор | кар.-вис. | С | 1,3 | 0,6 | 1,0 | 0,7 |
| 72 | № 72 | пр. р. Джетытор | кар.-вис. | СЗ | 1,9 | 1,3 | 0,7 | 0,5 |
| 73 | № 73 | пр. р. Куганды | кар.-дол. | С | 2,2 | 1,1 | 1,2 | 0,7 |
| 74* | № 74 | пр. р. Корумтор | вис. | В | 0,6 | 0,5 | 0,2 | 0,2 |
| 75 | № 75 | пр. р. Корумтор | вис.-кар. | СВ | 1,9 | 1,0 | 0,6 | 0,3 |
| 76 | Корумтор лев. | руч. Корумтор | кар.-дол. | С | 2,2 | 1,6 | 1,0 | 0,7 |
| 77 | Корумтор прав. | пр. р. Корумтор | кар.-дол. | СЗ | 1,1 | 0,6 | 0,3 | 0,2 |
| | 21 ледник | | | | | | 18,5 | 11,6 |
| Кроме того, в бассейне р. Шильбилисай имеется 2 ледника размерами менее 0,1 км ² каждый, общей площадью 0,2 км ² | | | | | | | | |
| Итого 23 ледника | | | | | | | | |
| | | | | | | | 18,7 | |

Бассейн р. Чакмак (р. Кызыл)
Северный склон хребта

| | | | | | | | | |
|----|------------|---------------|-----------|----|-----|-----|-----|-----|
| 78 | № 78 | пр. р. Чакмак | кар.-дол. | СВ | 1,4 | 0,9 | 1,5 | 0,7 |
| 79 | № 79 | пр. р. Чакмак | кар.-дол. | СВ | 2,6 | 1,2 | 1,7 | 0,7 |
| 80 | № 80 | Чакмак | кар. | С3 | 2,1 | 1,3 | 2,2 | 1,1 |
| 81 | № 81 | пр. р. Чакмак | кар. | С3 | 1,6 | 0,7 | 0,5 | 0,3 |
| 82 | № 82 | пр. р. Чакмак | кар. | С | 0,9 | 0,2 | 0,6 | 0,3 |
| | 5 ледников | | | | | | 6,5 | 3,1 |

Бассейн р. Кумыш
Северный склон хребта

| | | | | | | | | |
|-----|--------------|---------------------|-----------|----|-----|-----|-----|-----|
| 83 | № 83 | руч. Талдыбулак | кар. | СВ | 0,9 | 0,4 | 0,2 | 0,1 |
| 84 | № 84 | пр. р. Постунбулак | кар. | В | 1,0 | 0,3 | 0,4 | 0,1 |
| 85 | № 85 | пр. р. Постунбулак | кар. | СВ | 1,3 | 0,6 | 0,4 | 0,2 |
| 86* | № 86 | пр. р. Постунбулак | вис. | С | 0,6 | 0,4 | 0,2 | 0,2 |
| 87 | № 87 | пр. р. Постунбулак | кар.-вис. | С | 1,0 | 1,0 | 0,2 | 0,2 |
| 88 | № 88 | руч. Постунбулак | кар. | СВ | 1,8 | 0,8 | 0,5 | 0,3 |
| 89 | № 89 | руч. Постунбулак | кар. | С | 1,4 | 0,9 | 0,6 | 0,5 |
| 90* | № 90 | руч. Постунбулак | кар. | С3 | 0,6 | 0,5 | 0,2 | 0,2 |
| 91 | № 91 | пр. р. Кумыштаг | кар. | С3 | 0,8 | 0,7 | 0,2 | 0,1 |
| 92 | Кумыштагский | руч. Кичи-Конуртобе | кар. | С3 | 0,6 | 0,6 | 0,4 | 0,4 |
| | 10 ледников | | | | | | 3,3 | 2,3 |

Кроме того, в бассейне р. Кумыштаг имеется 1 ледник размером менее 0,1 км²

Итого 11 ледников

Бассейн р. Урма
Северный склон хребта

| | | | | | | | | |
|-----|-------|------------------|-----------|----|-----|-----|-----|-----|
| 93 | № 93 | пр. р. Карагайлы | кар. | СВ | 1,1 | 0,5 | 0,3 | 0,1 |
| 94 | № 94 | руч. Карагайлы | кар. | СВ | 1,7 | 1,0 | 1,0 | 0,6 |
| 95 | № 95 | пр. р. Карагайлы | кар.-вис. | СВ | 0,7 | 0,5 | 0,3 | 0,1 |
| 96 | № 96 | пр. р. Карагайлы | кар. | С | 1,5 | 0,5 | 0,4 | 0,1 |
| 97 | № 97 | пр. р. Карагайлы | кар. | С | 1,3 | 0,6 | 0,7 | 0,4 |
| 98 | № 98 | Куянды | кар. | СВ | 1,4 | 1,0 | 0,8 | 0,6 |
| 99 | № 99 | пр. р. Куянды | кар. | СВ | 1,4 | 0,6 | 0,5 | 0,3 |
| 100 | № 100 | пр. р. Куянды | кар.-вис. | СВ | 0,8 | 0,5 | 0,4 | 0,3 |
| 101 | № 101 | пр. р. Чиишташ | кар.-вис. | С | 0,8 | 0,6 | 0,4 | 0,3 |

| Высота, м | | | Фирновая линия | | Площадь области аблации, км ² | | Ссылки на последующие таблицы (иллюстрации) № таблиц и иллюстраций порядковые № сведений в таблицах | |
|-------------------------------|--|----------------------|----------------|---------------------------|--|----------------------------|---|------|
| найменшей точки конца ледника | найменшей точки открытой части ледника | высшей точки ледника | высота, м | способ определения и дата | общая | в том числе открытой части | Объем льда, км ³ | |
| 10 | 11 | 12 | 13 | 14 | 15 | 16 | 17 | 18 |
| 3840 | 3860 | 4000 | | | | | | IV/9 |
| 3600 | 3820 | 4000 | | | | | | IV/9 |
| 3650 | 3860 | 3940 | | | | | | IV/9 |
| 3300 | 3420 | 3840 | | | | | | |
| 3280 | 3540 | 3840 | | | | | | |
| 3720 | 3760 | 3800 | | | | | | |
| 3460 | 3560 | 3800 | | | | | | |
| 3440 | 3520 | 3800 | | | | | | |
| 3400 | 3660 | 4080 | | | | | | |
| 3680 | 3720 | 3960 | | | | | | |
| 3400 | 3650 | 3920 | | | | | | |
| 3350 | 3460 | 4000 | | | | | | |
| 3600 | 3700 | 3900 | | | | | | IV/9 |

бель, р. Карабура, р. Талас)

Таласский Алатау

| | | | | | | | | |
|------|------|------|------|-----------------|-----|-----|--|------|
| 3560 | 3720 | 3960 | | | | | | IV/8 |
| 3280 | 3660 | 4120 | | | | | | IV/8 |
| 3280 | 3480 | 4200 | | | | | | IV/8 |
| 3000 | 3250 | 3400 | | | | | | |
| 3360 | 3560 | 3640 | 3600 | АФС 30/IX-57 г. | 0,5 | 0,2 | | IV/8 |

таг (р. Талас)

Таласский Алатау

| | | | | | | | | |
|------|------|------|------|-----------------|-----|-----|--|------|
| 3430 | 3540 | 3800 | | | | | | IV/9 |
| 3360 | 3600 | 3840 | | | | | | IV/9 |
| 3360 | 3490 | 3850 | | | | | | IV/9 |
| 3450 | 3530 | 3740 | | | | | | |
| 3570 | 3570 | 3920 | | | | | | IV/9 |
| 3330 | 3520 | 3760 | | | | | | IV/9 |
| 3480 | 3530 | 3860 | | | | | | IV/9 |
| 3320 | 3360 | 3650 | | | | | | IV/9 |
| 3530 | 3610 | 3880 | | | | | | |
| 3740 | 3740 | 4250 | 3920 | АФС 30/IX-57 г. | 0,1 | 0,1 | | IV/9 |

рал (р. Талас)

Таласский Алатау

| | | | | | | | | |
|------|------|------|------|-----------------|-----|-----|--|------|
| 3420 | 3540 | 3780 | | | | | | IV/8 |
| 3280 | 3520 | 3890 | 3720 | АФС 30/IX-57 г. | 0,7 | 0,3 | | IV/8 |
| 3490 | 3660 | 3730 | | | | | | IV/8 |
| 3360 | 3570 | 3850 | | | | | | |
| 3330 | 3520 | 3840 | | | | | | |
| 3520 | 3650 | 3930 | 3730 | АФС 30/IX-57 г. | 0,4 | 0,2 | | IV/8 |
| 3360 | 3530 | 3880 | | | | | | IV/8 |
| 3480 | 3630 | 3810 | | | | | | |
| 3450 | 3530 | 3680 | | | | | | IV/8 |

| № по схеме | Название | Название реки, вытекающей из ледника | Морфологический тип | Общая экспозиция | Наибольшая длина, км | | Площадь, км² | | | |
|--|-----------|--------------------------------------|---------------------|------------------|----------------------|----------------------------|---------------|----------------------------|--|--|
| | | | | | всего ледника | в том числе открытой части | всего ледника | в том числе открытой части | | |
| 1 | 2 | 3 | 4 | 5 | 6 | 7 | 8 | 9 | | |
| 102 | № 102 | пр. р. Чимташ | кар. | СВ | 1,1 | 0,6 | 0,5 | 0,3 | | |
| 103 | № 103 | пр. р. Чимташ | кар.-вис. | СВ | 1,1 | 0,4 | 0,2 | 0,1 | | |
| 104 | № 104 | пр. р. Чимташ | вис. | С | 0,6 | 0,4 | 0,2 | 0,1 | | |
| 105* | № 105 | пр. р. Чимташ | вис.-кар. | С | 0,7 | 0,3 | 0,2 | 0,2 | | |
| 106 | Чимташ | руч. Чимташ | кар.-вис. | С | 0,5 | 0,2 | 0,2 | 0,1 | | |
| 107 | | пр. р. Чимташ | кар.-вис. | СВ | 1,2 | 0,5 | 0,3 | 0,1 | | |
| 108 | | пр. р. Чимташ | кар.-вис. | С | 1,0 | 0,6 | 0,2 | 0,1 | | |
| 109 | | пр. р. Чимташ | вис. | С | 0,5 | 0,5 | 0,6 | 0,6 | | |
| 110 | | пр. р. Чимташ | вис.-дол. | С | 1,9 | 1,6 | 0,7 | 0,3 | | |
| 111* | | пр. р. Чимташ | кар.-вис. | СВ | 0,6 | 0,4 | 0,1 | 0,1 | | |
| 112 | | пр. р. Чимташ | вис.-кар. | С3 | 1,4 | 1,0 | 0,5 | 0,1 | | |
| 113 | | пр. р. Чимташ | присклон.-кар. | С3 | 0,9 | 0,4 | 0,3 | 0,1 | | |
| | 21 ледник | | | | | | 8,8 | 5,4 | | |
| Кроме того, в бассейне р. Урмарал имеется 2 ледника размерами менее 0,1 км² каждый, общей площадью 0,2 к | | | | | | | | | | |
| Итого 23 ледника | | | | | | | 9,0 | | | |

Бассейн р. Бешкол

Северный склон хребта

| | | | | | | | | |
|------|------------|--------------|-----------|----|-----|-----|-----|-----|
| 114 | № 114 | пр. р. Беш科尔 | кар.-дол. | СВ | 1,9 | 1,1 | 1,0 | 0,5 |
| 115 | № 115 | пр. р. Беш科尔 | кар. | СВ | 0,8 | 0,7 | 0,3 | 0,1 |
| 116 | Итучар | пр. р. Беш科尔 | кар. | С3 | 1,9 | 1,9 | 2,8 | 2,8 |
| 117* | № 117 | пр. р. Беш科尔 | вис. | С3 | 1,0 | 0,7 | 0,3 | 0,3 |
| 118 | № 118 | пр. р. Беш科尔 | вис.-кар. | С3 | 0,8 | 0,8 | 0,3 | 0,3 |
| 119 | Беш科尔 | Беш科尔 | котл. | С3 | 2,5 | 2,5 | 3,6 | 3,6 |
| 120* | № 120 | пр. р. Беш科尔 | кар. | С | 1,4 | 1,2 | 0,6 | 0,6 |
| 121 | № 121 | пр. р. Беш科尔 | кар.-дол. | СВ | 1,6 | 0,9 | 0,7 | 0,4 |
| | 8 ледников | | | | | | 9,6 | 8,6 |

Кроме того, в бассейне р. Беш科尔 имеется 6 ледников размерами менее 0,1 км² каждый, общей площадью 0,4 к

Итого 14 ледников

Бассейн р. Ар-Мурал (р. Табы)

Северный склон хребта

| | | | | | | | | |
|------|--------------|-----------------|-----------|---|-----|-----|------|------|
| 122 | СГП | пр. р. Ар-Мурал | котл. | С | 4,4 | 4,4 | 6,4 | 6,4 |
| 123 | № 123 | пр. р. Ар-Мурал | вис. | С | 0,4 | 0,4 | 0,2 | 0,2 |
| 124 | Кам-Ка-Теч | пр. р. Ар-Мурал | вис.-дол. | С | 1,9 | 1,0 | 0,7 | 0,4 |
| 125 | Вокруг Света | Ар-Мурал | котл. | С | 3,6 | 3,4 | 6,8 | 6,7 |
| 126 | № 126 | пр. р. Ар-Мурал | кар.-дол. | С | 1,4 | 1,1 | 0,8 | 0,6 |
| 127* | Шавато | пр. р. Ар-Мурал | кар.-дол. | С | 1,5 | 1,4 | 1,4 | 1,4 |
| 128* | № 128 | пр. р. Ар-Мурал | вис. | С | 0,8 | 0,7 | 0,2 | 0,2 |
| | 7 ледников | | | | | | 16,5 | 16,0 |

Кроме того, в бассейне р. Ар-Мурал имеется 3 ледника размерами менее 0,1 км² каждый, общей площадью 0,3 к

Итого 10 ледников

Бассейн р. Бел

Северный склон хребта

| | | | | | | | | |
|------|--------------|----------------|-----------|----|-----|-----|-----|-----|
| 129 | Караганшинык | Караганшинык | вис. | С3 | 1,0 | 0,7 | 0,3 | 0,2 |
| 130* | № 130 | Туюктар | кар. | С | 0,7 | 0,4 | 0,3 | 0,2 |
| 131* | Туюктар | Туюктар | кар.-дол. | С | 1,3 | 0,9 | 0,9 | 0,7 |
| 132 | № 132 | пр. р. Озерная | вис. | СВ | 1,1 | 0,5 | 0,5 | 0,1 |
| 133 | № 133 | пр. р. Озерная | вис. | С3 | 1,1 | 0,5 | 0,4 | 0,2 |
| 134 | Озерный | Озерная | вис. | С3 | 0,8 | 0,6 | 0,5 | 0,3 |
| 135* | № 135 | пр. р. Озерная | вис. | С3 | 0,9 | 0,8 | 0,2 | 0,2 |
| | | | | | | | | |

| Высота, м | | | Фирновая линия | | Площадь области аблации, км ² | | Ссылки на последующие таблицы (иллюстрации) | № таблиц и иллюстраций порядковые № сведений в таблицах |
|----------------------------|-------------------------------------|----------------------|----------------|---------------------------|--|----------------------------|---|---|
| нижней точки конца ледника | нижней точки открытой части ледника | высшей точки ледника | высота, м | способ определения и дата | общая | в том числе открытой части | | |
| 10 | 11 | 12 | 13 | 14 | 15 | 16 | 17 | 18 |
| 3280 | 3420 | 3810 | 3560 | АФС 30/IX-57 г. | 0,4 | 0,2 | | IV/8 |
| 3220 | 3300 | 3410 | | | | | | IV/8 |
| 3080 | 3110 | 3290 | | | | | | IV/8 |
| 3230 | 3330 | 3520 | | | | | | IV/8 |
| 3250 | 3290 | 3320 | | | | | | IV/8 |
| 3210 | 3340 | 3850 | | | | | | IV/8 |
| 3170 | 3270 | 3640 | | | | | | IV/8 |
| 3360 | 3360 | 4110 | | | | | | IV/8 |
| 3350 | 3610 | 4110 | 3820 | АФС 29/IX-57 г. | 0,4 | 0,2 | | IV/8 |
| 3490 | 3550 | 3810 | | | | | | IV/8 |
| 3450 | 3560 | 3850 | 3700 | АФС 29/IX-57 г. | 0,4 | 0,1 | | IV/8 |
| 3470 | 3610 | 3850 | | | | | | IV/8 |

(р. Урмарал, р. Талас)

Таласский Алатай

| | | | | | | | | |
|------|------|------|------|------------------|-----|-----|--|------|
| 3200 | 3420 | 4140 | 3600 | АФС 28/VII-61 г. | 0,8 | 0,2 | | IV/8 |
| 3440 | 3490 | 4040 | | | | | | IV/8 |
| 3700 | 3700 | 4100 | 3840 | АФС 28/VII-61 г. | 1,3 | 1,3 | | IV/8 |
| 3220 | 3230 | 3850 | | | | | | IV/8 |
| 3650 | 3650 | 3860 | | | | | | IV/8 |
| 3370 | 3370 | 4100 | 3680 | АФС 28/VII-61 г. | 1,8 | 1,8 | | IV/8 |
| 3460 | 3470 | 4130 | 3720 | АФС 28/VII-61 г. | 0,4 | 0,4 | | IV/8 |
| 3220 | 3640 | 3880 | 3730 | АФС 28/VII-61 г. | 0,5 | 0,2 | | IV/8 |

(р. Урмарал, р. Талас)

Таласский Алатай

| | | | | | | | | |
|------|------|------|------|------------------|-----|-----|--|------------------|
| 3220 | 3220 | 3980 | 3700 | АФС 28/VII-61 г. | 3,7 | 3,7 | | IV/8; рис. 7, 28 |
| 3500 | 3500 | 3840 | 3680 | АФС 28/VII-61 г. | 0,1 | 0,1 | | IV/8 |
| 3300 | 3460 | 3850 | 3720 | АФС 28/VII-61 г. | 0,6 | 0,3 | | IV/8; рис. 29 |
| 3180 | 3200 | 4110 | 3650 | АФС 28/VII-61 г. | 2,9 | 2,9 | | IV/8; рис. 30 |
| 3300 | 3380 | 3950 | 3480 | АФС 28/VII-61 г. | 0,4 | 0,2 | | |
| 3330 | 3380 | 4120 | 3520 | АФС 28/VII-61 г. | 0,6 | 0,6 | | |
| 3680 | 3680 | 3850 | | | | | | |

таш (р. Талас)

Таласский Алатай

| | | | | | | | | |
|------|------|------|------|------------------|-----|-----|--|------|
| 3600 | 3750 | 3900 | 3800 | АФС 14/VII-61 г. | 0,2 | 0,1 | | IV/8 |
| 3600 | 3640 | 3700 | | | | | | IV/8 |
| 3450 | 3550 | 3800 | 3700 | АФС 14/VII-61 г. | 0,5 | 0,3 | | IV/8 |
| 3550 | 3750 | 3800 | | | | | | IV/8 |
| 3600 | 3750 | 3800 | | | | | | IV/8 |
| 3700 | 3750 | 3890 | | | | | | IV/8 |
| 3600 | 3650 | 3800 | 3750 | АФС 14/VII-61 г. | 0,1 | 0,1 | | IV/8 |

| № по схеме | Название | Название реки, вытекающей из ледника | Морфологический тип | Общая экспозиция | Наибольшая длина, км | | Площадь, км ² | |
|--|--------------------|--------------------------------------|---------------------|------------------|----------------------|----------------------------|--------------------------|----------------------------|
| | | | | | всего ледника | в том числе открытой части | всего ледника | в том числе открытой части |
| 1 | 2 | 3 | 4 | 5 | 6 | 7 | 8 | 9 |
| 136 | Бол. Бешташ | Бол. Бешташ | котл. | C3 | 2,6 | 1,8 | 3,2 | 2,5 |
| 137 | Мал. Бешташ | Мал. Бешташ | кар. | C3 | 1,2 | 0,8 | 0,5 | 0,3 |
| 138 | № 138 | пр. р. Бешташ | кар.-вис. | C | 0,4 | 0,4 | 0,3 | 0,3 |
| 10 ледников | | | | | | | 7,1 | 5,0 |
| Кроме того, в бассейне р. Бешташ имеется 1 ледник размером менее 0,1 км ² | | | | | | | | |
| Итого 11 ледников | | | | | | | | |
| Бассейн р. Кол | | | | | | | | |
| Отрог северного склона | | | | | | | | |
| 139* | № 139 | пр. р. Колба | вис. | C | 0,7 | 0,6 | 0,2 | 0,2 |
| 140 | № 140 | пр. р. Колба | вис. | CB | 0,7 | 0,3 | 0,2 | 0,1 |
| 141* | № 141 | пр. р. Колба | кар.-вис. | CB | 0,8 | 0,5 | 0,2 | 0,2 |
| 142 | № 142 | пр. р. Колба | кар.-дол. | CB | 1,8 | 1,0 | 1,0 | 0,6 |
| 143 | № 143 | пр. р. Колба | вис. | C | 1,1 | 0,7 | 0,5 | 0,2 |
| 144 | № 144 | пр. р. Колба | кар.-вис. | C | 0,9 | 0,7 | 0,4 | 0,2 |
| 145 | № 145 | пр. р. Колба | присклон.-кар. | C | 1,4 | 0,6 | 1,0 | 0,5 |
| 146 | № 146 | пр. р. Колба | вис. | B | 0,6 | 0,3 | 1,0 | 0,6 |
| 8 ледников | | | | | | | 4,5 | 2,6 |
| Кроме того, в бассейне р. Колба имеется 3 ледника размерами менее 0,1 км ² каждый, общей площадью 0,1 км ² | | | | | | | | |
| Итого 11 ледников | | | | | | | | |
| Бассейн р. Чир | | | | | | | | |
| Северный склон хребта | | | | | | | | |
| 147* | № 147 | пр. р. Чирканак | вис. | C | 0,5 | 0,4 | 0,1 | 0,1 |
| 148 | № 148 | пр. р. Чирканак | кар. | CB | 1,6 | 0,8 | 0,9 | 0,5 |
| 149 | № 149 | пр. р. Чирканак | кар. | C | 1,6 | 1,1 | 1,0 | 0,5 |
| 150 | Чирканак | Чирканак | кар. | C3 | 1,8 | 1,3 | 1,3 | 0,8 |
| 151 | № 151 | пр. р. Чирканак | кар.-вис. | C | 1,2 | 1,1 | 0,6 | 0,5 |
| 152* | № 152 | пр. р. Чирканак | кар.-вис. | C3 | 0,8 | 0,7 | 0,2 | 0,2 |
| 6 ледников | | | | | | | 4,1 | 2,6 |
| Кроме того, в бассейне р. Чирканак имеется 1 ледник размером менее 0,1 км ² | | | | | | | | |
| Итого 7 ледников | | | | | | | | |
| Бассейн р. Бала-Чичкан | | | | | | | | |
| Северный склон хребта | | | | | | | | |
| 153 | № 153 | пр. р. Бала-Чичкан | вис.-дол. | C | 1,9 | 1,3 | 0,6 | 0,5 |
| 154 | № 154 | пр. р. Бала-Чичкан | кар.-вис. | C | 1,7 | 1,3 | 0,7 | 0,5 |
| 155 | № 155 | пр. р. Бала-Чичкан | вис. | C | 0,8 | 0,5 | 0,4 | 0,3 |
| 156 | № 156 | пр. р. Бала-Чичкан | кар. | B | 1,5 | 1,3 | 0,6 | 0,5 |
| 157 | Бала-Чичкан лев. | пр. р. Бала-Чичкан | кар. | C | 1,1 | 1,0 | 0,6 | 0,5 |
| 158 | Бала-Чичкан центр. | Бала-Чичкан | кар. | C3 | 1,8 | 1,3 | 2,3 | 1,4 |
| 159 | Бала-Чичкан прав. | пр. р. Бала-Чичкан | кар.-вис. | C3 | 1,1 | 0,8 | 0,4 | 0,3 |
| 160 | № 160 | пр. р. Бала-Чичкан | вис. | 3 | 0,9 | 0,9 | 0,2 | 0,2 |
| 161* | № 161 | пр. р. Бала-Чичкан | вис. | C | 0,6 | 0,5 | 0,2 | 0,2 |
| 162* | № 162 | Джеруй | кар.-вис. | C | 0,8 | 0,6 | 0,3 | 0,2 |
| 10 ледников | | | | | | | 6,3 | 4,6 |
| Бассейн р. Чон-Чичкан (р. Ту) | | | | | | | | |
| Северный склон хребта | | | | | | | | |
| 163 | № 163 | пр. р. Джеруй | кар.-вис. | CB | 1,8 | 1,4 | 0,8 | 0,7 |
| 164* | № 164 | пр. р. Джеруй | вис. | CB | 1,1 | 1,0 | 0,1 | 0,1 |

| Высота, м | | | Фирновая линия | | Площадь области аблации, км ² | | Ссылки на последующие таблицы (иллюстрации) | № таблиц и иллюстраций порядковые № сведений в таблицах |
|----------------------------|-------------------------------------|----------------------|----------------|---------------------------|--|----------------------------|---|--|
| низшей точки конца ледника | низшей точки открытой части ледника | высшей точки ледника | высота, м | способ определения и дата | общая | в том числе открытой части | | |
| 10 | 11 | 12 | 13 | 14 | 15 | 16 | 17 | 18 |
| 3650 | 3720 | 3950 | 3800 | АФС 14/VII-61 г. | 2,1 | 1,4 | | IV/8 |
| 3600 | 3700 | 3900 | 3800 | АФС 14/VII-61 г. | 0,3 | 0,1 | | IV/8 |
| 3850 | 3850 | 4000 | 3900 | АФС 14/VII-61 г. | 0,1 | 0,1 | | |

ба (р. Талас)

хребта Таласский Алатау

| | | | | | | | | |
|------|------|------|------|------------------|-----|-----|--|------|
| 3850 | 3880 | 4000 | 3900 | АФС 14/VII-61 г. | 0,1 | 0,1 | | |
| 3800 | 3900 | 3950 | | | | | | |
| 3660 | 3750 | 3900 | 3800 | АФС 14/VII-61 г. | 0,1 | 0,1 | | |
| 3680 | 3700 | 3980 | | | | | | |
| 3700 | 3750 | 3900 | | | | | | |
| 3650 | 3700 | 3980 | 3800 | АФС 14/VII-61 г. | 0,2 | 0,1 | | IV/8 |
| 3600 | 3750 | 4060 | 3800 | АФС 14/VII-61 г. | 0,9 | 0,4 | | IV/8 |
| 3600 | 3700 | 3750 | | | | | | |

канак (р. Талас)

Таласский Алатау

| | | | | | | | | |
|------|------|------|------|------------------|-----|-----|--|---------------|
| 3600 | 3650 | 3750 | 3900 | АФС 14/VII-61 г. | 0,5 | 0,1 | | IV/8 |
| 3550 | 3700 | 4000 | 3900 | АФС 14/VII-61 г. | 0,7 | 0,2 | | IV/8 |
| 3450 | 3680 | 3900 | 3780 | АФС 14/VII-61 г. | 0,7 | 0,2 | | IV/8 |
| 3500 | 3700 | 3980 | 3800 | АФС 14/VII-61 г. | 0,3 | 0,2 | | IV/8; рис. 31 |
| 3550 | 3700 | 4000 | 3800 | АФС 14/VII-61 г. | | | | IV/8 |
| 3600 | 3640 | 3900 | | | | | | IV/8 |

(р. Учкошой, р. Талас)

Таласский Алатау

| | | | | | | | | |
|------|------|------|------|------------------|-----|-----|--|------|
| 3600 | 3700 | 4370 | 3950 | АФС 14/VII-61 г. | 0,3 | 0,2 | | IV/8 |
| 3600 | 3750 | 4000 | | | | | | |
| 3700 | 3750 | 3900 | 3850 | АФС 14/VII-61 г. | 0,2 | 0,1 | | IV/8 |
| 3750 | 3850 | 4230 | 4000 | АФС 14/VII-61 г. | 0,5 | 0,4 | | IV/8 |
| 3700 | 3800 | 3950 | | | | | | |
| 3650 | 3750 | 3900 | 3850 | АФС 14/VII-61 г. | 1,6 | 0,7 | | IV/8 |
| 3700 | 3750 | 3900 | 3820 | АФС 14/VII-61 г. | 0,2 | 0,1 | | |
| 3800 | 3800 | 4000 | 3850 | АФС 14/VII-61 г. | 0,1 | 0,1 | | |
| 3900 | 4000 | 4100 | 4050 | АФС 14/VII-61 г. | 0,1 | 0,1 | | |
| 3750 | 3860 | 4060 | 4000 | АФС 14/VII-61 г. | 0,2 | 0,1 | | |

шашу, р. Учкошой, р. Талас)

Таласский Алатау

| | | | | | | | | |
|------|------|------|------|------------------|-----|-----|--|--|
| 3600 | 3700 | 4260 | 3900 | АФС 14/VII-61 г. | 0,4 | 0,3 | | |
| 3900 | 3920 | 4200 | | | | | | |

| № по схеме | Название | Название реки, вытекающей из ледника | Морфологический тип | Общая экспозиция | Наибольшая длина, км | | Площадь, км ² | |
|---|----------------|--------------------------------------|---------------------|------------------|----------------------|----------------------------|--------------------------|----------------------------|
| | | | | | всего ледника | в том числе открытой части | всего ледника | в том числе открытой части |
| 1 | 2 | 3 | 4 | 5 | 6 | 7 | 8 | 9 |
| 165 | № 165 | пр. р. Джеруй | вис. | B | 1,1 | 0,2 | 0,2 | 0,1 |
| 166 | № 166 | пр. р. Джеруй | кар. | CB | 1,3 | 1,3 | 0,4 | 0,4 |
| 167* | № 167 | Джеруй | дол. | C | 3,3 | 2,1 | 1,5 | 0,7 |
| 168* | № 168 | Джеруй | кар.-дол. | C | 3,3 | 1,2 | 1,7 | 0,7 |
| 169 | № 169 | пр. р. Джеруй | вис. | C | 0,9 | 0,4 | 0,4 | 0,1 |
| 170 | № 170 | пр. р. Джеруй | кар. | C | 0,6 | 0,5 | 0,3 | 0,2 |
| 171 | № 171 | пр. р. Джеруй | вис. | C | 0,6 | 0,6 | 0,1 | 0,1 |
| 172 | № 172 | пр. р. Китайтор | вис. | CB | 0,8 | 0,3 | 0,2 | 0,1 |
| 173 | № 173 | пр. р. Китайтор | вис.-кар. | CB | 0,7 | 0,7 | 0,2 | 0,2 |
| 174 | № 174 | пр. р. Китайтор | вис.-кар. | CB | 1,4 | 0,3 | 0,5 | 0,2 |
| 175 | № 175 | Китайтор | кар. | C | 1,3 | 0,8 | 0,8 | 0,2 |
| 176 | № 176 | пр. р. Китайтор | кар. | C3 | 1,2 | 0,8 | 0,6 | 0,3 |
| 177 | № 177 | пр. р. Китайтор | кар.-вис. | CB | 1,0 | 0,4 | 0,3 | 0,1 |
| 178 | № 178 | пр. р. Караноу | кар.-вис. | CB | 1,2 | 0,5 | 0,5 | 0,3 |
| 179 | № 179 | пр. р. Караноу | вис. | C | 0,7 | 0,3 | 0,2 | 0,1 |
| 180 | № 180 | пр. р. Караноу | вис.. | C3 | 0,8 | 0,1 | 0,2 | 0,1 |
| 181 | № 181 | пр. р. Караноу | кар.-вис. | B | 1,4 | 1,2 | 0,5 | 0,4 |
| 19 ледников | | | | | | | 9,5 | 5,1 |
| Кроме того, в бассейне р. Чон-Чичкан имеется 2 ледника размерами менее 0,1 км ² каждый, общей площадью 0,2 км ² | | | | | | | | |
| Итого 21 ледник | | | | | | | | |
| Бассейн р. Тушашу | | | | | | | | |
| Северный склон хребта | | | | | | | | |
| 182 | № 182 | пр. р. Тушашу | кар.-вис. | C | 1,2 | 0,9 | 0,5 | 0,3 |
| 183 | № 183 | пр. р. Тушашу | кар.-дол. | CB | 1,0 | 0,7 | 0,3 | 0,2 |
| 184 | № 184 | пр. р. Тушашу | вис. | C | 0,8 | 0,3 | 0,2 | 0,1 |
| 185 | № 185 | Тушашу | кар. | CB | 1,8 | 0,9 | 1,4 | 0,9 |
| 186 | № 186 | пр. р. Тушашу | вис. | C | 0,6 | 0,3 | 0,3 | 0,2 |
| 187 | № 187 | пр. р. Тушашу | вис. | C | 0,6 | 0,2 | 0,3 | 0,2 |
| 188 | № 188 | пр. р. Тушашу | кар.-вис. | C3 | 0,7 | 0,3 | 0,2 | 0,1 |
| 189 | № 189 | пр. р. Тушашу | кар.-вис. | C3 | 0,6 | 0,5 | 0,2 | 0,1 |
| 190* | № 190 | пр. р. Тушашу | кар. | C | 0,4 | 0,1 | 0,1 | 0,1 |
| 9 ледников | | | | | | | 3,5 | 2,2 |
| Кроме того, в бассейне р. Тушашу имеется 3 ледника размерами менее 0,1 км ² каждый, общей площадью 0,3 км ² | | | | | | | | |
| Итого 12 ледников | | | | | | | | |
| Бассейн р. Чон-Кошой | | | | | | | | |
| Северный склон хребта | | | | | | | | |
| 191 | Арчалутор | Арчалутор | кар.-вис. | C | 0,7 | 0,7 | 0,3 | 0,3 |
| 192 | Чонг-Тур лев. | Ашу-Кошой | дол. | CB | 0,7 | 0,7 | 0,2 | 0,2 |
| 193 | Чонг-Тур прав. | Ашу-Кошой | дол. | C | 1,3 | 1,3 | 0,6 | 0,6 |
| 3 ледника | | | | | | | 1,1 | 1,1 |
| Кроме того, в бассейне р. Чон-Кошой имеется 3 ледника размерами менее 0,1 км ² каждый, общей площадью 0,2 км ² | | | | | | | | |
| Итого 6 ледников | | | | | | | | |
| Бассейн р. Кара | | | | | | | | |
| Северный склон хребта Алатай, | | | | | | | | |
| 194 | № 194 | Ден-Корумды | кар. | C | 0,6 | 0,6 | 0,2 | 0,2 |
| 195 | № 195 | пр. р. Эстеместер | присклон.-кар. | C | 0,4 | 0,4 | 0,3 | 0,3 |
| 196* | № 196 | Орто-Корумды | кар. | C | 0,6 | 0,3 | 0,2 | 0,2 |
| 197 | № 197 | пр. р. Дон-Корумды | кар.-вис. | C | 0,8 | 0,6 | 0,3 | 0,2 |
| 198 | № 198 | пр. р. Дон-Корумды | кар.-вис. | C3 | 0,9 | 0,9 | 0,2 | 0,2 |

| Высота, м | | | Фирновая линия | | Площадь области аблации, км ² | | Объем льда, км ³ | Ссылки на последующие таблицы (иллюстрации) № таблиц и иллюстраций порядковые № сведений в таблицах | 18 |
|----------------------------|-------------------------------------|----------------------|----------------|---------------------------|--|----------------------------|-----------------------------|---|----|
| нижней точки конца ледника | нижней точки открытой части ледника | высшей точки ледника | высота, м | способ определения и дата | общая | в том числе открытой части | | | |
| 10 | 11 | 12 | 13 | 14 | 15 | 16 | 17 | | |
| 3680 | 3900 | 3950 | | | | | | IV/8 | |
| 3800 | 3800 | 4100 | 3950 | АФС 14/VII-61 г. | 0,2 | 0,2 | | IV/8 | |
| 3700 | 3850 | 4100 | 3980 | АФС 14/VII-61 г. | 1,2 | 0,4 | | | |
| 3640 | 3800 | 3900 | 3850 | АФС 14/VII-61 г. | 1,5 | 0,5 | | | |
| 3300 | 3450 | 3500 | | | | | | IV/8 | |
| 3350 | 3600 | 3800 | | | | | | | |
| 3500 | 3500 | 3650 | | | | | | | |
| 3400 | 3550 | 3600 | | | | | | | |
| 3300 | 3800 | 3850 | | | | | | | |
| 3300 | 3500 | 3600 | 3550 | АФС 14/VII-61 г. | 0,4 | 0,1 | | | |
| 3250 | 3350 | 3400 | | | | | | | |
| 3300 | 3400 | 3500 | 3440 | АФС 14/VII-61 г. | 0,3 | 0,1 | | | |
| 3300 | 3440 | 3550 | | | | | | | |
| 3250 | 3440 | 3540 | 3480 | АФС 14/VII-61 г. | 0,3 | 0,1 | | | |
| 3300 | 3460 | 3600 | | | | | | | |
| 3300 | 3420 | 3500 | | | | | | | |
| 3340 | 3370 | 3570 | 3500 | АФС 14/VII-61 г. | 0,3 | 0,2 | | IV/8 | |

(р. Учкошой, р. Талас)

Таласский Алатай

| | | | | | | | | | |
|------|------|------|------|------------------|-----|-----|--|------|--|
| 3600 | 3670 | 4040 | 3720 | АФС 14/VII-61 г. | 0,3 | 0,1 | | IV/8 | |
| 3360 | 3650 | 3880 | 3770 | АФС 14/VII-61 г. | 0,2 | 0,1 | | IV/8 | |
| 3430 | 3520 | 3850 | | | | | | | |
| 3350 | 3420 | 3700 | 3630 | АФС 14/VII-61 г. | 0,3 | 0,2 | | | |
| 3400 | 3570 | 3650 | | | | | | | |
| 3430 | 3480 | 3650 | | | | | | | |
| 3470 | 3600 | 3840 | 3780 | АФС 14/VII-61 г. | 0,1 | 0,1 | | | |
| 3620 | 3680 | 4000 | | | | | | | |
| 3320 | 3380 | 3400 | | | | | | | |

(р. Учкошой, р. Талас)

Таласский Алатай

| | | | | | | | | | |
|------|------|------|------|------------------|-----|-----|--|--------------------------------|--|
| 3720 | 3720 | 4000 | 3780 | АФС 27/VII-61 г. | 0,1 | 0,1 | | IV/9 | |
| 3520 | 3520 | 3940 | 3720 | АФС 15/VII-61 г. | 0,1 | 0,1 | | IV/4, 5, 6, 7, 10; V/6, 11, 12 | |
| 3550 | 3550 | 4000 | 3740 | АФС 15/VII-61 г. | 0,2 | 0,2 | | IV/4, 5, 6, 7; V/6, 11, 12 | |

кол (р. Талас)

южный склон Киргизского хребта

| | | | | | | | | | |
|------|------|------|------|------------------|-----|-----|--|--|--|
| 3560 | 3560 | 3740 | 3600 | АФС 15/VII-61 г. | 0,1 | 0,1 | | | |
| 3580 | 3580 | 3640 | 3660 | АФС 15/VII-61 г. | 0,2 | 0,2 | | | |
| 3450 | 3540 | 3720 | 3580 | АФС 15/VII-61 г. | 0,1 | 0,1 | | | |
| 3580 | 3620 | 4040 | 3740 | АФС 5/IX-59 г. | 0,2 | 0,2 | | | |
| 3360 | 3360 | 4080 | 3700 | АФС 5/IX-59 г. | 0,1 | 0,1 | | | |

| № по схеме | Название | Название реки, вытекающей из ледника | Морфологический тип | Общая экспозиция | Наибольшая длина, км | | Площадь, км ² | |
|-------------|-------------|--------------------------------------|---------------------|------------------|----------------------|----------------------------|--------------------------|----------------------------|
| | | | | | Всего ледника | в том числе открытой части | всего ледника | в том числе открытой части |
| 1 | 2 | 3 | 4 | 5 | 6 | 7 | 8 | 9 |
| 199 | Дон-Корумды | Дон-Корумды | присклон.-кар. | СВ | 2,7 | 2,3 | 2,2 | 1,9 |
| 200 | № 200 | пр. р. Дон-Корумды | кар.-дол. | СЗ | 1,2 | 1,2 | 0,4 | 0,4 |
| 201 | № 201 | пр. р. Чон-Корумды | вис.-кар. | С | 0,6 | 0,6 | 0,2 | 0,2 |
| 202 | № 202 | пр. р. Чон-Корумды | вис.-кар. | С | 0,9 | 0,9 | 0,3 | 0,3 |
| 203 | № 203 | Чон-Корумды | кар.-дол. | С | 0,9 | 0,9 | 0,4 | 0,4 |
| 204 | № 204 | Чон-Корумды | кар.-дол. | СЗ | 1,2 | 1,2 | 0,5 | 0,5 |
| 205 | Ашутор | Ашутор | кар.-дол. | СЗ | 0,8 | 0,8 | 0,6 | 0,6 |
| 206* | № 206 | пр. р. Уччат | кар. | СЗ | 0,8 | ? | 0,3 | ? |
| 207* | Уччат | Уччат | кар. | ЮЗ | 0,8 | ? | 0,5 | ? |
| 208* | № 208 | пр. р. Джарташ | дол. | ЮЗ | 1,2 | ? | 0,8 | ? |
| 209* | Джаарташ | пр. р. Джарташ | кар. | СЗ | 0,6 | ? | 0,2 | ? |
| 210 | № 210 | р. Сырдабайтор | вис.-кар. | ЮЗ | 1,1 | 1,1 | 0,3 | 0,3 |
| 17 ледников | | | | | | | 7,9 | |

Кроме того, в бассейне р. Каракол имеется 11 ледников размерами менее 0,1 км² каждый, общей площадью 0,1 км²

Итого 28 ледников

Всего по бассейну р. Талас 202 ледника общей площадью 120,7 км² (из них 33,4 км² покрыто моренами), в том числе площадью 3,4 км²

Всего по бассейнам рек Асса и Талас 281 ледник общей площадью 164,7 км² (из них 44,9 км² покрыто моренами), общей площадью 5,4 км²

| Высота, м | | | Фирновая линия | | Площадь области аблаций, км ² | | Ссылки на последующие таблицы (иллюстрации) | № таблиц и иллюстраций порядковые № сведений в таблицах | 18 |
|-----------|------|------|----------------|----------------|--|----------------------------|---|---|----|
| 10 | 11 | 12 | 13 | 14 | общая | в том числе открытой части | Объем льда, км ³ | | |
| 3600 | 3740 | 4110 | 3700 | АФС 5/IX-59 г. | 0,9 | 0,6 | | | |
| 3600 | 3600 | 4240 | 3720 | АФС 5/IX-59 г. | 0,2 | 0,2 | | | |
| 3580 | 3580 | 3820 | 3680 | АФС 5/IX-59 г. | 0,1 | 0,1 | | | |
| 3610 | 3610 | 4280 | 3720 | АФС 5/IX-59 г. | 0,1 | 0,1 | | | |
| 3560 | 3560 | 4280 | 3740 | АФС 5/IX-59 г. | 0,1 | 0,1 | | | |
| 3620 | 3620 | 4260 | 3720 | АФС 5/IX-59 г. | 0,2 | 0,2 | | | |
| 3560 | 3560 | 3920 | 3760 | АФС 5/IX-59 г. | 0,2 | 0,2 | | | |
| 3800 | ? | 3980 | | | | | | Рис. 32 | |
| 3760 | ? | 3960 | | | | | | IV/9 | |
| 3880 | ? | 4200 | | | | | | Рис. 28 | |
| 3740 | ? | 3900 | | | | | | IV/4; V/6, 12; рис. 4 | |
| 3740 | 3740 | 4200 | | | | | | IV/4; V/6, 12; рис. 5 | |
| | | | | | | | | IV/4; V/6, 12 | |
| | | | | | | | | IV/4; V/6, 12; рис. 6 | |

162 ледника размерами более 0,1 км² общей площадью 117,3 км² и 40 ледников размерами менее 0,1 км², общей в том числе: 210 ледников размерами более 0,1 км², общей площадью 159,3 км² и 71 ледник размерами менее 0,1 км²,

Пояснения к таблице I

| № ледников по таблице | Название | № граф | Пояснения | |
|---|--------------|-------------|--|---|
| | | | 1 | 2 |
| 1—10 | № 1—10 | 7, 9, 11 | Сведения имеются только об общей длине, площади и высоте залегания конца языка | |
| 8 | № 8 | 4 | Ледник получает питание преимущественно со склонов восточной экспозиции, имеет асимметричный поперечный профиль. Поэтому более узкое определение его морфологического типа — долинный асимметричный | |
| 13, 14 16, 25, 47, 55, 70, 74, 86, 90, 105, 111, 117, 120, 127, 128, 135, 139, 141, 147, 152, 161, 164, 190, 196 | № 13, 14 | 8, 9 | Языки ледников сливаются своими концами, покрытыми моренами Согласно принятому принципу округления, величина площади погребенных частей ледников не отражена | |
| 42, 43, 68 | № 42, 43, 68 | 3 | Из ледников № 42, 43 берет начало р. Куганды, бассейн р. Асса. Ледник № 68 дает начало руч. Куганды, бассейн р. Шильбилиней | |
| 130, 131 | № 130, 131 | 3 | Из ледников берут начало две одноименные реки, впадающие в р. Бешташ | |
| 162 | № 162 | 3 | Из ледника вытекает р. Джеруй, впадающая в р. Бала-Чичкан | |
| 167, 168 | № 167, 168 | 3 | Из ледников вытекает р. Джеруй, впадающая в р. Чоп-Чичкан | |
| Перечень учреждений и лиц, присвоивших ледникам названия | | | | |
| 26, 61, 62, 66, 68, 69, 76, 77, 106, 116, 119, 124, 127, 129, 131, 134, 150, 157, 158, 159, 191, 205, 207, 208 | | 2 | Ледникам присвоены местные названия, не отраженные на картографических источниках | |
| 92, 122, 125, 136, 137, 199 192, 193 | | 2 | Названия ледникам присвоены экспедицией УГМС КиргССР в 1962 г. | |
| | | 2 | В 1929 г. Н. Л. Корженевский опубликовал в литературе местное название ледника Чонг-Тур. В последующем произошло расчленение ледника на два более мелких, поэтому во избежание путаницы нами были присвоены им названия Чонг-Тур левый и Чонг-Тур правый | |
| Ледники, расположенные на отрогах основных хребтов бассейна | | | | |
| 29, 30 | | | Расположены на северных склонах гор Арчалы — отроге Таласского Алатау | |
| 32—34 | | | Расположены на склонах гор Түякарын — отроге Таласского Алатау | |
| 83 | | | Расположен на северо-восточном склоне гор Постунбулак — отроге Таласского Алатау | |
| 138—146 | | | Расположены на склонах хребта Колбатай — отроге Таласского Алатау | |
| 9, 10, 15—21, 44—51, 55—60, 63, 73, 91—101, 160—166, 182—184 | | | Расположены на отрогах Таласского Алатау, не имеющих названия, на расстоянии 3—15 км от осевого гребня | |
| 208 | Джаарташ | | Расположен на отроге Киргизского хребта | |

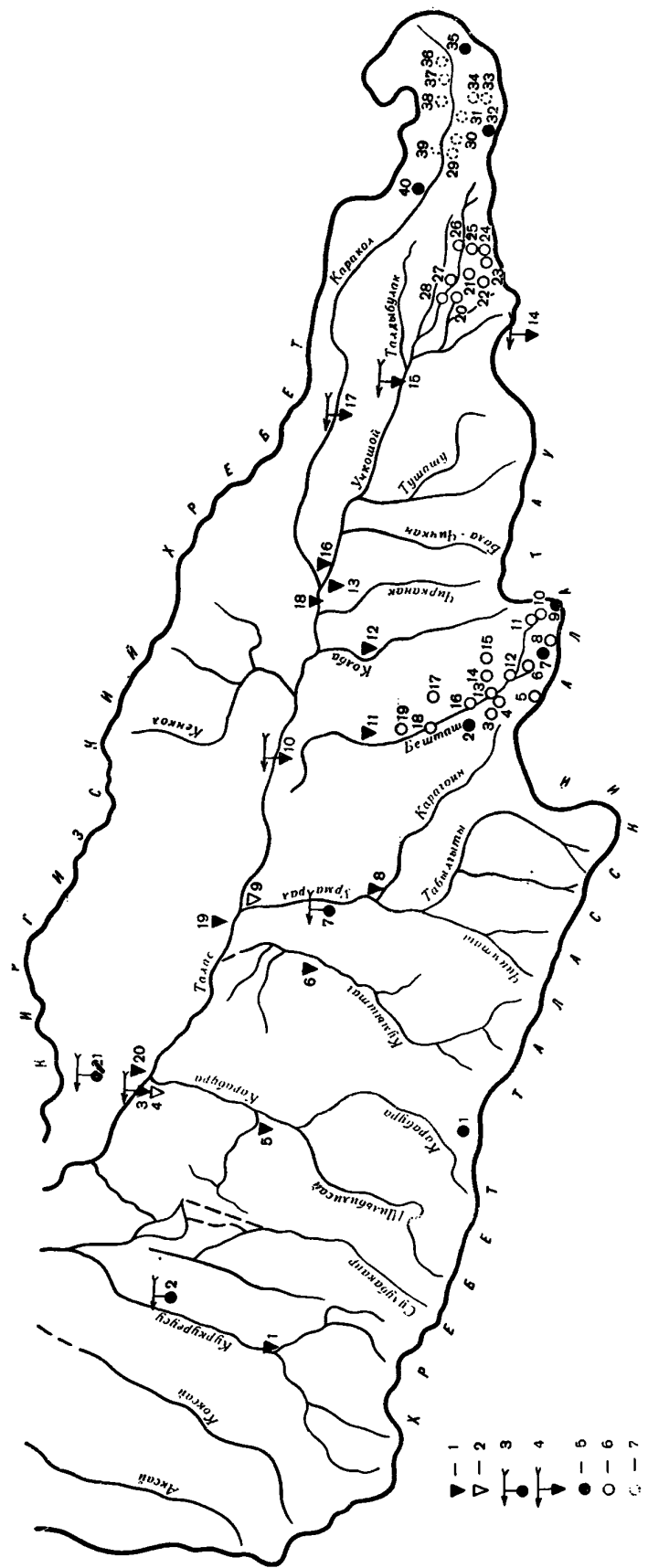


Рис. 22. Схема расположения станций и постов, суммарных осадкомеров и снегопунктов в бассейнах рек Акса и Талас.
 1 — действующие гидрологические посты, 2 — закрытые гидрологические посты, 3 — действующие метеорологические станции и посты, 4 — действующие гидрометеорологические станции, 5 — снегопункты, 6 — суммарные осадкомеры, 7 — закрытые снегопункты.

СПИСОК ГИДРОМЕТЕОРОЛОГИЧЕСКИХ СТАНЦИЙ

| № п/п | Название реки, в бассейне которой находится станция | Название станции или поста | В чьем ведении находится | Абсолютная высота, м | Площадь водосбора гидрометео- логических станций и постов, км ² | | |
|-------|---|--|-----------------------------|-------------------------|--|--------------|---|
| | | | | | | уровень воды | 7 |
| 1 | 2 | 3 | 4 | 5 | 6 | | |
| 1 | Куркуреусу (р. Асса) | гп урочище Чон-Курчан | УГМС КиргССР | 1340 | 454 | 1926—66 | |
| 2 | Куркуреусу (р. Асса) | мп Грозное | УГМС КиргССР | 960 | | | |
| 3 | Талас | гмст Жировское | УГМС КиргССР | 857 | | | |
| 4 | Карабура (р. Талас) | гп Кировское | УГМС КиргССР | 850 | 797 | 1929—34 | |
| 5 | Карабура (р. Талас) | гп ущелье Коксай (затимка Сары-Ункюр) | УГМС КиргССР | 1180 | 797 | 1927—66 | |
| 6 | Кумыштаг (р. Талас) | гп голова арыка Янги | УГМС КиргССР | 1360 | 393 | 1929—66 | |
| 7 | Урмарал (р. Талас) | мп Ленинполь | УГМС КиргССР | 1150 | | | |
| 8 | Урмарал (р. Талас) | гп Октябрьское (с. Романовка) | УГМС КиргССР | 1360 | 1120 | 1926—66 | |
| 9 | Урмарал (р. Талас) | гп Орловка | УГМС КиргССР | 1045 | 1130 | 1929—34 | |
| 10 | Талас | гмст Талас | УГМС КиргССР | 1218 | | | |
| 11 | Бешташ (р. Талас) | гп голова арыка Саз | УГМС КиргССР | 1540 | 286 | 1926—66 | |
| 12 | Колба (р. Талас) | гп Колба | УГМС КиргССР | 1700 | 218 | 1945—66 | |
| 13 | Учкошой (р. Талас) | гп Караой | УГМС КиргССР | 1500 | 1210 | 1934—66 | |
| 14 | Водораздел между реками Сусамыр и Чичкан | гмст Ала-Бель | УГМС КиргССР | 3185 | | | |
| 15 | Учкошой (р. Талас) | мп Аул 5-й | УГМС КиргССР | 2000 | | | |
| 16 | Каракол (р. Талас) | гп Караой, в 4 км выше устья р. Учкошой | УГМС КиргССР | 1540 | 1160 | 1934—62 | |
| 17 | Талас | гмст Ак-Таш | УГМС КиргССР | 2150 | | | |
| 18 | Талас | гп Караой, в 2,6 км ниже устья р. Учкошой | УГМС КиргССР | 1470 | 2450 | 1929—66 | |
| 19 | Талас | гп Орловка | УГМС КиргССР | 1030 | 4010 | 1960—66 | |
| 20 | Талас | гп Кировское (Александровское, верхнее) | УГМС КиргССР | 820 | 7940 | 1924—66 | |
| 21 | Талас | мп Покровское | УГМС КиргССР | 720 | | | |

ЦИИ И ПОСТОВ В РАЙОНЕ ЛЕДНИКОВ

ТАБЛИЦА II

Период наблюдений (годы)

| сток воды | сток наносов | химический состав воды | основные метеорологические | осадки | толщина снега | дополнительные |
|---------------------|------------------------------------|---------------------------------|-------------------------------|--------------------|--------------------|--|
| 8 | 9 | 10 | 11 | 12 | 13 | 14 |
| 1927—34, 1936—66 | 1956—62 | | 1940—66 1948—66 1943—66 | 1954—66 1943—66 | 1948—66 1943—66 | |
| 1929—34 | | | | | | |
| 1927—66 | | 1940 | 1942—66 | | | |
| 1929—66 | | | 1962 | | | |
| 1927—66 | 1939—43, 1948 | 1939—41 | 1948—66 1945—66 | 1953—66 | 1948—66 | |
| 1929—34 | 1929—34 | | 1929—66 | 1929—66 | 1929—66 | Продолжительность солнечного сияния: 1948—66; гололедовые явления: 1950—66 |
| 1927—66 | | 1956—62 | 1953—66 | | | |
| 1945—66 | 1960—66 | | 1945—62 | | | |
| 1935—66 | | 1959—63 | 1953—66 1960—66 | 1960—66 | 1960—66 | |
| 1935, 1938—66 | | 1959—62, 1962—63 | 1958—66 | 1958—66 | 1958—66 | |
| 1929—66 | 1934, 1935, 1937—44, 1946—66 | 1938—42, 1944, 1950—55 | 1934—66 | 1951—66 | 1951—66 | |
| 1960—66 | 1960—66 | | | | | |
| 1924—66 | 1924—66 | 1933—35, 1937—43, 1945—55 | 1938—43, 1950—55 | 1947—66 | 1954—66 | 1947—66 |

ТАБЛИЦА III

СПИСОК СУММАРНЫХ ОСАДКОМЕРОВ И СНЕГОМЕРНЫХ ПУНКТОВ В РАЙОНЕ ЛЕДНИКОВ

| № п/п | Название бассейна и номер осадкомера или снегопunkта | Местоположение | Absolute height, м | Экспозиция склона | Период наблюдений (годы) |
|----------|--|--|--------------------|-------------------|--------------------------|
| | | | 4 | | |
| 1 | 2 | 3 | | | |
| 1 | Карабура (бассейн р. Талас, ос 4) | Верховья р. Карабура, в 1,4 км северо-западнее перевала Карабура | 3140 | Ю | 1962—66 |
| 2 | Карагайлы (бассейн р. Талас, ос 2) | В долине р. Карагайлы, в 0,66 км от устья | 2440 | С | 1962—66 |
| 3 | Карагайлы (бассейн р. Талас, сп 4) | Левый берег р. Карагайлы, в 2,2 км выше устья | 2500 | СВ | 1965—66 |
| 4 | Бешташ (бассейн р. Талас, сп 5) | Левый берег р. Бешташ, в 0,25 км выше устья р. Карагайлы | 2240 | гориз. | 1965—66 |
| 5 | Бешташ (бассейн р. Талас, сп 8) | Левый берег р. Бешташ, в 1,4 км выше устья р. Чон-Тубей | 2440 | С | 1965—66 |
| 6 | Караганшинык (бассейн р. Талас, сп 10) | Правый берег р. Караганшинык, в 3,4 км выше устья и в 0,5 км выше слияния трех ее составляющих | 3060 | С | 1965—66 |
| 7 | Туюктор (бассейн р. Талас, ос 1) | Река Туюктор, в 3,5 км от устья | 3380 | В | 1960—66 |
| 8 | Туюктор (бассейн р. Талас, сп 13) | Левый берег р. Туюктор (левый верхний приток, впадающий в оз. Бешташ), в 3 км выше устья | 3280 | гориз. | 1965—66 |
| 9 | Бешташ (бассейн р. Талас, ос 3) | Истоки р. Бешташ, 1,7 км юго-юго-восточнее перевала | 3460 | СВ | 1962—66 |
| 10 | Бешташ (бассейн р. Талас, сп 15) | Правый берег р. Бешташ, 1,6 км юго-юго-западнее перевала Итагар | 3340 | Ю | 1965—66 |
| 11 | Бешташ (бассейн р. Талас, сп 14) | Правый берег р. Бешташ, в 2,8 км выше оз. Бешташ | 3200 | З | 1965—66 |
| 12 | Бешташ (бассейн р. Талас, сп 12) | Правый берег р. Бешташ, в 0,25 км ниже оз. Малый Бешташ | 3000 | Ю | 1965—66 |
| 13 | Бешташ (бассейн р. Талас, сп 11) | Правый берег р. Бешташ, в 1,3 км выше устья р. Караганшинык | 2800 | гориз. | 1965—66 |
| 14 | Бешташ (бассейн р. Талас, сп 9) | Правый берег р. Бешташ, в 1,1 км выше устья р. Тerek-Туюктор | 2560 | гориз. | 1965—66 |
| 15 | Чон-Тубей (бассейн р. Талас, сп 7) | Истоки р. Чон-Тубей, 5,8 км южнее перевала Тубей-Колба | 3350 | гориз. | 1965—66 |
| 16 | Чон-Тубей (бассейн р. Талас, сп 6) | Правый берег р. Чон-Тубей, в 2,2 км выше устья | 2650 | ЮЮЗ | 1965—66 |
| 17 | Чон-Корумды (бассейн р. Талас, сп 3) | Верховье р. Чон-Корумды, в 4,4 км выше устья | 2820 | З | 1965—66 |
| 18 | Бешташ (бассейн р. Талас, сп 2) | Правый берег р. Бешташ, в 0,25 км выше устья р. Кичи-Корумды | 2020 | З | 1965—66 |
| 19 | Бешташ (бассейн р. Талас, сп 1) | Правый берег р. Бешташ, в 1,6 км ниже устья р. Каинды | 1840 | С | 1965—66 |
| 20 | Чон-Кошой (бассейн р. Талас, сп 11) | Правый берег р. Чон-Кошой, в 4,0 км ниже устья р. Орто-Кошой | 2700 | З | 1951—66 |
| 21 | Чон-Кошой (бассейн р. Талас, сп 4) | Левый берег р. Чон-Кошой, в 0,27 км юго-западнее устья р. Орто-Кошой | 2835 | З, С, С, С3 | 1938—66 |
| 22 | Орто-Кошой (бассейн р. Талас, сп 6) | Левый берег р. Орто-Кошой, в 1,35 км выше устья | 2970 | С, гориз., С3 | 1939—66 |
| 23 | Чон-Кошой (бассейн р. Талас, сп 8) | Бассейн р. Чон-Кошой, на правом берегу правой составляющей р. Орто-Кошой (Чонг-Тур), в 0,5 км выше устья | 3030 | ВСВ | 1951—66 |
| 24 | Орто-Кошой (бассейн р. Талас, сп 7) | Правый берег р. Орто-Кошой, в 3,2 км выше устья | 3180 | ЗЮЗ | 1951—66 |
| 25 | Чон-Кошой (бассейн р. Талас, сп 5) | Правый берег р. Чон-Кошой, в 2,2 км выше устья р. Орто-Кошой | 2960 | С, З, Ю, З | 1938—66 |
| 26 | Чон-Кошой (бассейн р. Талас, сп 9) | Правый берег р. Чон-Кошой, в 1,5 км выше устья р. Орто-Кошой | 2880 | З | 1951—66 |

| №/п. № | Название бассейна и номер осадкомера или снегопункта | Местоположение | Абсолютная высота, м | Экспозиция склона | Период наблюдений (годы) |
|-----------|--|---|----------------------|-----------------------|----------------------------|
| | | | | | 1 2 3 4 5 6 |
| 27 | Чон-Кошой (бассейн р. Талас, сп 10) | Правый берег р. Чон-Кошой, в 2,5 км ниже устья р. Орто-Кошой | 2790 | 3 | 1951—66 |
| 28 | Чон-Кошой (бассейн р. Талас, сп 3) | Правый берег р. Чон-Кошой, в 4,7 км ниже устья р. Орто-Кошой | 2650 | З, С, Ю | 1938—66 |
| 29 | Каракол (бассейн р. Талас, сп 8) | Правый берег р. Каракол, в 0,17 км ниже устья р. Дон-Корумды | 2810 | С | 1950—63 |
| 30 | Каракол (бассейн р. Талас, сп 9) | Правый берег р. Каракол, в 0,7 км выше устья р. Дон-Корумды | 2875 | СЗ | 1950—63 |
| 31 | Каракол (бассейн р. Талас, сп 11) | Левый берег р. Каракол, в 1,5 км выше устья р. Чон-Корумды | 3110 | СВ | 1950—63 |
| 32 | Каракол (бассейн р. Талас, ос 1) | В верховьях р. Каракол, в 4,5 км на левом берегу безымянного притока | 3450 | СВ | 1955—66 |
| 33 | Каракол (бассейн р. Талас, сп 12) | Правый берег р. Каракол, в 3,7 км выше устья р. Чон-Корумды | 3335 | ССЗ | 1950—63 |
| 34 | Каракол (бассейн р. Талас, сп 6) | Правый берег р. Каракол, в 2,8 км выше устья р. Чон-Корумды | 3260 | СЗ | 1939—63 |
| 35 | Уччат (бассейн р. Талас, ос 2) | Верховья р. Уччат, в 7,2 км от устья, в 0,5 км севернее ледника Безымянного | 3640 | СЗ | 1962—63 |
| 36 | Каракол (бассейн р. Талас, сп 7) | Правый берег р. Каракол, в 1,9 км выше устья р. Джаяраташ | 3075 | гориз., З | 1939—63 |
| 37 | Джаараташ (бассейн р. Талас сп 10) | Правый берег р. Джаяраташ, в 1,3 км выше устья | 3020 | СВ | 1950—63 |
| 38 | Каракол (бассейн р. Талас, сп 5) | Правый берег р. Каракол, в 1,2 км выше устья р. Караколашу | 2990 | ССЗ, С, Ю, гориз., ЮЗ | 1937—63 |
| 39 | Каракол (бассейн р. Талас, сп 4) | Правый берег р. Каракол, против устья р. Орто-Корумды | 2790 | гориз., С, В, В | 1937—63 |
| 40 | Киндыкташ (бассейн р. Талас, ос 3) | В долине р. Киндыкташ, в 2,6 км от устья | 3400 | З | 1962—66 |

Примечание. В графе 5 для снегопунктов, имеющих от двух до пяти площадок, дается экспозиция всех площадок.

ТАБЛИЦА IV

ЭКСПЕДИЦИОННЫЕ И СТАЦИОНАРНЫЕ ИССЛЕДОВАНИЯ ЛЕДНИКОВ

| №/п. № | Номера ледников по схеме | Время проведения работ | Характеристика (состав) проведенных исследований | Организация, проводившая работы | № источников по табл. V |
|-----------|----------------------------------|------------------------|--|---------------------------------|----------------------------|
| | | | | | 1 2 3 4 5 6 |
| 1 | 11—13, 25—28 | 1897 | В 1897 г. Г. Б. Леонов посетил ледники | Г. Б. Леонов | 15 |
| 2 | 11—13, 25—28 | 1897 | В 1897 г. Б. А. Федченко посетил ледники | Б. А. Федченко | 22 |
| 3 | Верховья рек Каракол и Чон-Кошой | 1923 | Инструментальная съемка ледника на одном из левых притоков Каракола и описание ледников в верховьях Каракола и Чон-Кошой | СРЕДАЗМЕТ | |
| 4 | 192, 193, 206—209 | 1923 | Дается описание ледников | СРЕДАЗМЕТ | 6 |
| 5 | 192, 193 | 1926 | Дается описание ледников, основные морфометрические характеристики (размеры ледников, высоты их залегания и т. д.) | СРЕДАЗМЕТ | |
| 6 | 192, 193 | 1928 | Установлены метки у ледника, произведена инструментальная съемка языка, определена высота залегания конца ледника | СРЕДАЗМЕТ | |

| п/п № | Номера ледников по схеме | Время проведения работ | Характеристика (состав) проведенных исследований | Организация, проводившая работы | № источников по табл. V |
|-------|--|------------------------|--|---------------------------------|-------------------------|
| 1 | 2 | 3 | 4 | 5 | 6 |
| 7 | 11—13, 192, 193 | 1929 | Описание ледников и рельефа окружающего их района. Даются некоторые морфометрические характеристики ледника Чонг-Тур. Проведена его повторная съемка | СРЕДАЗМЕТ | 11 |
| 8 | 14, 15, 23, 38, 40, 42, 52, 53, 61, 62, 78—80, 82, 93—95, 98, 100, 102, 105, 106, 109, 110, 112, 113, 115, 116, 117, 119—122, 124, 125, 127, 129, 132, 135, 136, 137, 142, 145, 148—152, 154—159, 165, 167, 172, 181, 182, 184 | VIII—IX 1962 | Гляциологическое рекогносцировочное обследование ледников с проведением полуинструментальной съемки. Уточнение их изображения на крупномасштабных картах | УГМС КиргССР | |
| 9 | 1—12, 16, 17, 20, 22, 31, 32, 43, 44, 66, 68, 69, 76, 77, 83, 84, 85, 87—89, 92, 191, 204, 206, 207 | VIII—IX 1962 | Гляциологическое рекогносцировочное обследование ледников и уточнение их изображения на крупномасштабных картах | УГМС КиргССР | |
| 10 | 192 | 1961, 1963, 1964, 1966 | Повторные съемки конца ледника | УГМС КиргССР | |

СПИСОК РАБОТ, СОДЕРЖАЩИХ СВЕДЕНИЯ О ЛЕДНИКАХ

ТАБЛИЦА V

| п/п № | Номера ледников по схеме | Авторы и наименования работ | Место издания работ | Краткая аннотация |
|-------|--|--|---|--|
| 1 | 2 | 3 | 4 | 5 |
| 1 | Относится к району оледенения в целом | А болин Р. И. и Советкина М. М. Горные пастбища Талас-Сусамырского района Киргизской АССР | Материалы Комиссии экспедиционных исследований, вып. 27, серия Киргизия. Изд. АН СССР, Л., 1930 | Приводится краткая характеристика изменения температуры воздуха и осадков с изменением высоты местности |
| 2 | Относится к району оледенения р. Талас | Алиев З. А., Исаев Д. И. Таласская впадина | Изв. АН КиргССР, т. VI, вып. 1, Фрунзе, 1964 | Сведения по геоморфологии и тектонике бассейна р. Талас |
| 3 | Относится к району оледенения р. Талас | Алиев З. А. Гравитационные процессы в Таласской долине | Тезисы докладов итоговой научной сессии АН КиргССР, Фрунзе, 1965 | Геоморфология высокогорья Киргизского хребта и Таласского Алатау |
| 4 | Относится к району оледенения в целом | Бугаев В. А. и Петросянц М. А. Орография и осадки Таласской долины | Метеорология и гидрология, № 9, 1961 | Особенности распределения осадков в верховых рек Каракол и Учкошой |
| 5 | Относится к району оледенения р. Талас | Григорьев А. А. О некоторых особенностях режима увлажнения горного обрамления Таласской долины | Сб. работ. ФГМО УГСМ КиргССР, вып. 1, Фрунзе, 1964 | Данные об осадках верховьев р. Талас, особенности распределения их по сезонам года, некоторые характеристики речного стока |
| 6 | 192, 193, 206—209 | Давыдов Л. К. О гидрологических особенностях р. Талас | Вестник ирrigации, № 3, Ташкент, 1924 | Приводятся данные о паводках, фильтрации, испарении и наносах р. Талас |
| 7 | Относится к району оледенения р. Талас | Занин А. А. Материалы к естественноисторической и рыбозоологической характеристике Таласского бассейна | Тр. Кирг. компл. эксп., т. III, вып. 1, 1935 | Характеристика системы р. Талас, гидрорежима, климата, почв, растительности |
| 8 | Относится к району оледенения в целом | Каминский И. Я. Гидроэнергетические ресурсы Киргизской АССР и их освоение | Проблемы Кирг. АССР, т. 1, 1936 | Краткая характеристика водной системы р. Талас |
| 9 | Относится к району оледенения в целом | Климат Киргизской ССР | Изд. «ИЛИМ», Фрунзе, 1965 | Климатическая характеристика бассейна р. Талас |
| 10 | Относится к району оледенения в целом | Корженевский Н. Л. Опыт подсчета площади оледенения гор Туркестана | Вестник ирrigации, № 6, Ташкент, 1924 | Некоторые сведения по оледенению Таласского Алатау |

| № | Номера ледников по схеме | Авторы и наименование работ | Место издания работ | Краткая аннотация |
|----|---------------------------------------|--|--|---|
| | | | | 5 |
| 1 | 2 | 3 | 4 | |
| 11 | 11—13, 192, 193 | Корженевский Н. Л. Отчет о поездке на ледники рек Пскема, Таласа и Сусамыра в 1929 г. | Приложение к декадному бюллетеню СРЕДАЗМЕТ, № 11. Ташкент, ноябрь, 1929 | Приводится характеристика ледников, список высот |
| 12 | 11—13, 25—28, 192, 193, 206—209 | Корженевский Н. Л. Каталог ледников Средней Азии | Ташкент, 1930 | Общие сведения о ледниках, местоположении, высоте концов ледников |
| 13 | Относится к району оледенения в целом | Кугай В. К. Подобные структуры Таласской впадины | АН КиргССР, Фрунзе, 1966 | |
| 14 | Относится к району оледенения в целом | Лац В. А. и Николаев В. А. Гидроэнергетические ресурсы Киргизской АССР. В кн. «Атлас энергетических ресурсов СССР» | «Среднеазиатские республики», т. II, вып. 16, 1934 | Гидрографическое описание р. Талас |
| 15 | 11—13, 25—28 | Леонов Г. Б. Ледники в Таласском Алатау | ИТОРГО, ч. I, 1898 | |
| 16 | Относится к району оледенения в целом | Максимов Н. В. Основные закономерности современного оледенения в Киргизском Алатау | «Современные вопросы гляциологии и палеогляциологии». Геогр. сб. XVII. Изд. «Наука», М.—Л., 1964 | |
| 17 | Относится к району оледенения в целом | Максимов Н. В., Щербаков М. П., Вернер Е. Ф. Лавины Киргизии | Изд. «Кыргызстан», Фрунзе, 1965 | Краткая характеристика лавинного режима бассейна р. Талас |
| 18 | Относится к району оледенения в целом | Николаев В. А. К стратиграфии и тектонике Таласского Алатау | Изв. Главгеолразведупра, № 8, 1930 | Орография и оледенение, третичные отложения бассейна р. Талас |
| 19 | Относится к району оледенения в целом | Ольдекоп Э. Опыты по вопросу о роли испарения и конденсации в питании Туркестанских ледников | Вестник ирригации, № 6, Ташкент, 1924 | Некоторые сведения о ледниках Таласского Алатау |
| 20 | Относится к району оледенения в целом | Ройченко Г. И. Почвенно-географический очерк Таласской долины | Изв. АН КиргССР, т. VI, вып. 1, Фрунзе, 1964 | |
| 21 | Относится к району оледенения в целом | Тимофеев Е. М. Соотношение между образованием стока и рассеиванием его в условиях Средней Азии | Соц. наука и техника, № 3, 1935 | Данные о стоке р. Талас и его рассеивании |
| 22 | 11—13, 25—28 | Федченко Б. А. Поездка в Западный Тянь-Шань для изучения ледников Таласского Алатау | ИРГО, т. 34, 1898 | |
| 23 | Относится к району оледенения в целом | Челпанова О. М. Климат СССР. «Средняя Азия» | Вып. 3. Гидрометеоиздат, Л., 1963 | Краткая климатическая характеристика бассейна в целом |
| 24 | Относится к району оледенения в целом | Шульц В. Л. Гидрологическое районирование Средней Азии | Соц. наука и техника, № 4, 1935 | |
| 25 | Относится к району оледенения в целом | Шульц В. Л. Реки Средней Азии | Гидрометеоиздат, Л., 1965 | Общая характеристика бассейнов рек Талас, Асса, характеристика стока, гидрографическое описание |

Фондовые материалы

| | | | | |
|----|--|---|-----------------------------|---|
| 26 | Относится к району оледенения р. Талас | Ильясов А. Т. Изменение и формирование стока в Таласской межгорной долине | Фрунзе, 1961 (УГМС КиргССР) | Приводится физическое объяснение изменения руслового стока в Таласской долине, величины основных составляющих |
| 27 | Относится к району оледенения в целом | Селоустыев А. В. Динамико-климатическая характеристика Киргизии, ч. III, Таласская долина | Фрунзе, 1949 (АН КиргССР) | |

ДОПОЛНИТЕЛЬНЫЕ МАТЕРИАЛЫ

ТАБЛИЦА 5

ЛИНЕЙНЫЕ ХАРАКТЕРИСТИКИ МОРЕН (м)

| № по схеме | Название ледника | Конечная морена | | | Боковая морена | | | Срединная морена | | |
|------------|------------------|-----------------|--------|--------|----------------|--------|--------|------------------|--------|--------|
| | | длина | ширина | высота | длина | ширина | высота | длина | ширина | высота |
| 1 | 2 | 3 | 4 | 5 | 6 | 7 | 8 | 9 | 10 | 11 |
| 31 | № 31 | | | | 70 | 90 | 2,5 | | | |
| 35 | № 35 | 170 | 80 | 5,0 | 30 | 50 | 2,5 | | | |
| 53 | № 53 | | | | 100 | 10 | 2 | | | |
| 68 | № 68 | 900 | 150 | 25 | | | | | | |
| 72 | № 72 | 70 | 120 | 4 | 55 | 21 | 0,8 | 600 | 50 | 0,7 |
| 73 | № 73 | 130 | 55 | 2,5 | 40 | 17 | 1 | 1,1 | 23 | 0,4 |
| 76 | Корумтор лев. | 65 | 100 | 5,5 | 60 | 30 | 1,5 | 65 | 25 | 0,5 |
| 93 | № 93 | 120 | 400 | 20 | | | | | | |
| 94 | № 94 | 660 | 150 | 50 | 400 | 60 | 5 | 100 | 60 | 0,4 |
| 98 | № 98 | 250 | 75 | 3 | | | | | | |
| 141 | № 141 | 360 | 75 | 3,5 | 70 | 60 | 1,2 | | | |
| 142 | № 142 | 200 | 130 | 7 | 50 | 35 | 0,5 | 100 | 45 | 0,3 |
| 144 | № 144 | 170 | 210 | 15 | 750 | 200 | 20 | | | |
| 145 | № 145 | 2800 | 400 | 20 | 100 | 40 | 4 | | | |
| 148 | № 148 | | | | 150 | 50 | 6 | | | |
| 149 | № 149 | 200 | 350 | 10 | | | | | | |
| 150 | Чирканак | 100 | 750 | 5 | 150 | 50 | 2 | | | |
| 153 | № 153 | 500 | 400 | 21 | | | | | | |
| 154 | № 154 | 160 | 100 | 6 | | | | | | |
| 156 | № 156 | 155 | 500 | 33 | | | | | | |
| 157 | № 157 | 150 | 150 | 11 | | | | | | |
| 158 | № 158 | 350 | 320 | 15 | | | | | | |
| 159 | № 159 | 100 | 400 | 25 | | | | | | |
| 160 | № 160 | 150 | 400 | 4 | | | | | | |
| 162 | № 162 | 250 | 150 | 30 | | | | | | |
| 166 | № 166 | 200 | 270 | 21 | | | | | | |
| 167 | № 167 | 100 | 360 | 18 | | | | | | |
| 168 | № 168 | 180 | 300 | 15 | | | | | | |
| 170 | № 170 | 130 | 380 | 27 | | | | | | |
| 181 | № 181 | 240 | 440 | 9 | | | | | | |
| 185 | № 185 | 240 | 440 | 9 | | | | | | |

ТАБЛИЦА 6

УГЛЫ НАКЛОНА ПОВЕРХНОСТИ ЛЕДНИКОВ (град)

| № п/п | Номер по схеме | Углы наклона | | | | Примечание | № п/п | Номер по схеме | Углы наклона | | | | Примечание | | |
|-------|----------------|--------------|---------------|---------------|------------------|------------|---|----------------|--------------|----|----|----|------------|----|---|
| | | конца языка | средней части | верхней части | фирновой области | | | | 1 | 2 | 3 | 4 | 5 | 6 | 7 |
| 1 | 2 | 3 | 4 | 5 | 6 | 7 | 8 | 1 | 2 | 3 | 4 | 5 | 6 | 7 | 8 |
| 1 | 1 | 18 | 28 | 13 | 36 | 11 | Продольный профиль средней составляющей ледника | 15 | 72 | 22 | 16 | 27 | 30 | 14 | |
| | | | | | | | | 16 | 116 | 11 | 8 | | 22 | | |
| | | | | | | | | 17 | 117 | 20 | 9 | | 25 | | |
| | | | | | | | | 18 | 118 | 10 | 10 | | 27 | | |
| | | | | | | | | 19 | 119 | 22 | 17 | | 35 | | |
| | | | | | | | | 20 | 120 | 20 | 12 | | 30 | | |
| | | | | | | | | 21 | 121 | 15 | 8 | | 25 | | |
| | | | | | | | | 22 | 122 | 15 | 22 | | 38 | 43 | |
| 2 | 3 | 9 | 25 | 9 | 32 | 10 | | | | | | | | | |
| 3 | 22 | 12 | 17 | 20 | | | | | | | | | | | |
| 4 | 23 | 19 | 21 | 17 | 27 | 10 | | | | | | | | | |
| 5 | 24 | 21 | 27 | 27 | 33 | | | | | | | | | | |
| 6 | 31 | 20 | 16 | 40 | 40 | | | | | | | | | | |
| 7 | 33 | 18 | 35 | 35 | 40 | | | | | | | | | | |
| 8 | 35 | 25 | 12 | 36 | | | | | | | | | | | |
| 9 | 36 | 23 | 17 | 33 | | | | | | | | | | | |
| 10 | 37 | 23 | 19 | | | | | | | | | | | | |
| 11 | 53 | 20 | 16 | | | | | | | | | | | | |
| 12 | 54 | 27 | 1; | 37 | | | | | | | | | | | |
| 13 | 70 | 19 | 15 | 30 | | | | | | | | | | | |
| 14 | 71 | 23 | 14 | | | | | | | | | | | | |

ТАБЛИЦА 7

РАСПРЕДЕЛЕНИЕ ОСАДКОВ ПО ПЕРИОДАМ ГОДА В БАССЕЙНЕ р. ТАЛАС (мм)

| Бассейн реки, номер осадкомера | Номера осадков по схеме | Период наблюдений (годы) | Максимум | | | Минимум | | | Средняя сумма осадков | | | Примечание |
|--------------------------------|-------------------------|--------------------------|-----------------------|---------------------|------|-----------------------|---------------------|-----|-----------------------|---------------------|------|------------|
| | | | летний период (VI—IX) | зимний период (X—V) | год | летний период (VI—IX) | зимний период (X—V) | год | летний период (VI—IX) | зимний период (X—V) | год | |
| 1 | 2 | 3 | 4 | 5 | 6 | 7 | 8 | 9 | 10 | 11 | 12 | 13 |
| Верховья р. Каракол, № 1 | 32 | 1955—66 | 908 | 868 | 1254 | 168 | 202 | 568 | 480 | 481 | 961 | |
| Верховья р. Уччат, № 2 | 35 | 1962—66 | 591 | 576 | 1167 | 230 | 151 | 431 | 346 | 351 | 697 | |
| р. Киндикташ, № 3 | 40 | 1962—66 | 713 | 435 | 1148 | 217 | 184 | 488 | 401 | 277 | 678 | |
| р. Туюктар, № 1 | 7 | 1960—66 | 445 | 1062 | 1507 | 215 | 525 | 935 | 323 | 883 | 1207 | |
| р. Карагайлы, № 2 | 2 | 1962—66 | 593 | 285 | 808 | 138 | 213 | 391 | 328 | 241 | 570 | |
| р. Бешташ, № 3 | 9 | 1962—66 | 214 | 575 | 779 | 116 | 494 | 683 | 176 | 550 | 744 | |
| р. Карабура, № 4 | 1 | 1962—66 | 535 | 451 | 986 | 213 | 265 | 569 | 372 | 356 | 726 | |

ТАБЛИЦА 8

СРЕДНЯЯ МЕСЯЧНАЯ ТЕМПЕРАТУРА ВОЗДУХА НА ВЫСОТАХ ВЫШЕ 3000 м

| Месяц | Высота, м | | | | | | | |
|-------|-----------|------|------|------|------|------|------|------|
| | 3000 | 3200 | 3400 | 3600 | 3800 | 4000 | 4200 | 4400 |
| IV | -5,1 | | | | | | | |
| V | 2,2 | 0,1 | | | | | | |
| VI | 5,6 | 3,9 | 2,3 | | | | | |
| VII | 8,8 | 7,0 | 5,6 | -0,5 | -1,1 | | | |
| VIII | 8,3 | 8,1 | 7,2 | 4,2 | 2,8 | 1,4 | | |
| IX | 4,4 | 3,1 | 1,7 | 5,6 | 4,4 | 3,4 | 0,1 | |
| X | -1,2 | -2,6 | | 0,2 | | | 2,2 | -1,3 |
| | | | | | | | | 0,9 |

ТАБЛИЦА 9

СУММА ПОЛОЖИТЕЛЬНЫХ ТЕМПЕРАТУР ВОЗДУХА НА ВЫСОТАХ ВЫШЕ 3000 м

| Месяц | Высота, м | | | | | | | |
|-------|-----------|-------|-------|-------|-------|-------|------|------|
| | 3000 | 3200 | 3400 | 3600 | 3800 | 4000 | 4200 | 4400 |
| IV | | | | | | | | |
| V | 68,2 | 17,7 | | | | | | |
| VI | 167,1 | 116,1 | 68,1 | 23,0 | 2,9 | | | |
| VII | 275,4 | 219,6 | 176,8 | 132,8 | 89,4 | 46,0 | | |
| VIII | 258,5 | 50,4 | 283,7 | 201,4 | 133,1 | 104,0 | 10,4 | |
| IX | 137,5 | 95,5 | 54,4 | 17,8 | | | 66,8 | |
| X | 16,0 | 2,2 | | | | | | 31,2 |
| Сумма | 922,7 | 501,5 | 583,0 | 375,0 | 225,4 | 150,0 | 77,2 | 31,2 |

ТАБЛИЦА 10

ХАРАКТЕРИСТИКИ СТОКА ПРИТОКОВ РЕК ТАЛАС И АССА

| Река — пункт | Площадь водосбора, км ² | | Протяженность реки, км | | Многолетние характеристики стока | | | | средний годовой модуль стока, л/сек км ² | коэффициент вариации | | |
|---|------------------------------------|-------------|------------------------|------------------------|--|--------------------|------------------------------|------|---|----------------------|--|--|
| | общая | выше 3000 м | от истока до устья | от гидропоста до устья | расход, м ³ /сек | | | | | | | |
| | | | | | средний за вегетационный период (V—IX) | наибольший, дата | наименьший минимальный, дата | | | | | |
| 1 | 2 | 3 | 4 | 5 | 6 | 7 | 8 | 9 | 10 | | | |
| р. Талас (Каракол) — с. Карабой, в 4 км выше устья р. Учкошой | 1160 | 299 | 662 | 562 | 12,9 | 15/VIII-58 81,2 | 24/IV-40 0,33 | 6,59 | 0,23 | | | |
| р. Учкошой — с. Карабой | 1210 | 530 | 40 | 40 | 16,3 | 29/IV-45 122 | 26—28/I-58 1,00 | 7,60 | 0,22 | | | |
| р. Талас — с. Карабой, в 2,6 км ниже устья р. Учкошой | 2450 | — | 662 | 555 | 26,6 | 14/IV-34 153 | 16/IV-40 0,94 | 6,41 | 0,23 | | | |
| р. Талас — с. Кировское | 7940 | — | 662 | 468 | 45,5 | 10/VII-31 233 | 17/IV-29 7,00 | 4,12 | 0,23 | | | |
| р. Колба — с. Колба | 218 | 115 | 33 | 8 | 2,64 | 7/VII-49 16,8 | 19/III-46 0,42 | 7,98 | 0,11 | | | |
| р. Бешташ — голова арыка Саз | 286 | 144 | 54 | 15 | 6,84 | 28/VI-45 55,4 | 31/XII-38 | 12,4 | 1,04 | | | |
| р. Урмарал — с. Октябрьское | 1120 | 340 | 69 | 21 | 15,7 | 24/VII-59 75,8 | 18/II-40 0,70 | 7,77 | 1,63 | | | |
| р. Кумыштаг — голова арыка Янги | 393 | 206 | 60 | 16 | 5,1 | 12/VI-35 28,0 | 14/II-39 0,23 | 6,89 | 1,02 | | | |
| р. Карабура — ущелье Коксай | 797 | 236 | 64 | 19 | 6,78 | 11/VI-62 52,1 | 18/I-41 0,00 | 4,59 | 1,94 | | | |
| р. Талас — ущелье Акташ | — | — | — | — | — | — | — | 13,7 | 0,23 | | | |
| р. Кенкол — устье р. Терскол | 406 | — | 43 | 11 | 4,28 | 14/V-50 37,2 | 26/II-35 0,18 | 5,88 | 0,35 | | | |
| р. Нельды — урочище Джургра | 153 | — | 35 | 14 | 1,27 | 9/V-35 14,3 | 1/VIII-40 0,00 | 4,57 | 0,39 | | | |
| р. Куркуреусу — урочище Чон-Курчан | 454 | 1 | 56 | 25 | 10,3 | 15/VII-53 40,2 | 16/III-48 0,84 | 13,2 | 0,16 | | | |

ТАБЛИЦА 11

СРЕДНИЙ МЕСЯЧНЫЙ СТОК ПРИТОКОВ РЕК ТАЛАС И АССА (m^3/sec)

| Расход воды | 1 | II | III | IV | V | VI | VII | VIII | IX | X | XI | XII | Год | III—VI | VII—IX | X—XI |
|--|--------|--------|--------|------|--------|--------|------|------|--------|------|------|------|--------|--------|--------|------|
| | 2 | 3 | 4 | 5 | 6 | 7 | 8 | 9 | 10 | 11 | 12 | 13 | 14 | 15 | 16 | 17 |
| р. Талас (Каракол) — с. Карабай, в 4 км выше устья р. Учкошой (1938—62 гг.) | | | | | | | | | | | | | | | | |
| Средний | 3,50 | 3,21 | 3,01 | 3,88 | 9,73 | 16,7 | 18,4 | 13,0 | 6,66 | 5,19 | 4,62 | 3,82 | 7,64 | | | |
| Наибольший | 4,77 | 4,22 | 4,08 | 8,74 | (18,6) | (33,9) | 28,0 | 23,7 | 10,0 | 7,35 | 6,18 | 5,23 | (11,3) | | | |
| Наименьший | (2,48) | (2,11) | (1,69) | 0,95 | 3,85 | 4,36 | 10,5 | 7,83 | 4,60 | 3,33 | 3,27 | 2,31 | (5,08) | | | |
| Средний месячный в % от годового | 3,8 | 3,5 | 3,3 | 4,2 | 10,6 | 18,2 | 20,0 | 14,2 | 7,3 | 5,7 | 5,0 | 4,2 | 100 | 36,3 | 41,5 | 22,2 |
| р. Учкошой — с. Карабай (1935—62 гг.) | | | | | | | | | | | | | | | | |
| Средний | 36,4 | 3,18 | 3,06 | 3,48 | 11,3 | 22,9 | 15,7 | 8,48 | 6,33 | 5,03 | 4,08 | 9,19 | | | | |
| Наибольший | 5,85 | 4,88 | 5,23 | 7,72 | 18,4 | 51,6 | 35,5 | 28,6 | 13,7 | 11,4 | 6,54 | 13,3 | | | | |
| Наименьший | 1,70 | 1,40 | 1,36 | 1,46 | 4,16 | 7,43 | 10,7 | 8,97 | 5,13 | 3,58 | 2,47 | 1,88 | 4,61 | | | |
| Средний месячный в % от годового | 3,3 | 2,9 | 2,8 | 3,2 | 10,2 | 20,8 | 20,9 | 14,2 | 7,7 | 5,7 | 4,6 | 3,7 | 100 | 37,0 | 42,8 | 20,2 |
| р. Талас — с. Карабай, в 2,6 км ниже устья р. Учкошой (1929—62 гг.) | | | | | | | | | | | | | | | | |
| Средний | 6,99 | 6,58 | 6,48 | 7,18 | 19,1 | 35,6 | 37,5 | 26,5 | 14,4 | 10,8 | 9,60 | 7,93 | 15,7 | | | |
| Наибольший | 8,90 | 8,89 | 8,49 | 14,2 | 36,5 | 66,8 | 56,7 | 51,1 | 29,6 | 18,7 | 14,8 | 12,2 | 24,0 | | | |
| Наименьший | 4,03 | 4,37 | 3,68 | 2,25 | 7,77 | 11,9 | 19,4 | 16,5 | 8,88 | 6,59 | 6,41 | 4,76 | 10,2 | | | |
| Средний месячный в % от годового | 3,7 | 3,5 | 3,4 | 3,8 | 10,1 | 18,9 | 19,9 | 14,1 | 7,6 | 5,7 | 5,1 | 4,2 | 100 | 36,2 | 41,6 | 22,2 |
| р. Колба — с. Колба (1945—62 гг.) | | | | | | | | | | | | | | | | |
| Средний | 1,01 | 0,92 | 0,84 | 0,91 | 1,52 | 3,03 | 3,82 | 2,87 | 1,96 | 1,50 | 1,33 | 1,20 | 1,74 | | | |
| Наибольший | 1,29 | 1,09 | 0,99 | 1,46 | 2,53 | 4,50 | 5,36 | 4,35 | 2,44 | 1,84 | 1,90 | 1,56 | 2,13 | | | |
| Наименьший | 0,79 | 0,67 | 0,57 | 0,66 | 0,88 | 1,72 | 2,05 | 1,86 | 1,26 | 1,19 | 1,08 | 0,98 | 1,30 | | | |
| Средний месячный в % от годового | 4,8 | 4,4 | 4,0 | 4,4 | 7,3 | 14,5 | 18,2 | 13,7 | 9,4 | 7,2 | 6,4 | 5,7 | 100 | 30,2 | 41,3 | 28,5 |
| р. Кенккол — устье р. Терекол (1929—62 гг.) | | | | | | | | | | | | | | | | |
| Средний | 0,74 | 0,65 | 0,74 | 2,28 | 7,49 | 17,59 | 3,48 | 1,72 | 1,15 | 0,99 | 0,93 | 0,87 | 2,39 | | | |
| Наибольший | 1,40 | 1,04 | 1,02 | 6,54 | 15,4 | 16,9 | 9,44 | 4,99 | 2,01 | 1,37 | 1,60 | 1,58 | 4,14 | | | |
| Наименьший | 0,51 | 0,31 | 0,39 | 0,61 | 1,55 | 0,79 | 1,05 | 0,81 | 0,63 | 0,61 | 0,61 | 0,48 | 0,77 | | | |
| Средний месячный в % от годового | 2,6 | 2,3 | 2,6 | 8,0 | 26,2 | 26,5 | 12,2 | 6,0 | 4,0 | 3,4 | 3,2 | 3,0 | 100 | 63,3 | 22,2 | 14,5 |
| р. Бешташ — голова арыка Саз (1927—62 гг.) | | | | | | | | | | | | | | | | |
| Средний | 1,11 | 1,03 | 1,01 | 1,20 | 11,2 | 9,76 | 5,77 | 2,95 | 1,45 | 1,28 | 1,28 | 3,55 | | | | |
| Наибольший | 2,43 | 2,22 | 2,02 | 2,17 | 9,59 | 16,4 | 13,8 | 12,0 | 4,09 | 2,52 | 3,13 | 2,97 | 4,16 | | | |
| Наименьший | 0,76 | 0,69 | 0,72 | 0,81 | 1,39 | (4,50) | 3,37 | 2,07 | (1,19) | 0,91 | 0,91 | 0,84 | (2,40) | | | |
| Средний месячный в % от годового | 2,6 | 2,4 | 2,3 | 2,8 | 10,5 | 2,60 | 22,5 | 13,4 | 6,8 | 4,3 | 3,4 | 3,0 | 100 | 41,6 | 42,7 | 15,7 |

| Расход воды | | 1 | II | III | IV | V | VI | VII | VIII | IX | X | XI | XII | Год | III—VI | VII—IX | X—XI |
|--|--------|------|------|--------|--------|------|--------|--------|--------|-------|-------|--------|------|------|--------|--------|------|
| 1 | 2 | 3 | 4 | 5 | 6 | 7 | 8 | 9 | 10 | 11 | 12 | 13 | 14 | 15 | 16 | 17 | |
| Средний . . . | 0,24 | 0,24 | 0,25 | 0,71 | 2,40 | 2,14 | 0,94 | 0,51 | 0,34 | 0,31 | 0,29 | 0,27 | 0,70 | | | | |
| Наибольший . . . | 0,34 | 0,38 | 0,37 | 1,99 | (4,80) | 5,52 | 2,34 | 1,42 | 0,60 | 0,45 | 0,48 | 0,50 | 1,24 | | | | |
| Наименьший . . . | 0,070 | 0,12 | 0,13 | 0,12 | 0,41 | 0,27 | 0,17 | 0,070 | 0,13 | 0,060 | 0,030 | 0,076 | 0,25 | | | | |
| Средний месячный в % от годового . . . | 2,8 | 2,8 | 2,9 | 8,2 | 27,8 | 24,8 | 10,9 | 5,9 | 3,9 | 3,6 | 3,3 | 3,1 | 100 | 63,7 | 20,7 | 15,6 | |
| Средний . . . | 2,62 | 2,30 | 2,20 | 2,41 | 7,86 | 20,2 | 25,8 | 18,3 | 9,05 | 4,96 | 3,72 | 3,00 | 8,70 | | | | |
| Наибольший . . . | 4,54 | 4,03 | 3,81 | 4,02 | 14,6 | 30,1 | (39,6) | 25,5 | 11,6 | 8,44 | 6,28 | 5,12 | 11,0 | | | | |
| Наименьший . . . | 1,88 | 1,25 | 1,37 | 1,49 | 3,11 | 10,2 | 17,5 | 11,4 | 6,00 | 3,06 | 2,59 | 2,11 | 6,35 | | | | |
| Средний месячный в % от годового . . . | 2,6 | 2,2 | 2,1 | 2,4 | 7,7 | 19,7 | 25,2 | 17,9 | 8,8 | 4,8 | 3,7 | 2,9 | 100 | 31,9 | 51,9 | 16,2 | |
| Средний . . . | 0,89 | 0,77 | 0,72 | 0,81 | 3,20 | 8,60 | 7,59 | 3,99 | 2,11 | 1,49 | 1,18 | 1,01 | 2,71 | | | | |
| Наибольший . . . | 1,40 | 1,23 | 1,10 | 1,57 | 5,97 | 15,2 | 12,9 | 7,18 | 3,70 | 2,67 | 2,12 | 1,60 | 4,12 | | | | |
| Наименьший . . . | 0,54 | 0,37 | 0,49 | (0,48) | 1,15 | 3,40 | 3,96 | 2,18 | 1,39 | 0,93 | 0,81 | 0,68 | 1,79 | | | | |
| Средний месячный в % от годового . . . | 2,8 | 2,4 | 2,2 | 2,5 | 9,9 | 26,6 | 23,5 | 12,3 | 6,5 | 4,6 | 3,6 | 3,1 | 100 | 41,2 | 42,3 | 16,5 | |
| Средний . . . | 1,28 | 1,16 | 1,15 | 1,20 | 2,59 | 7,64 | 10,9 | 8,40 | 4,38 | 2,51 | 1,83 | 1,46 | 3,66 | | | | |
| Наибольший . . . | 1,97 | 1,65 | 1,64 | 1,81 | 4,77 | 11,6 | (16,2) | (15,3) | (9,36) | 3,51 | 2,48 | 2,12 | 4,87 | | | | |
| Наименьший . . . | (0,75) | 0,76 | 0,73 | 0,80 | 1,19 | 3,51 | 6,10 | 5,28 | 2,47 | 1,54 | 1,13 | 0,65 | 2,50 | | | | |
| Средний месячный в % от годового . . . | 2,9 | 2,6 | 2,6 | 2,7 | 5,8 | 17,2 | 24,5 | 18,8 | 9,8 | 5,6 | 4,2 | 3,3 | 100 | 28,3 | 53,1 | 18,6 | |
| Средний . . . | 23,7 | 22,5 | 21,2 | 19,1 | 30,7 | 55,4 | 63,9 | 48,5 | 30,2 | 26,7 | 27,9 | 25,9 | 32,7 | | | | |
| Наибольший . . . | 28,0 | 27,1 | 26,2 | 32,9 | 105 | 55,0 | 130 | 92,1 | 48,4 | 37,4 | 34,2 | 31,6 | 43,9 | | | | |
| Наименьший . . . | 14,2 | 13,6 | 10,7 | 8,95 | 14,1 | 13,9 | 24,6 | 27,7 | 16,0 | 13,1 | 16,3 | 15,5 | 23,3 | | | | |
| Средний месячный в % от годового . . . | 6,0 | 5,7 | 5,4 | 4,8 | 7,8 | 14,0 | 16,2 | 12,3 | 7,6 | 6,7 | 7,0 | 6,5 | 100 | 32,0 | 36,1 | 31,9 | |
| Средний . . . | 2,47 | 2,29 | 2,23 | 2,42 | 3,96 | 9,75 | 16,0 | 14,2 | 7,49 | 4,13 | 3,25 | 2,76 | 5,98 | | | | |
| Наибольший . . . | 3,15 | 3,00 | 3,16 | 5,04 | 6,30 | 15,1 | 24,3 | 18,8 | 13,1 | 6,35 | 4,49 | (3,90) | 8,30 | | | | |
| Наименьший . . . | 1,67 | 1,40 | 1,28 | 1,25 | 2,28 | 5,92 | 10,4 | 9,19 | 4,85 | 2,65 | 2,07 | 1,80 | 4,46 | | | | |
| Средний месячный в % от годового . . . | 3,5 | 3,2 | 3,1 | 3,4 | 5,6 | 13,7 | 22,5 | 20,0 | 10,6 | 5,8 | 4,7 | 3,9 | 100 | 25,8 | 53,1 | 21,1 | |

р. Нельды — уроцище Джурга (1929—62 гг.)

р. Урмарал — с. Октябрьское (1936—62 гг.)

р. Кумыштаг — голова арыка Янги (1929—62 гг.)

р. Карабура — ущелье Коксай (1927—62 гг.)

р. Тадас — с. Киропское (1924—62 гг.)

р. Куркуреу — уроцище Чон-Курчан (1927—62 гг.)

ТАБЛИЦА 12

ХАРАКТЕРИСТИКИ СТОКА ВЗВЕШЕННЫХ НАНОСОВ В БАССЕЙНАХ РЕК ТАЛАС И АССА

| Средние расходы наносов, кг/сек | | | | | | | | | | | | | Годовой сток наносов | Наибольший средний расход наносов, кг/сек | Наименьший средний расход наносов, кг/сек | | | |
|---------------------------------|----|-----|----|---|----|-----|------|----|----|----|-----|-----|----------------------|---|---|------|--------|------|
| I | II | III | IV | V | VI | VII | VIII | IX | X | XI | XII | год | тыс. г | т/км ² | расход | дата | расход | дата |
| 1 | 2 | 3 | 4 | 5 | 6 | 7 | 8 | 9 | 10 | 11 | 12 | 13 | 14 | 15 | 16 | 17 | 18 | 19 |

р. Талас (Каракол) — с. Караой, в 2,6 км ниже устья р. Учкошой

| | | | | | | | | | | | | | | | | | | |
|-------|-------|-------|------|------|------|------|------|------|-------|-------|-------|------|----|---|----|---------|----------|----|
| 0,032 | 0,045 | 0,043 | 0,18 | 1,26 | 1,85 | 1,33 | 0,61 | 0,11 | 0,072 | 0,056 | 0,045 | 0,46 | 14 | 6 | 91 | 25/V-41 | 0,49 | 12 |
| — | — | — | — | — | — | — | — | — | — | — | — | — | — | — | — | — | 13/VI-47 | |

р. Колба — с. Колба

| | | | | | | | | | | | | | | | | | | |
|-------|-------|-------|-------|-------|------|------|-------|-------|-------|-------|-------|-------|---|-----|-----|----------|---|---|
| 0,004 | 0,004 | 0,009 | 0,018 | 0,048 | 0,24 | 0,22 | 0,034 | 0,012 | 0,011 | 0,006 | 0,004 | 0,005 | 2 | 9,2 | 4,4 | 6/VII-60 | | |
| — | — | — | — | — | — | — | — | — | — | — | — | — | — | — | — | — | — | — |

р. Кепкол — устье р. Терскол

| | | | | | | | | | | | | | | | | | | |
|-------|-------|-------|-------|------|------|-------|-------|-------|-------|-------|-------|------|---|-----|----|---------|---|---|
| 0,002 | 0,002 | 0,004 | 0,043 | 0,25 | 0,26 | 0,055 | 0,013 | 0,005 | 0,002 | 0,004 | 0,002 | 0,06 | 2 | 4,9 | 14 | 4/VI-60 | | |
| — | — | — | — | — | — | — | — | — | — | — | — | — | — | — | — | — | — | — |

р. Талас — с. Кировское

| | | | | | | | | | | | | | | | | | | |
|------|------|------|------|-----|----|----|-----|------|------|------|------|-----|-----|----|-----|-----------|----|---------|
| 0,32 | 0,31 | 0,51 | 0,75 | 3,9 | 21 | 14 | 6,6 | 0,45 | 0,30 | 0,41 | 0,37 | 4,1 | 130 | 16 | 640 | 4/VIII-54 | 16 | 16/V-47 |
| — | — | — | — | — | — | — | — | — | — | — | — | — | — | — | — | — | — | — |

р. Куркуреусу — урочище Чон-Курчан

| | | | | | | | | | | | | | | | | | | |
|-------|-------|-------|------|------|-----|-----|-----|------|-------|-------|-------|-----|----|-----|-----|---------|---|---|
| 0,027 | 0,023 | 0,014 | 0,18 | 0,20 | 2,5 | 1,3 | 2,4 | 0,52 | 0,051 | 0,039 | 0,019 | 1,6 | 50 | 115 | 6,6 | 13/VIII | | |
| — | — | — | — | — | — | — | — | — | — | — | — | — | — | — | — | — | — | — |

П р и м е ч а н и е. В числителе дан средний расход наносов за месяц, в знаменателе — процент от среднего годового расхода.

ТАБЛИЦА 13
СООТНОШЕНИЕ СТОКА ПО ИСТОЧНИКАМ ПИТАНИЯ

| Река — пункт | 1 | Вид питания, % | | | |
|-------------------------------------|----|----------------|---------------------------------|---------------------|---|
| | | грунтовое | снеговое на высотах ниже 3000 м | снеговое и дождевое | ледниковое и снеговое высокогорной зоны |
| | 2 | 3 | 4 | 5 | |
| Талас — гп Караой . . | 48 | 2 | 14 | 38 | |
| Урмарал — гп Октябрьское | 31 | 2 | 31 | 38 | |
| Куркуреусу — гп уро-чище Чон-Курчан | 46 | 3 | 24 | 30 | |

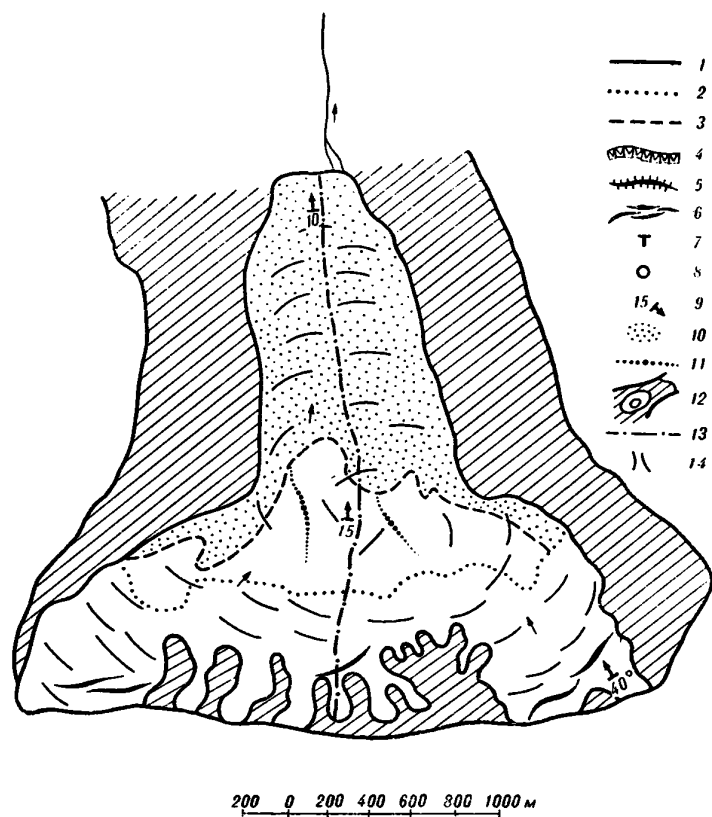


Рис. 23. Схематический план ледника № 11, бассейн р. Майдантал.
1 — достоверно определенная граница ледника, 2 — фирновая линия, 3 — граница сплошного моренного покрытия (мощность свыше 10 см), 4 — ледопады, 5 — швы закрытых трещин, 6 — участки массового распространения трещин, 7 — ледяные столы, 8 — ледниковые колодцы, 9 — уклоны поверхности ледника, направление и их величины (в град.), 10 — морены, 11 — моренные валы, 12 — свободные от льда поверхности, 13 — ось ледника, 14 — лавинный лоток.

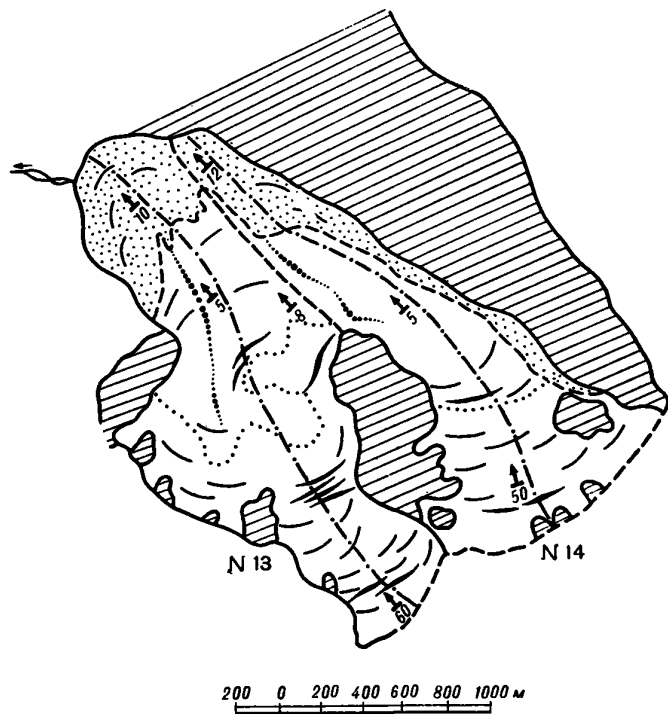


Рис. 24. Схематический план ледников № 13 и 14, бассейн р. Майдантал.
Усл. обозн. см. на рис. 23.

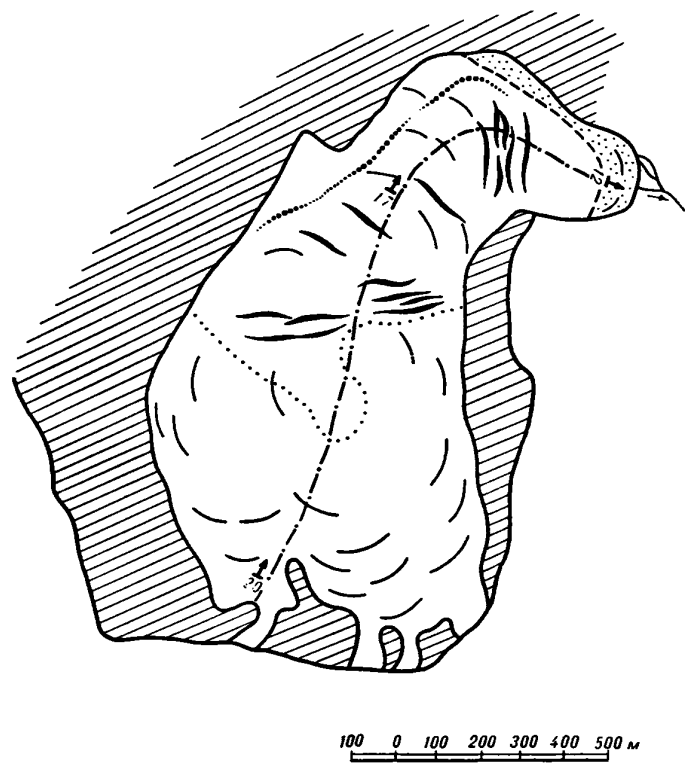


Рис. 25. Схематический план ледника № 22, бассейн р. Куручколь.
Усл. обозн. см. на рис. 23.

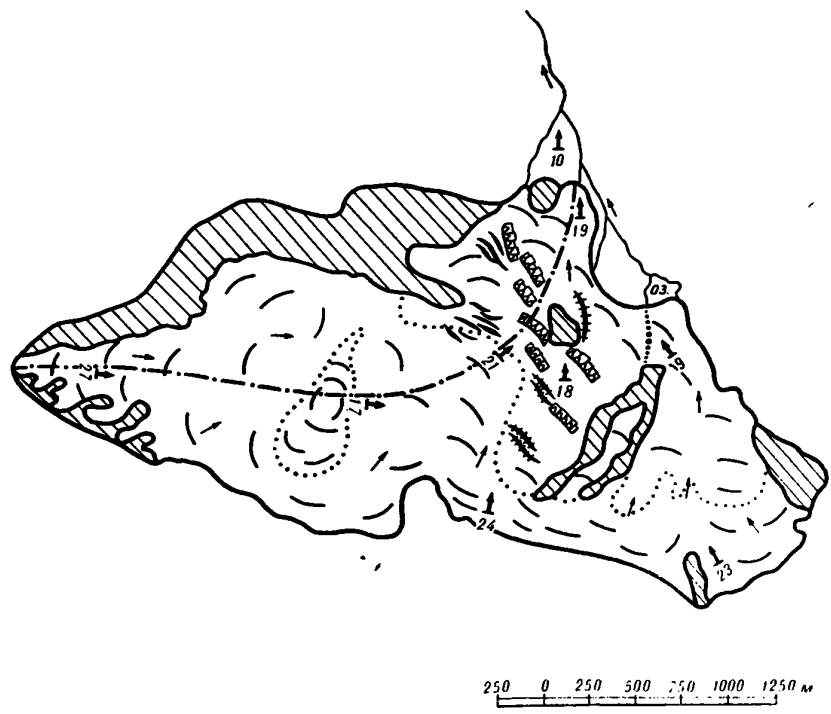


Рис. 26. Схематический план котловинного ледника Куручколь (№ 23), бассейн р. Куручколь.
Усл. обозн. см. на рис. 23.

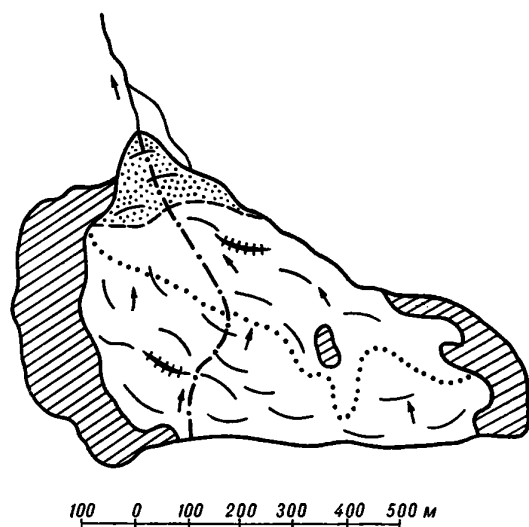


Рис. 27. Схематический план висячего ледника
№ 55, бассейн р. Бакаир.
Усл. обозн. см. на рис. 23.

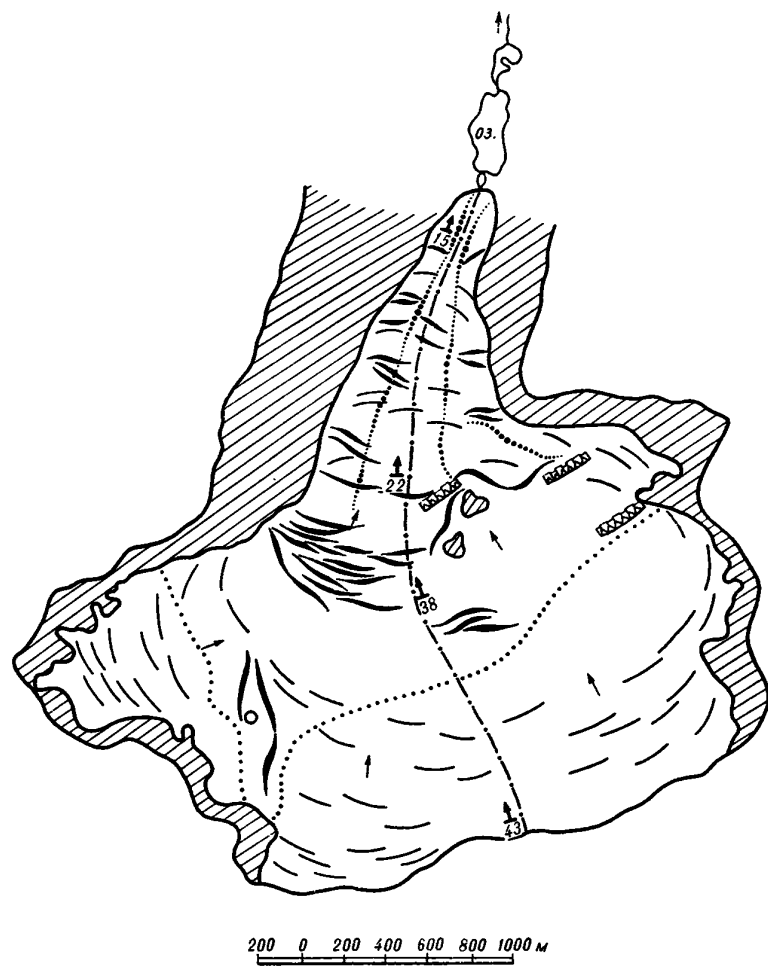


Рис. 28. Схематический план котловинного ледника СГП (№ 122),
бассейн р. Урмарал.
Усл. обозн. см. на рис. 23.

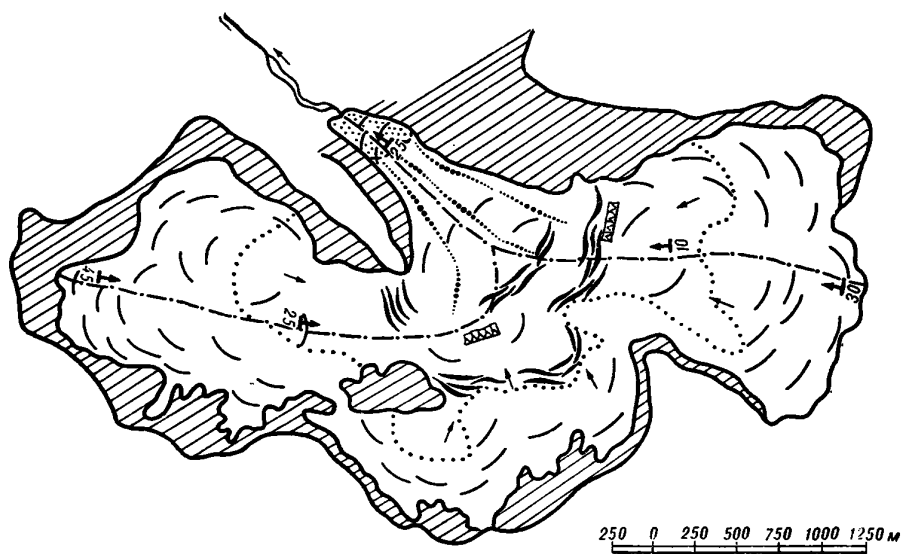


Рис. 29. Схематический план ледника Вокруг Света (№ 125), бассейн р. Урмарал.
Усл. обозн. см. на рис. 23.

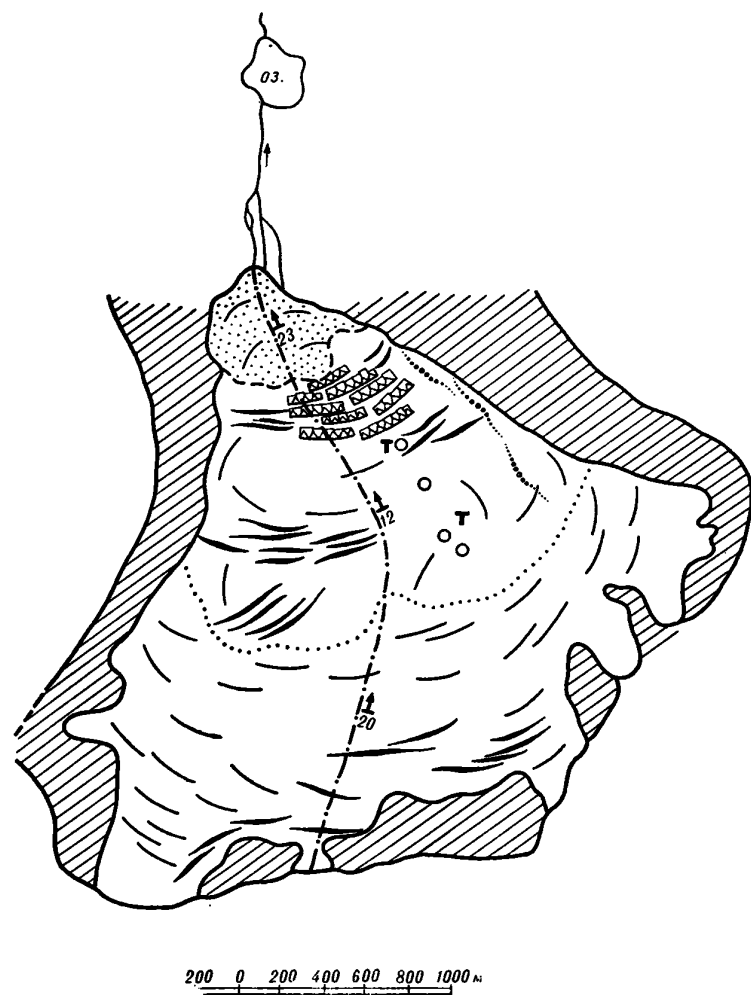


Рис. 30. Схематический план ледника № 127, бассейн р. Урмарал.
Усл. обозн. см. на рис. 23.

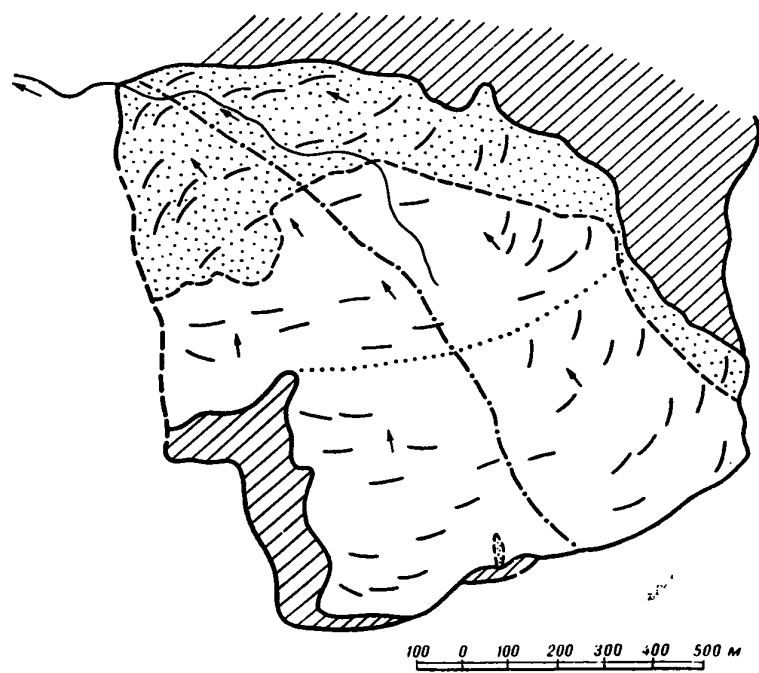


Рис. 31. Схематический план карового ледника Чирканак (№ 150), бассейн р. Чирканак.
Усл. обозн. см. на рис. 23.

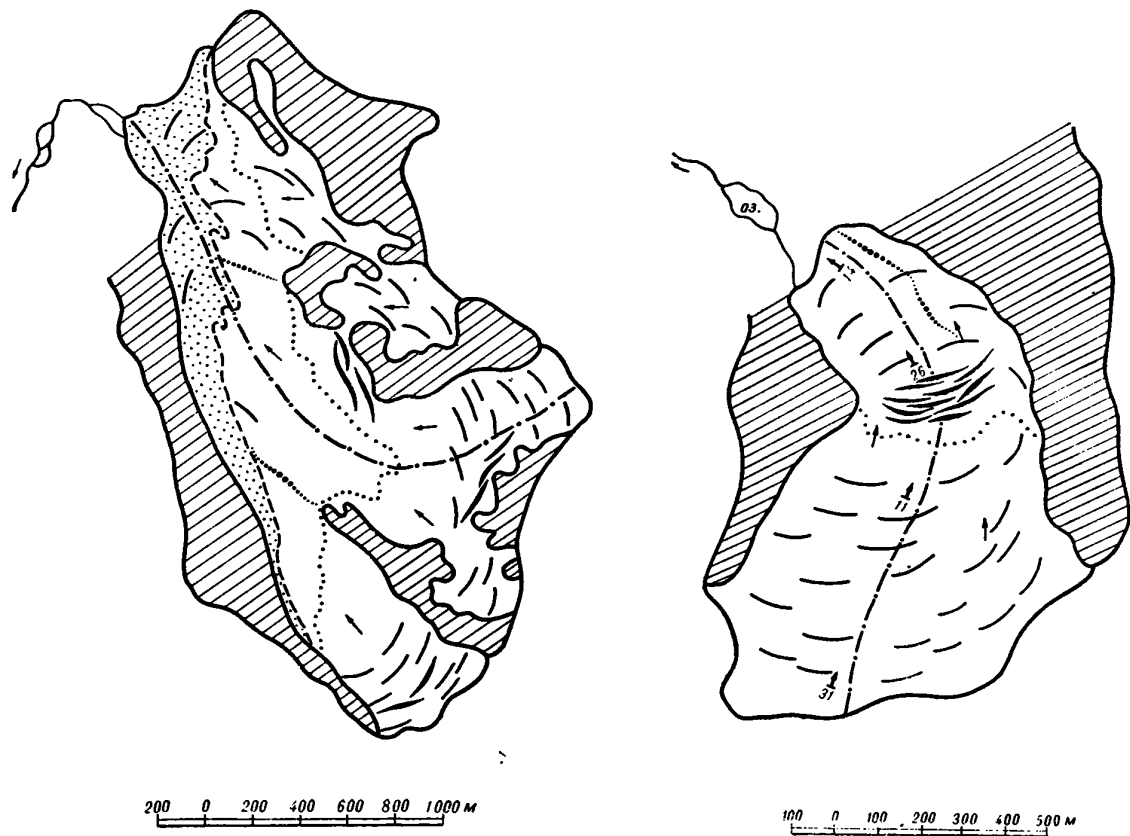


Рис. 32. Схематический план ледника № 200, бассейн р. Каракол.
Усл. обозн. см. на рис. 23.

Рис. 33. Схематический план ледника № 205, бассейн р. Каракол.
Усл. обозн. см. на рис. 23.

СОДЕРЖАНИЕ

| | |
|---|----|
| Предисловие | 3 |
| Деление Каталога ледников СССР на тома, выпуски и части | 5 |
| Список томов, выпусков и частей Каталога ледников СССР | 7 |
| Список принятых сокращений | 8 |
| Характеристика географического положения, морфологии, климатических условий и режима ледников | 9 |
| Схемы расположения ледников | 23 |
| <i>Основные таблицы Каталога ледников</i> | |
| Таблица I. Основные сведения о ледниках | 32 |
| Пояснения к таблице I | 46 |
| Таблица II. Список гидрометеорологических станций и постов в районе ледников | 48 |
| Таблица III. Список суммарных осадкомеров и снегомерных пунктов в районе ледников | 50 |
| Таблица IV. Экспедиционные и стационарные исследования ледников | 51 |
| Таблица V. Список работ, содержащих сведения о ледниках | 52 |
| Дополнительные материалы (табл. 5—13, рис. 23—33) | 55 |

Ресурсы поверхностных вод СССР

КАТАЛОГ ЛЕДНИКОВ СССР, т. 14, в. 2, ч. 1

Редактор *И. С. Якорь*

Техн. редактор *Г. В. Ивкова*

Корректор *М. А. Гальперина*

Сдано в набор 22/IV 1968 г. Подписано к печати 22/VIII 1968 г. Бумага 60×90^{1/8}.
Бум. л. 4,25. Печ. л. 8,5. Уч.-изд. л. 7,83. Тираж 640 экз. М-21949. Индекс ГЛ-70.
Гидрометеорологическое издательство. Ленинград. В-53, 2-я линия, д. № 23.
Заказ № 318. Цена 56 коп.

Ленинградская типография № 8 Главполиграфпрома Комитета по печати
при Совете Министров СССР
Ленинград, Прачечный пер., д. 6